

جمهوری اسلامی ایران  
سازمان برنامه و بودجه - وزارت نیرو

# ضوابط طراحی سازه‌های مجاری آب‌بر

## زیرزمینی بتنی

معاونت امور فنی  
دفتر امور فنی و تدوین معیارها

نشریه شماره ۱۸۵

جمهوری اسلامی ایران

سازمان برنامه و بودجه - وزارت نیرو

ضوابط طراحی سازه‌های مجاری آب‌بر  
زیرزمینی بتنی

نشریه شماره ۱۸۵

معاونت امور فنی

دفتر امور فنی و تدوین معیارها

فهرستبرگه

سازمان برنامه و بودجه، دفتر امور فنی و تدوین معیارها  
ضوابط طراحی سازه‌ای مجاری آب بر زیرزمینی بتنی / سازمان برنامه و بودجه، معاونت امور فنی و تدوین  
معیارها؛ وزارت نیرو [طرح تهیه استانداردهای مهندسی آب کشور]. - تهران: سازمان برنامه و بودجه، مرکز  
مدارک اقتصادی - اجتماعی و انتشارات، ۱۳۷۸.  
۱۲۹ ص: مصور، جدول، نمودار. - (سازمان برنامه و بودجه، دفتر امور فنی و تدوین معیارها؛ نشریه شماره  
۱۸۵)

ISBN 964-425-155-5

فهرستنویسی براساس اطلاعات فیپا.

کتابنامه: ص. ۱۲۹.

۱. کانالها - امکان‌سنجی. ۲. کانالها - طرح و محاسبه. ۳. سازه - طرح و محاسبه. ۴. ساختمان‌سازی زیرزمینی  
- طرح و محاسبه - استانداردها. الف. ایران. وزارت نیرو. طرح تهیه استانداردهای مهندسی آب کشور. ب.  
سازمان برنامه و بودجه. مرکز مدارک اقتصادی - اجتماعی و انتشارات. ج. عنوان.

۶۲۷/۱۳۱۰۲۱۸

۹ ظ ۲ س / TC ۷۵۳

[TA ۳۶۸]

۱۶۸۱۸ - ۷۸ م

کتابخانه ملی ایران

ISBN 964-425-155-5

شابک ۹۶۴-۴۲۵-۱۵۵-۵

ضوابط طراحی سازه‌ای مجاری آب زیرزمینی بتنی

تهیه‌کننده: معاونت امور فنی، دفتر امور فنی و تدوین معیارها

ناشر: سازمان برنامه و بودجه، مرکز مدارک اقتصادی - اجتماعی و انتشارات

چاپ اول: ۵۰۰ نسخه، ۱۳۷۸

قیمت: ۸۰۰۰ ریال

چاپ و صحافی: مؤسسه زحل چاپ

همه حقوق برای ناشر محفوظ است.



جمهوری اسلامی ایران  
سازمان برنامه و بودجه  
دفتر رئیس

تاریخ: .....  
شماره: .....  
پرست: .....

بسمه تعالی

شماره: ۱۰۲/۳۸۵۴-۵۴/۴۴۱۳	به: تمامی دستگاههای اجرایی و مهندسان مشاور
تاریخ: ۱۳۷۸/۸/۱۰	
موضوع: ضوابط طراحی سازه‌ای مجاری آب بر زیرزمینی بتنی	
<p>به استناد ماده ۲۳ قانون برنامه و بودجه کشور و آئین نامه استانداردهای اجرایی طرحهای عمرانی این دستورالعمل از نوع گروه <b>دوم</b> مذکور در ماده هفت آئین نامه در <b>بک</b> صفحه صادر می‌گردد.</p> <p>تاریخ مندرج در ماده ۸ آئین نامه در مورد این دستورالعمل <b>۱۳۷۸/۱۱/۱</b> می‌باشد.</p> <p>به پیوست نشریه شماره ۱۸۵ دفتر امور فنی و تدوین معیارهای این سازمان با عنوان "ضوابط طراحی سازه‌ای مجاری آب بر زیرزمینی بتنی" ابلاغ می‌گردد.</p> <p>دستگاههای اجرایی و مهندسان مشاور می‌توانند مفاد نشریه مذکور و دستورالعمل‌های مندرج در آن را ضمن تطبیق با شرایط کار خود در طرح‌های عمرانی مورد استفاده قرار دهند.</p>	
<p>محمدعلی نجفی معاون رئیس جمهوری و رئیس سازمان برنامه و بودجه</p>	

## بسمه تعالی

### پیشگفتار

استفاده از ضوابط، معیارها و استانداردها در مراحل تهیه (مطالعات امکان‌سنجی)، مطالعه و طراحی، اجرا، بهره‌برداری و نگهداری طرحهای عمرانی به لحاظ توجیه فنی و اقتصادی طرحها، کیفیت طراحی و اجرا (عمر مفید) و هزینه‌های نگهداری و بهره‌برداری از اهمیت ویژه‌ای برخوردار می‌باشد.

نظام جدید فنی و اجرایی طرحهای عمرانی کشور (مصوب جلسه مورخ ۱۳۷۵/۳/۲۳ هیات محترم وزیران) به کارگیری از معیارها، استانداردها و ضوابط فنی در مراحل تهیه و اجرای طرح و نیز توجه لازم به هزینه‌های نگهداری و بهره‌برداری در قیمت تمام شده طرحها را مورد تأکید جدی قرار داده است.

با توجه به مراتب فوق و شرایط اقلیمی و محدودیت منابع آب در ایران، امور آب وزارت نیرو (طرح تهیه استانداردهای مهندسی آب کشور) با همکاری معاونت امور فنی سازمان برنامه و بودجه (دفتر امور فنی و تدوین معیارها) براساس ماده ۲۳ قانون برنامه و بودجه اقدام به تهیه استانداردهای مهندسی آب نموده است.

استانداردهای مهندسی آب با در نظر داشتن موارد زیر تهیه و تدوین شده است:

- استفاده از تخصص‌ها و تجربه‌های کارشناسان و صاحب‌نظران شاغل در بخش عمومی و خصوصی.
  - استفاده از منابع و مآخذ معتبر و استانداردهای بین‌المللی.
  - بهره‌گیری از تجارب دستگاههای اجرایی، سازمانها، نهادها، واحدهای صنعتی، واحدهای مطالعه، طراحی و ساخت.
  - ایجاد هماهنگی در مراحل تهیه، اجرا، بهره‌برداری و ارزشیابی طرحها.
  - پرهیز از دوباره‌کاریها و اتلاف منابع مالی و غیر مالی کشور.
  - توجه به اصول و موازین مورد عمل مؤسسه استاندارد و تحقیقات صنعتی ایران و سایر مؤسسات معتبر تهیه‌کننده استاندارد.
- ضمن تشکر از اساتید محترم دانشگاه صنعتی اصفهان، برای بررسی و اظهارنظر در مورد این استاندارد، امید است مجریان و دست‌اندرکاران بخش آب، با به کارگیری استانداردهای یاد شده، برای پیشرفت و خودکفایی این بخش از فعالیتهای کشور تلاش نموده و صاحب‌نظران و متخصصان نیز با اظهارنظرهای سازنده در تکامل این استانداردها مشارکت کنند.

دفتر امور فنی و تدوین معیارها

پاییز ۱۳۷۸

## ترکیب اعضای کمیته

اعضای کمیته فنی شماره ۱۶ طرح تهیه استانداردهای مهندسی آب کشور که بر تهیه و پیش‌نویس استاندارد حاضر نظارت داشته‌اند به ترتیب حروف الفبا، به شرح زیر هستند:

آقای مهندس محمود آدرنگی	مهندسین مشاور یکم	فوق لیسانس راه و ساختمان
خانم مهندس نوشین رواندوست	طرح تهیه استانداردهای مهندسی آب کشور	لیسانس سازه
آقای مهندس محمد زاهدی	مهندسین مشاور سانو	لیسانس مکانیک ساختمان
آقای دکتر ابوالقاسم صانعی‌نژاد	مهندسین مشاور پارس اسلوب	دکترای سازه
آقای دکتر محمدرضا عسگری	مهندسین مشاور بندآب	دکترای سازه
آقای دکتر حسن نصری فجری	مهندسین مشاور قدس نیرو	دکترای سازه
آقای مهندس رحیم واعظی	مهندسین مشاور سانو	فوق لیسانس سازه

این استاندارد برای طراحی و ساخت مجاری آب‌بر زیرزمینی که برای: انتقال آب، شبکه توزیع آب، شبکه جمع‌آوری فاضلاب، شبکه‌های زهکشی، آبروها، مجرای تخلیه تحتانی سدها و نظایر آن مورد استفاده قرار می‌گیرد، تدوین شده است.

هدف از تدوین این مجموعه، طراحی سازه‌ای مجاری آب‌بر زیرزمینی بتنی است و شامل ضوابط طراحی تونلهای آب‌بر نیست. آنچه در این استاندارد در رابطه با تونل مطرح شده به صورت موجز و مختصر و صرفاً برای اشاره به مطلب است.

بدیهی است مفروضات طراحی بر مبنای شرایط متعارف محیطی است و شرایط خاص از جمله ویژگیهای ژئوتکنیکی بستر در محدودهٔ احداث مجاری آب‌بر و احتمال نشستهای ناهمگون آن در درازمدت و نیز احتمال لغزش آبرفت به علت تقلیل مقاومت توده بستر و یا روانگونی و... از جمله مواردی هستند که باید مورد توجه خاص طراح قرار گیرد و بسته به مورد، تمهیدات لازم معمول گردد.

استاندارد حاضر بخش نخست از مطالعات مربوط به طراحی مجاری آب‌بر زیرزمینی بتنی است. بخش دوم، شامل: تهیهٔ نقشه‌های اجرایی تیپ مربوط به آن با مقاطع دایره (لوله) با اقطار ۸۰ تا ۲۰۰ سانتیمتر و با فشار داخلی تا ۴۰ بتن بر مترمربع و فشار خارجی ۲ تا ۱۶ تن بر مترمربع و مقاطع مربع و مربع‌مستطیل با ابعاد ۱۵۰ تا ۳۰۰ سانتیمتر با سه نوع تمهید ساخت، است.

این مجموعه در شش فصل به شرح زیر تنظیم گردیده است:

فصل اول، به کلیات، تاریخچه، گستره و طبقه‌بندی مجاری زیرزمینی از نظر مصالح مورد مصرف، شکل هندسی مجرا و ساخت می‌پردازد.

فصل دوم، به بارهای وارد بر مجاری زیرزمینی در وضعیتهای استقرار مختلف اختصاص یافته است. ملاحظه می‌شود بار وارد بر مجاری زیرزمینی ناشی از اندرکنش بین مجرا و خاک اطراف آن است. طبیعت مجرا از نظر صلبیت یا انعطاف‌پذیری، میزان نشست کف مجرا، ویژگیهای مکانیکی خاکریز جناحین و روی مجرا و روش اجرا از جمله عواملی هستند که بار وارد بر مجرا را تحت تأثیر قرار می‌دهند.

فصل سوم، به معرفی روشهای تجربی طراحی مجاری زیرزمینی صلب تحت بار خارجی، بدون فشار داخلی، اختصاص دارد. در ابتدای فصل بحث کاملی در مورد طبقه‌بندی خاکریز جناحین و روی مجرا انجام می‌شود. اهمیت بحث بیشتر از آن جهت است که خاکریز اطراف مجرا در تحمل بارهای خارجی بر مجرا به نحو مؤثری مشارکت دارند.

فصل چهارم، طراحی مجاری تحت فشار داخلی را مورد توجه قرار داده است. در طراحی مجاری تحت فشار، روش تعیین بارهای خارجی مشابه فصل قبل است. نکتهٔ تازه‌ای که باید مورد توجه قرار گیرد، چگونگی تأثیر فشار داخلی در طراحی است.

فصل پنجم، به طراحی مجاری زیرزمینی بتنی به روش تحلیلی، یعنی: براساس روابط طراحی سازه‌های بتن مسلح اختصاص یافته است. همان‌طور که در فصل سوم در عنوان طراحی مجاری صلب اشاره شد، برای طراحی مجاری زیرزمینی بتنی دو روش وجود دارد. روش تجربی و روش تحلیلی، در روش تجربی که شرح کامل آن در فصل سوم ارائه گردید، طراحی مجرا براساس نتیجه آزمایش مقاومت سه نبش مجرا انجام می‌شود. فصل ششم، به بررسی نیروهای هیدرودینامیک و روشهای مقابله با آنها می‌پردازد. در مجاری تحت فشار، در محل‌هایی مانند: زانوها، سه‌راهیها و یا تبدیلهای که در آنها امتداد یا سطح مقطع جریان تغییر می‌کند و یا در انتهای کور خط لوله، نیروهای نامتعادل به وجود می‌آید، چنانچه با این نیروها مقابله نشود باعث گسیختگی اتصال می‌گردد.

استاندارد حاضر، به وسیله تیم طراحی مهندسين مشاور بندآب و با سرپرستی آقایان مهندسان: محمدرضا اخوان لیل‌آبادی و شاپور طاحونی و با نظارت کمیته ۱۶ تهیه گردیده است که بدین‌وسیله از زحمات کلیه دست‌اندرکاران و همچنین کسانی که در مورد پیش‌نویس ارسالی اظهارنظر نموده‌اند، تشکر می‌نماید.



## فهرست مطالب

<u>صفحه</u>	<u>عنوان</u>
۱	فصل ۱ کلیات، تاریخچه، گستره
۱	۱-۱ کلیات.....
۱	۲-۱ تاریخچه.....
۲	۳-۱ گستره.....
۲	۴-۱ طبقه‌بندی مجاری زیرزمینی.....
۲	۱-۴-۱ طبقه‌بندی مجاری زیرزمینی با توجه به مصالح مورد مصرف
۲	۲-۴-۱ طبقه‌بندی مجاری زیرزمینی از نظر هندسی
۳	۳-۴-۱ طبقه‌بندی از نظر ساخت
۹	فصل ۲ بارهای وارد بر مجاری زیر زمینی
۱۰	۱-۲ کلیات.....
۱۰	۲-۲ طبقه‌بندی بارهای وارد بر مجاری زیرزمینی.....
۱۱	۳-۲ بار قائم ناشی از وزن خاک روی مجاری زیرزمینی.....
۱۱	۱-۳-۲ روشهای استقرار مجاری زیرزمینی - تعاریف عمومی
۱۳	۲-۳-۲ بار قائم ناشی از وزن خاک در استقرار مجرا در ترانشه
۱۷	۳-۳-۲ استقرار مجرا در خاکریز - کلیات
۲۰	۴-۳-۲ بار قائم ناشی از وزن خاکریز در استقرار مجرا در خاکریز با برجستگی مثبت
۲۳	۵-۳-۲ بار قائم ناشی از وزن خاکریز در استقرار مجرا در خاکریز با ترانشه ناقص
۲۵	۶-۳-۲ بار قائم ناشی از وزن خاکریز در استقرار مجرا در خاکریز با برجستگی منفی
۲۵	۷-۳-۲ مجاری زیرزمینی کار گذاشته شده در ترانشه‌های عریض
۳۱	۸-۳-۲ کاهش بار قائم وارد بر مجرای زیرزمینی با استفاده از بستر قابل نشست
۳۱	۹-۳-۲ بار قائم وارد بر مجاری تونلی
۳۲	۱۰-۳-۲ بار قائم وارد بر دو مجرا در یک ترانشه
۳۴	۱۱-۳-۲ نمودار جریان کار تعیین بار قائم خاک بر روی مجاری زیرزمینی
۳۴	۴-۲ بار قائم وارد بر مجاری به علت سربارهای وارد بر سطح خاکریز.....
۳۷	۵-۲ بار جانبی خاک وارد بر مجاری زیرزمینی.....
۳۷	۶-۲ بارهای اتفاقی.....
۳۹	فصل ۳ طراحی مجاری زیر زمینی تحت بار خارجی
۴۰	۱-۳ کلیات.....
۴۰	۲-۳ طبقه‌بندی خاک.....

۴۰	۱-۲-۳ اهمیت طبقه‌بندی خاک
۴۰	۲-۲-۳ سیستم‌های طبقه‌بندی خاک
۴۱	۳-۳ اندرکنش خاک، مجرای زیرزمینی
۴۲	۴-۳ عوامل مؤثر بر ظرفیت باربری مجاری زیرزمینی
۴۵	۵-۳ طراحی مجاری زیرزمینی صلب (روش تجربی)
۴۵	۱-۵-۳ کلیات
۴۶	۲-۵-۳ آزمایش‌های تعیین مقاومت مجاری صلب
۴۷	۳-۵-۳ استاندارد ساخت لوله‌های صلب و ظرفیت باربری آنها در آزمایش سه نبش
۴۸	۴-۵-۳ شرایط بستر سازی
۵۴	۵-۵-۳ استاندارد شرایط بسترسازی برای لوله در ترانشه و ضرایب بستر مربوط
۵۵	۶-۵-۳ ضریب بستر برای مجاری با برجستگی مثبت (اثر فشار جانبی در ضریب بار)
۶۰	۷-۵-۳ ضریب بستر برای شرایط خاص
۶۰	۸-۵-۳ ضریب ایمنی
۶۱	۹-۵-۳ جاسازی برای اتصالات نر و ماده
۶۱	۱۰-۵-۳ روش گام به گام طراحی مجاری صلب
۶۲	۶-۳ بارگذاری طولی
۶۴	۷-۳ اصلاح بسترهای ناپایدار
۶۵	فصل ۴ طراحی مجاری زیر زمینی تحت فشار
۶۵	۱-۴ تنشها و کرنشهای جدار مجرا
۶۶	۲-۴ عوامل ایجاد فشار داخلی در مجاری زیرزمینی
۶۶	۳-۴ تنشهای ناشی از فشار داخلی در جدار مجاری
۶۸	۴-۴ بارهای خارجی
۶۸	۵-۴ اثر توأم (اندرکنش) فشار داخلی و فشار خارجی
۶۹	۶-۴ طراحی مجاری صلب تحت فشار داخلی و بار خارجی
۷۰	فصل ۵ طراحی تحلیلی مجاری زیرزمینی بتنی
۷۱	۱-۵ کلیات
۷۱	۲-۵ بارهای طراحی
۷۳	۳-۵ ترکیبات بارگذاری
۷۵	۴-۵ توزیع فشارهای قائم و جانبی روی مجاری زیرزمینی
۸۰	۵-۵ طراحی مجاری بتن مسلح
۸۰	۱-۵-۵ کلیات

۸۰	۲-۵-۵ ضرایب بار
۸۰	۳-۵-۵ شرایط محیطی
۸۱	۴-۵-۵ حداکثر عرض ترک برای شرایط محیطی مختلف
۸۱	۵-۵-۵ حداقل پوشش بتن روی میلگردها
۸۱	۶-۵-۵ حداکثر نسبت آب به سیمان برای ساخت بتن در شرایط محیطی مختلف
۸۲	۷-۵-۵ طراحی در حالت حدی نهایی
۸۶	۸-۵-۵ کنترل عرض ترک و تنش کششی در بتن
۸۶	۹-۵-۵ درزها
۸۹	۱۰-۵-۵ میلگردهای حرارتی
۸۹	۶-۵ روابطی برای تحلیل مجاری زیرزمینی تحت اثر بارهای خارجی.....
۹۰	۱-۶-۵ روابطی برای تحلیل مجاری زیرزمینی جمع‌بندی
۹۰	۲-۶-۵ تحلیل مقاطع دایره
۹۶	۷-۵ طراحی لوله‌های پیش تنیده.....
۹۹	فصل ۶ نیروی رانش و روش‌های مقابله با آن
۱۰۰	۱-۶ نیروهای نامتعادل.....
۱۰۰	۲-۶ مقاومت در مقابل نیروهای رانش.....
۱۰۰	۳-۶ بلوکهای مهاریه.....
۱۰۱	۱-۳-۶ بولکهای مهاریه در خمهای افقی
۱۰۴	۲-۳-۶ بولکهای مهاریه در خمهای قائم
۱۰۷	۴-۶ مهار لوله‌ها در شیب.....
۱۰۷	۵-۶ مهار لوله به کمک نیروی اصطکاک و اتصالات یکپارچه.....
۱۰۸	۶-۶ مقادیر نمونه برای بعضی پارامترهای لازم در این فصل.....
۱۰۸	۷-۶ تأثیر نیروهای اینرسی ناشی از زلزله در طراحی بلوکهای مهاریه.....



## فصل ۱ کلیات، تاریخچه، گستره

### ۱-۱ کلیات

مجرای زیرزمینی، راهی است برای انتقال سیالات که برحسب ضرورت‌های مهندسی درون خاک به صورت مدفون قرار داده می‌شود و سیال به صورت آزاد و یا تحت فشار درون آن جریان می‌یابد. مجاری زیرزمینی در خطوط انتقال آب، نفت، گاز، شبکه توزیع آب، شبکه جمع‌آوری فاضلاب، شبکه‌های زهکشی، آبروها، مجرای تخلیه تحتانی سدها، و نظایر آن مورد استفاده قرار می‌گیرد.

قنات یا کاریز که به گفته بیشتر صاحب‌نظران از ابداعات ایرانیان عهد باستان<sup>۱</sup> است، نوعی مجرای زیرزمینی است. بنابراین می‌توان ادعا کرد که مجرای زیرزمینی از عهد باستان مورد استفاده بشر بوده است.

### ۲-۱ تاریخچه

همان‌طور که قبلاً عنوان شد، این مجاری از دیر زمان مورد استفاده قرار می‌گرفتند، اما از ابداع روشهای طراحی منطقی برای این نوع سازه‌ها بیش از چند دهه نمی‌گذرد. امروزه به کمک نظریه مارستون می‌توان بارهای وارد بر مجاری زیرزمینی و نیز مقاومت تکیه‌گاهی آنها را برحسب نوع بستر با دقت مهندسی مناسبی تخمین زد.

این نظریه به نام استاد آنسون مارستون<sup>۲</sup> که آن را در اوایل قرن بیستم یعنی طی سالهای ۱۹۰۴ تا ۱۹۳۲ در دانشگاه ایالتی آیوا<sup>۳</sup> بسط داد، نامگذاری شده است.

ایالت آیوا از آن رو به مرکزی برای تحقیق درباره لوله‌های مدفون بدل گشت که اکثر اراضی آن از یخرفت تشکیل یافته است. صاحبان چنین زمینهایی به این نکته پی بردند که با زهکشی این اراضی می‌توان زمینهای بسیار حاصلخیزی ایجاد نمود. با پیشرفت مهندسی زهکشی در این اراضی و استفاده از لوله‌هایی بزرگتر در اعماق پایین تر لزوم برقراری روشی منطقی برای طراحی مجاری زیرزمینی احساس شد.

---

۱. هرمان باور رئیس آزمایشگاه حفاظت آب وزارت کشاورزی آمریکا مقنی‌های قدیمی ایرانی را در رده باهوشترین مهندسان عمران و کارشناسان آب زیرزمینی معرفی می‌نماید:

Herman Bower, Ground Water Hydrology Page 156, Mc Graw Hill

2. Anson Marston

3. IOWA State University

### ۳-۱ گستره

هدف از نگارش این مجموعه ارائه روشهای: تحلیل، طراحی، ساخت، و اجرای مجاری زیرزمینی بتنی (به استثناء تونل‌های آب‌بر) است، لیکن با توجه به گستردگی موضوع، در بعضی از موارد همپوشانی مطالب با نکات مربوط به بعضی از انواع دیگر مجاری زیرزمینی محتمل بوده و اجتناب‌ناپذیر است.

### ۴-۱ طبقه‌بندی مجاری زیرزمینی

مجاری زیرزمینی را می‌توان از دیدگاه‌های مختلف به شرح زیر طبقه‌بندی نمود.

#### ۴-۱-۱ طبقه‌بندی مجاری زیرزمینی با توجه به مصالح مورد مصرف

از نظر مصالح مصرفی، ساخت مجاری زیرزمینی با استفاده از مصالح زیر متداول است:

- ۱- بتن معمولی
- ۲- بتن آرمه با و یا بدون هسته فولادی
- ۳- بتن پیش‌تنیده با و یا بدون هسته فولاد
- ۴- فولاد
- ۵- فولادی کرکره‌ای
- ۶- چدن نشکن
- ۷- پنبه کوهی - سیمان (آزبست - سیمان<sup>۱</sup>)
- ۸- الیاف پشم شیشه<sup>۲</sup> و پلاستیک
- ۹- سفال
- ۱۰- پلی‌اتیلن<sup>۳</sup> و پی‌وی‌سی<sup>۴</sup>

#### ۴-۱-۲ طبقه‌بندی مجاری زیرزمینی از نظر هندسی

از نظر هیدرولیکی، مقاطع مناسب و معمول برای مجاری آب زیرزمینی عبارت‌اند از:

- ۱- مقطع دایره
- ۲- مقطع نعل اسبی
- ۳- مقطع جعبه‌ای
- ۴- مقطع جعبه‌ای با طاق قوسی
- ۵- مقطع نیم بیضی
- ۶- مقطع تخم‌مرغی

---

1. Asbestos Cement  
2. Fiberglass (Gass Wool)  
3. Polyethylene  
4. Poly Vinil Chlorid (PVC)

شکل ۱-۱ مقاطع یاد شده را نشان می‌دهد. علاوه بر مسائل هیدرولیکی، مسائل اجرایی و ساخت نیز در انتخاب مقطع مناسب مؤثرند.

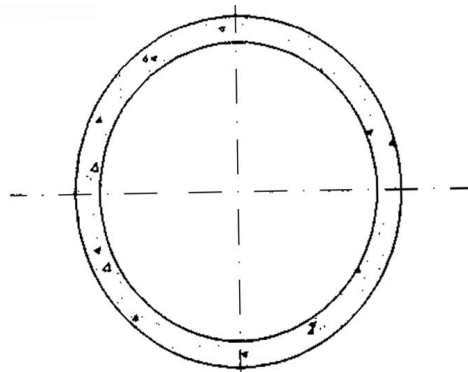
### ۱-۴-۳ طبقه‌بندی از نظر ساخت

شیوه‌های مختلفی به شرح زیر برای اجرای مجاری آب بر زیرزمینی متداول است :

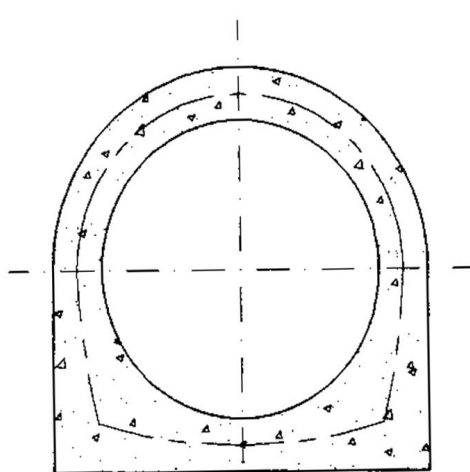
- ۱- اجرای درجا
- ۲- اجرای نیمه پیش ساخته
- ۳- اجرای پیش ساخته

در شیوه درجا، تمام عملیات ساخت شامل: قالب‌بندی، آرماتوربندی، و بتن‌ریزی در محل انجام می‌شود. این روش اجرا، اغلب برای مجاری آب بر با مقاطع بزرگ و تونلها مورد استفاده است.

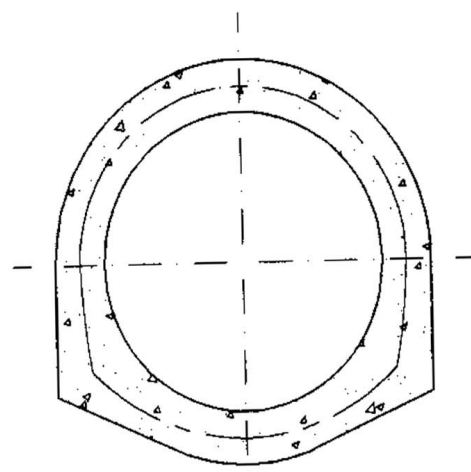
در صورت طولانی بودن مجرا، مانند: خطوط انتقال آب، جنبه‌های اقتصادی ایجاب می‌کند که با افزایش سرمایه‌گذاری در تولید، حداکثر صرفه‌جویی در نصب و کارگذاری به عمل آید، اجرای نیمه پیش ساخته و پیش ساخته از این نظر مورد توجه قرار می‌گیرد. در اجرای نیمه پیش ساخته که در شکل ۱-۲ روشهایی از آن نشان داده شده است، قسمت تحتانی سازه به صورت درجا اجرا می‌شود و بدنه و سقف به صورت پیش ساخته روی آن نصب می‌شود. چنین شیوه‌های اجرایی در مواردی قابل استفاده است که مجرا تحت فشار نبوده و آب‌بندی کامل آن مد نظر نباشد، چون آب‌بندی کامل در این شیوه‌های اجرایی، غیرممکن و یا بسیار گرانبه‌تر است.



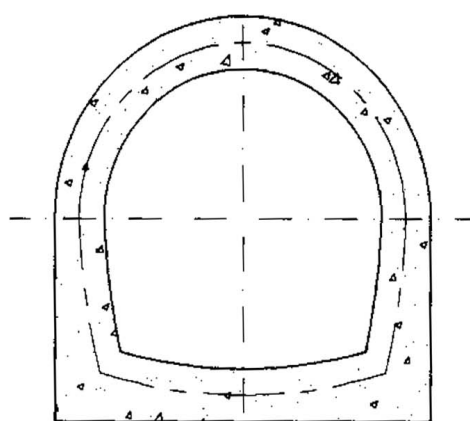
مقطع دایره مناسب برای اجرای پیش ساخته



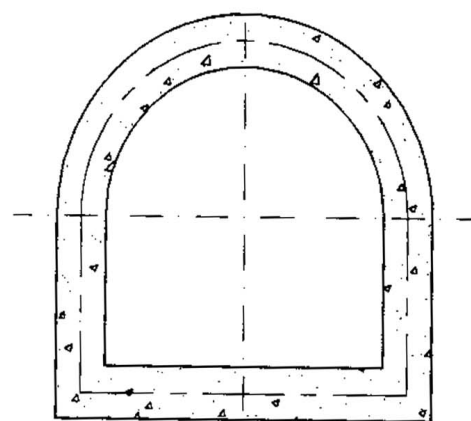
مقطع دایره با نشیمن تخت مناسب برای اجرای درجا



مقطع دایره با نشیمن زینی مناسب برای اجرای درجا



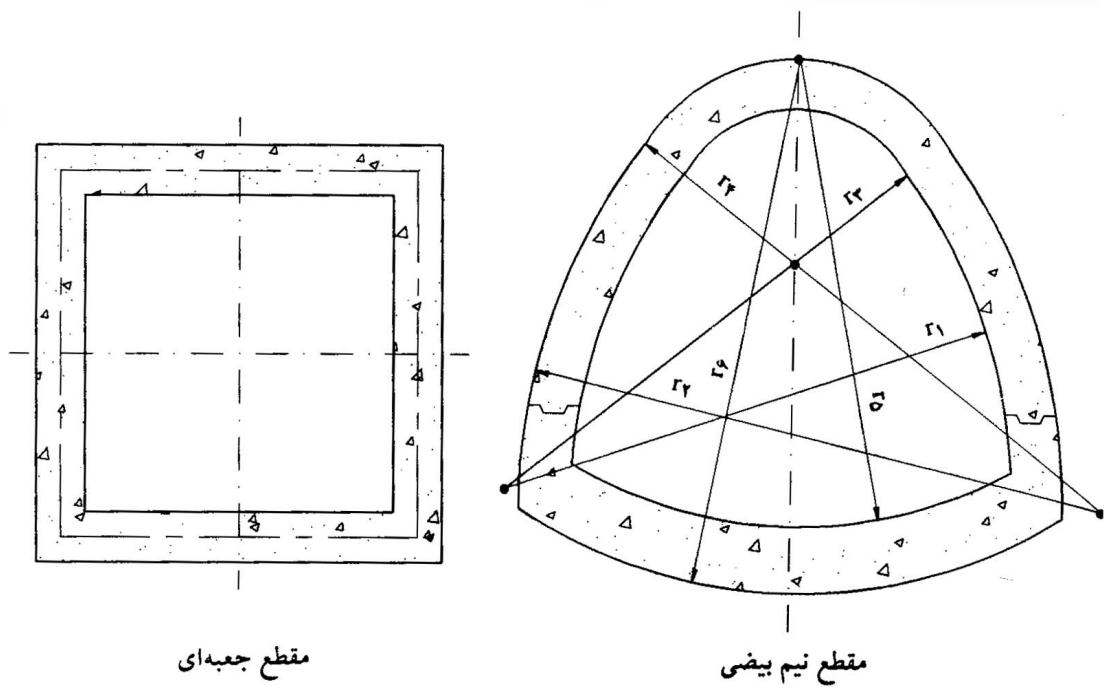
مقطع نعل اسبی با نشیمن تخت



مقطع جعبه‌ای با طاق قوسی و نشیمن تخت

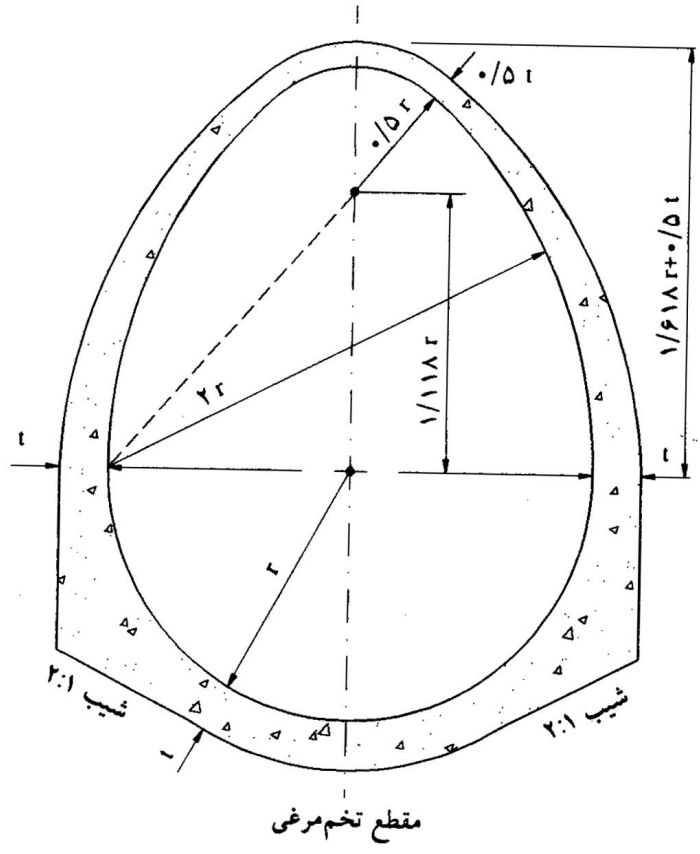
شکل ۱-۱ مقاطع مناسب برای مجاری زیرزمینی





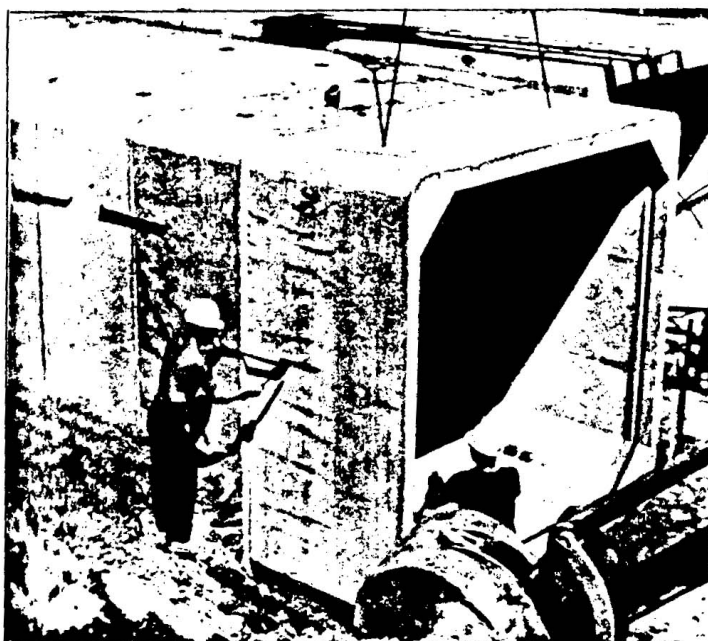
مقطع جمبه‌ای

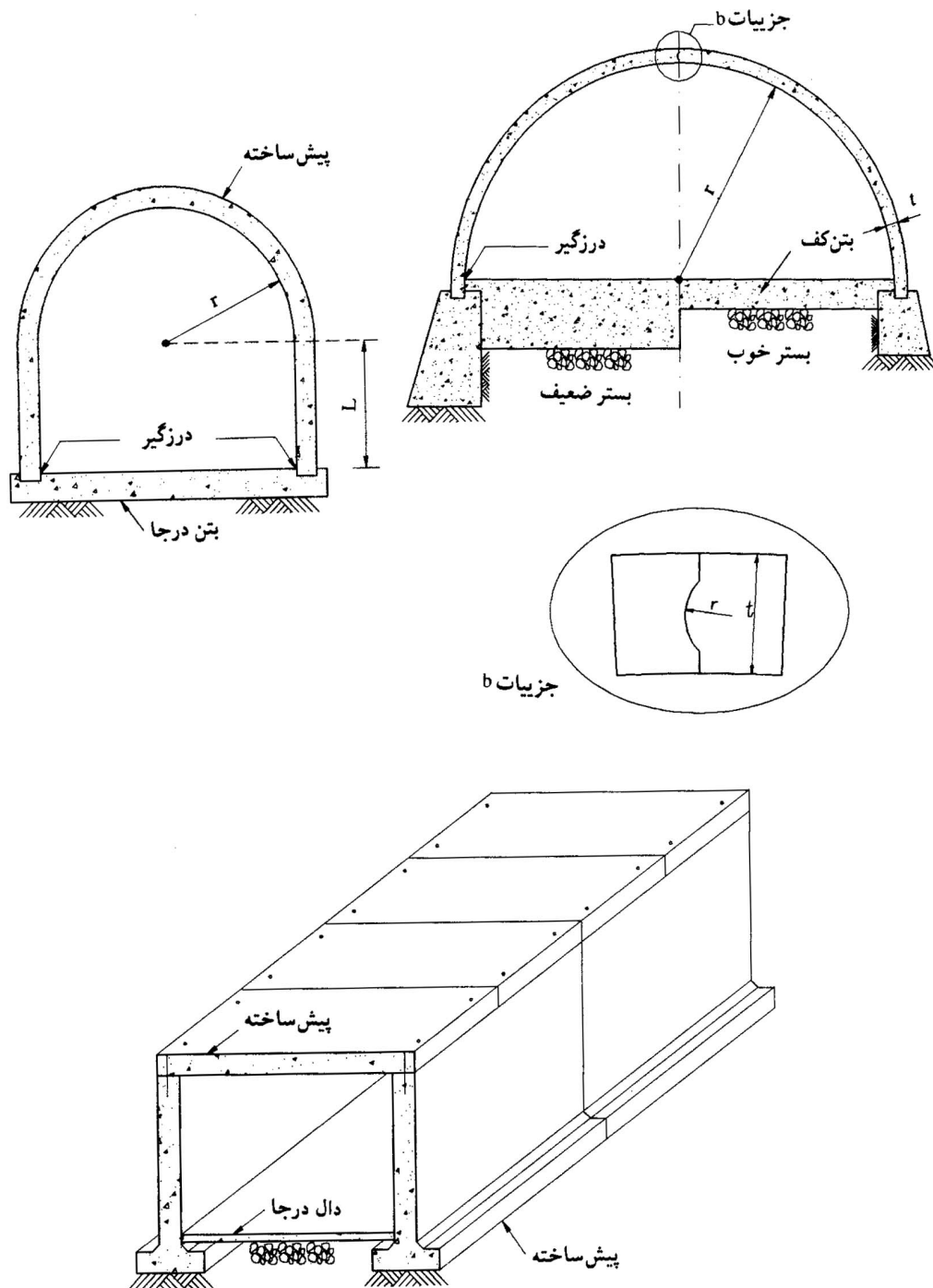
مقطع نیم بیضی



مقطع تخم مرغی

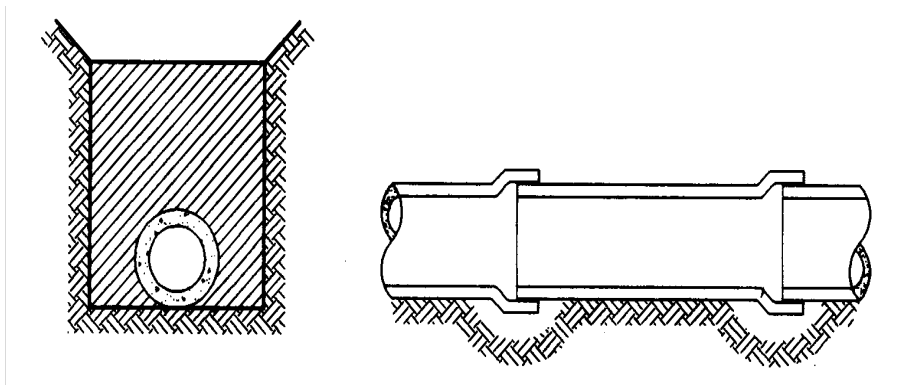
شکل ۱-۱ (دنباله)





شکل ۲-۱ روشهای مختلف اجرای نیمه پیش ساخته مجاری آب بر

در صورتی که خط انتقال تحت فشار و آببندی کامل آن مد نظر باشد، اجرای همه پیش ساخته به شیوه لوله گذاری مطرح می گردد. در این شیوه لوله های بتنی با استانداردهای خاص در کارخانه تولید و پس از نصب در محل، با اتصالات آببندی کامل، به یکدیگر متصل می شوند (شکل ۳-۱).



شکل ۳-۱ اجرای مجرای زیرزمینی با استفاده از لوله

## فصل ۲ بارهای وارد بر مجاری زیرزمینی

- $B_c$  = عرض افقی خارجی مجرا (متر)
- $B_d$  = عرض ترانشه در تراز تاج مجرا (متر)
- $B_t$  = عرض تونل
- $c$  = چسبندگی خاک بالای تونل
- $C_d$  = ضریب بار برای مجرا در ترانشه
- $C_l$  = ضریب توزیع بار طبق نظریه بوسینسک (شکل ۲-۲۱) (یک بر متر مربع)
- $C_t$  = ضریب بار در حالت تونلی که مساوی با ضریب بار در حالت مجرا در ترانشه یعنی  $C_d$  است و آن را می توان به کمک رابطه ۲-۲ و یا نمودار شکل ۲-۴ تعیین نمود.
- $d_c$  = کوتاه شدگی (تغییر شکل) قطر قائم مجرا تحت اثر بارهای وارد شده
- $e$  = پایه لگاریتم طبیعی (مساوی ۲٫۷۱۸۳)
- $h$  = فاصله قائم تراز طبیعی زمین تا هر تراز افقی در خاکریز (متر)
- $H$  = ارتفاع خاکریز در بالای تاج مجرا (متر)
- $H_e$  = ارتفاع صفحه نشستهای مساوی از تراز تاج مجرا (متر)
- $I_c$  = ضریب ضربه
- $K = (\gamma - \sin \phi) / (\gamma + \sin \phi)$  = ضریب فشار جانبی محرک
- $P$  = مقدار بار متمرکز (کیلونیوتن) برای کامیون استاندارد ایران مقدار آن ۸۰ کیلونیوتن است.
- $r_{sd}$  = نسبت نشست برای وضعیت ترانشه ناقص
- $S_d$  = فشردگی مصالح درون ترانشه ناقص
- $S_d + S_f + d_c$  = نشست صفحه بحرانی
- $S_f$  = نشست سطح تحتانی (خط جریان) مجرا
- $S_g$  = نشست سطح زمین طبیعی
- $S_m$  = نشست ستونی از خاک به ارتفاع  $pB_c$  ارتفاع برجسته به علت وزن خاکریز روی آن
- $V$  = نیروی قائم در هر مقطع افقی در خاکریز (کیلونیوتن بر متر طول مجرا)
- $W_c$  = بار وارد بر روی مجرا در تراز تاج و یا بار وارد بر واحد طول تونل (کیلونیوتن بر متر طول)
- $W_l$  = بار متوسط بر واحد طول مجرا به علت بار سطحی متمرکز (کیلونیوتن بر متر)
- $\gamma$  = وزن مخصوص مرطوب مصالح خاکریز (کیلونیوتن بر متر مکعب)
- $\mu = \tan \phi$  = ضریب اصطکاک داخلی مصالح خاکریز

$$\mu' = \text{ضریب اصطکاک بین مصالح خاکریز و جدار ترانشه} (\mu' = \tan \phi')$$

## ۱-۲ کلیات

بررسی سازه ای مجاری زیرزمینی همچون دیگر سازه ها، با تعیین بارهای وارد بر آن آغاز می شود. لیکن اختلاف مجاری زیرزمینی با سازه های معمولی، نامعین بودن مسئله در مجاری زیرزمینی است. در واقع بار وارد بر مجرای زیرزمینی ناشی از اندرکنش بین مجرا و خاک اطراف آن است. طبیعت مجرا از نظر صلبیت و یا انعطاف پذیری، میزان نشست کف مجرا، ویژگیهای مکانیکی خاکریز، جناحین (اطراف) و روی مجرا، و روش اجرا از جمله عواملی هستند که بار وارد بر مجرا را تحت تأثیر قرار می دهند. در این فصل بارهای وارد بر مجاری زیرزمینی در وضعیتهای مختلف با در نظر گرفتن همه عواملی که به آنها اشاره شد، مورد بررسی قرار می گیرد.

## ۲-۲ طبقه بندی بارهای وارد بر مجاری زیرزمینی

به طور کلی بارهای وارد شده به مجاری زیرزمینی به سه گروه عمده تقسیم می شوند.

الف - بار خارجی ناشی از وزن خاک روی مجرا، سربارهای سطحی، و فشار آب خارجی

ب - فشار داخلی مایعات

پ - بارهای اتفاقی که مقادیر آنها به طور دقیق قابل پیش بینی نبوده و ممکن است به صورت بارگذاری عرضی و یا محوری عمل کنند. بارهای ناشی از تغییرات دمای محیط، تغییر رطوبت در مجاری زیرزمینی و یا در خاک، بارهای ناشی از تغییر مکان خاک، بارهای اعمال شده توسط ریشه گیاهان، بارهای ناشی از نشست نسبی سازه هایی که مجاری به آنها متصل شده اند و یا بارهای ناشی از ناهماهنگیهای خاک بستر و یا شالوده مجاری زیرزمینی، از جمله بارهای اتفاقی هستند.

بارهای ردیفهای الف و ب به بارهای اولیه و بارهای ردیف پ به بارهای ثانویه معروفند. قسمت عمده این

فصل به ترتیب اهمیت به بارهای ردیفهای الف و ب به شرح زیر اختصاص داده شده است.

۱. بار دائمی، ناشی از وزن خاک موجود در روی مجاری زیرزمینی

۲. سربار سطحی، ناشی از بارهای سطحی با وسعت زیاد، خاکریزهای موقتی، و محموله هایی که ممکن است

در روی مجاری چه در طول مسیر مجاری و چه عرض مجاری قرار گیرند.

۳. سربار متمرکز، ناشی از وزن چرخ کامیون، قطار، جرثقیلها و یا بارهای گسترده با سطح توزیع کوچک که

روی سطح زمین و یا پایتتر از سطح زمین، ولی در بالای تراز تاج مجرا اثر می نمایند. این بارها ممکن است

مانند بار ناشی از شالوده ستونها، دارای آثار استاتیکی و یا مثل بار ناشی از وسایل نقلیه، دارای آثار دینامیکی

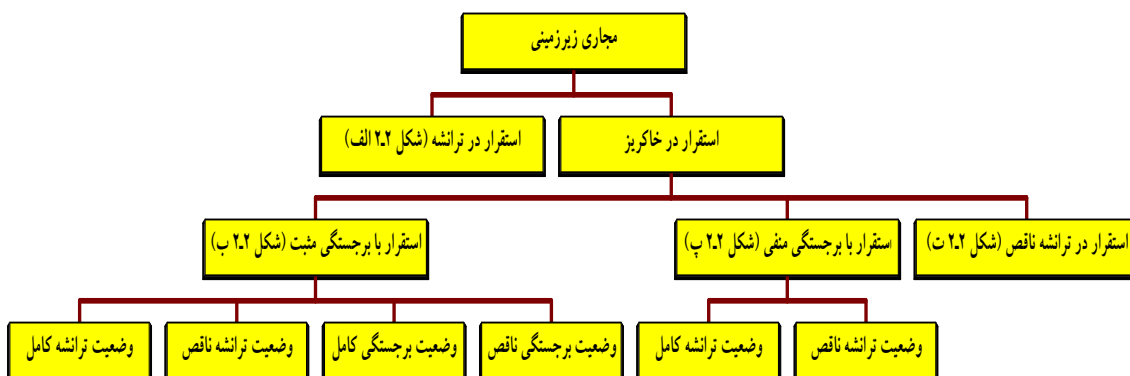
باشند.

۴. فشار دائم یا موقت مایعات، ناشی از غوطه‌وری مجاری در مایعات. مثل حالت عبور مجاری از مناطق با سطح آب زیرزمینی بالا، رودخانه‌ها و یا در مناطقی که تحت تأثیر جزر و مد، یا سیلابهای احتمالی هستند. در ادامه هر یک از بارهای معرفی شده برحسب اهمیت مورد مطالعه قرار می‌گیرند. در این میان بار دائمی ناشی از خاک موجود در روی مجاری از اهمیتی ویژه برخوردار است.

## ۲-۳ بار قائم ناشی از وزن خاک روی مجاری زیرزمینی

### ۲-۳-۱ روشهای استقرار مجاری زیرزمینی - تعاریف عمومی

از نظر روش برآورد بارهای ناشی از وزن خاک، مجاری زیرزمینی به دو حالت استقرار در ترانشه<sup>۱</sup> و استقرار در خاکریز<sup>۲</sup> تقسیم می‌شوند. استقرار در خاکریز خود به استقرار با برجستگی مثبت<sup>۳</sup> و برجستگی منفی<sup>۴</sup> و استقرار در ترانشه ناقص تقسیم می‌گردد. در هر یک از روشهای استقرار، برحسب نشست نسبی تاج مجرا نسبت به خاکریز جناحین، رفتارهای مختلفی مشاهده می‌شود که آنها را وضعیت می‌نامیم. در نمودار شکل ۲-۱ حالات مختلف استقرار و وضعیتهای مختلف رفتاری که در مقدار بار وارد شده مؤثرند، نشان داده شده است.



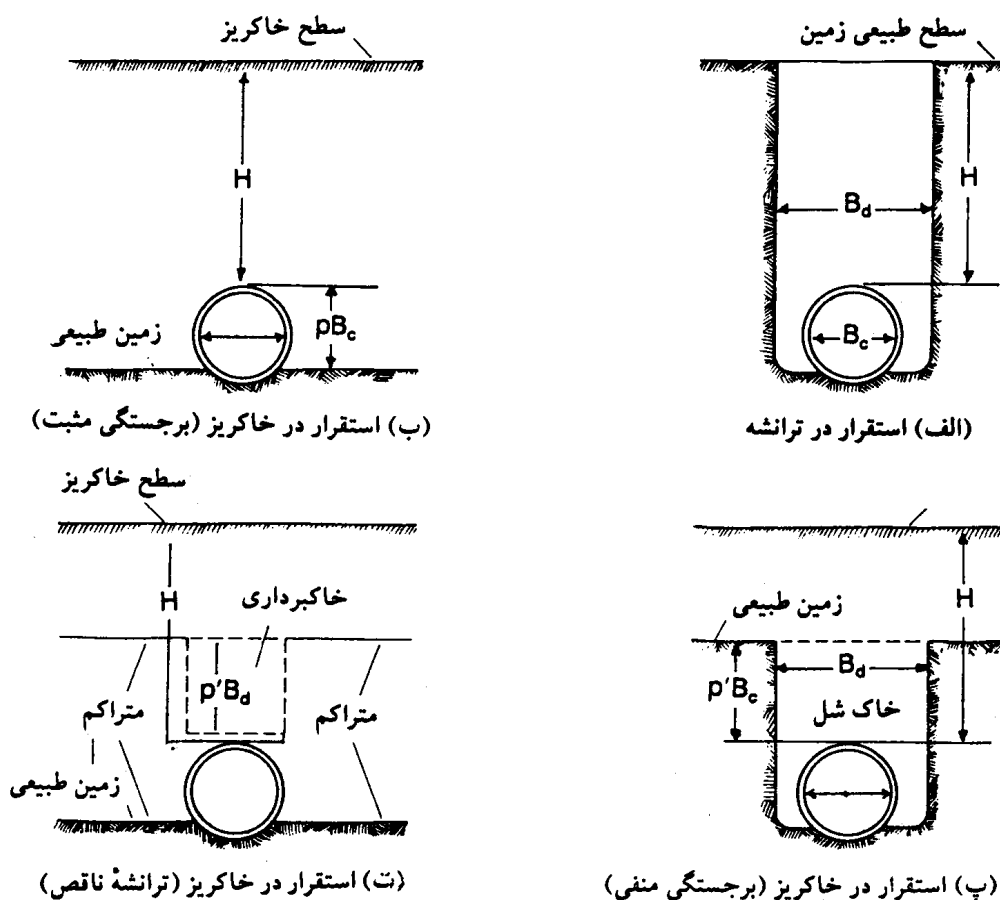
شکل شماره ۲-۱ حالات استقرار مجاری زیرزمینی که بر بار قائم ناشی از خاک موجود در روی لوله مؤثرند.

- 1- Ditch Conduits
- 2- Embankment Conduits
- 3- Positive Projecting Conduits
- 4- Negative Projecting Conduits

### تعاریف عمومی

استقرار در ترانشه: روشی را گویند که مجرا در یک ترانشه نسبتاً باریک که در خاک دست نخورده حفر شده، کار گذاشته روی آن خاکریزی شود. مثالهایی از این شیوه اجرا، در کارگذاری لوله‌های زهکشی، فاضلاب، آبرسانی، و گازرسانی دیده می‌شود. (شکل ۲-۲ الف)

استقرار در خاکریز - برجستگی مثبت: در این حالت مجرا روی بستر طبیعی طوری کار گذاشته می‌شود که تاج مجرا از تراز طبیعی زمین بالاتر قرار گیرد و روی آن خاکریزی می‌شود. آبروهای<sup>۱</sup> جاده و راه آهن بدین سبک اجرا می‌شوند. (شکل ۲-۲ ب)



شکل ۲-۲ روشهای مختلف استقرار مجاری (الف) استقرار در ترانشه، (ب) استقرار با برجستگی مثبت، (پ) استقرار با برجستگی منفی، (ت) استقرار در ترانشه ناقص

استقرار در خاکریز - برجستگی منفی: در این حالت مجرا در یک ترانشه نسبتاً کم عرض و کم عمق طوری کار گذاشته می‌شود که تاج آن از تراز طبیعی زمین پایینتر قرار می‌گیرد و روی مجرا خاکریزی می‌شود. در مقایسه با برجستگی مثبت، در این شیوه فشار قائم کمتری بر روی مجرا اعمال می‌شود. در این حالت اگر فاصله بین تاج

1. Culvert



مجرا و سطح طبیعی زمین با خاک غیر متراکم پر شود، فشار قائم وارد بر مجرا کاهش بیشتری خواهد یافت. (شکل ۲-۲ پ).

استقرار در خاکریز، ترانشه ناقص<sup>۱</sup>: در این حالت مجرا بر روی زمین طبیعی قرار می‌گیرد و جناحین و روی آن خاکریزی و متراکم می‌گردد. سپس در بالای مجرا ترانشه‌ای در خاکریز احداث شده و درون آن با خاک غیر متراکم پر می‌شود. سپس خاکریزی ادامه پیدا می‌کند (شکل ۲-۲ ت) کاربرد مجرا با برجستگی منفی و مجرا در ترانشه ناقص در خاکریزهای حایل آب مانند سدهای خاکی و فرازبندها و خاکریزهای ساحلی، توصیه نمی‌شود، زیرا وجود خاک غیر متراکم در بالای مجرا باعث نشست آب می‌گردد. (شکل ۲-۲ ت).

در استقرار مجرا در ترانشه مصالح خاکریز روی مجرا تمایل به تحکیم و نشست دارند. این پدیده به همراه نشست مجرا روی بستر خود، باعث می‌شود، ستون(منشور) خاک واقع در ترانشه و بالای مجرا، نسبت به خاکهای دست‌نخورده جناحین، به سمت پائین حرکت نماید. این حرکت به طرف پائین، باعث بسیج تنشهای برشی یا نیروهای اصطکاکی به طرف بالا در جدار ترانشه می‌شود و به همراه نیروهای افقی ایجاد عمل قوسی در خاک بالای ترانشه می‌نماید. اختلاف بین وزن خاک روی مجرا و نیروهای قائم بسیج شده در جدار ترانشه، فشار وارد بر بالای مجرا را به دست می‌دهد. اگر چسبندگی بین مصالح خاکریز و جدارهای ترانشه ناچیز فرض گردد، مقدار تنشهای برشی به طرف بالا، مساوی حاصلضرب فشار جانبی مصالح خاکریز بر جدارهای ترانشه در تانژانت زاویه اصطکاک بین دو مصالح خواهد شد. ناچیز فرض کردن چسبندگی چندان هم محافظه‌کارانه نیست، زیرا اگر مصالح خاکریز چسبنده نیز باشد، مدت زمان طولانی لازم است تا چسبندگی بین مصالح خاکریز و جدارهای ترانشه به وجود آید. به علاوه وقوع یک بارندگی شدید می‌تواند چسبندگی را در سطح تماس خاکریز و جدار ترانشه از بین ببرد. در واقع فرض ناچیز بودن چسبندگی حداکثر مقدار بار محتمل وارد بر مجرا را به دست می‌دهد.

### ۲-۳-۲ بار قائم ناشی از وزن خاک در استقرار مجرا در ترانشه

مقطعی از ترانشه و مجرای درون آن به طول واحد مطابق شکل ۳-۲ در نظر گرفته می‌شود. در این شکل، نواری از خاکریز روی مجرا به ضخامت  $dh$  در عمق  $h$  از تراز طبیعی زمین در نظر گرفته می‌شود. نیروهای مؤثر بر این جزء خاک عبارت‌اند از:

$$V = \text{نیروی قائم مؤثر بر روی جزء خاک}$$

$$V + dV = \text{نیروی قائم در زیر جزء خاک}$$

$$\gamma B_d (dh) = \text{وزن جزء خاک}$$

$$(V / B_d) dh = \text{نیروی جانبی مؤثر بر وجوه جانبی جزء خاک}$$

1- Imperfect ditch conduit or induced trench conduit

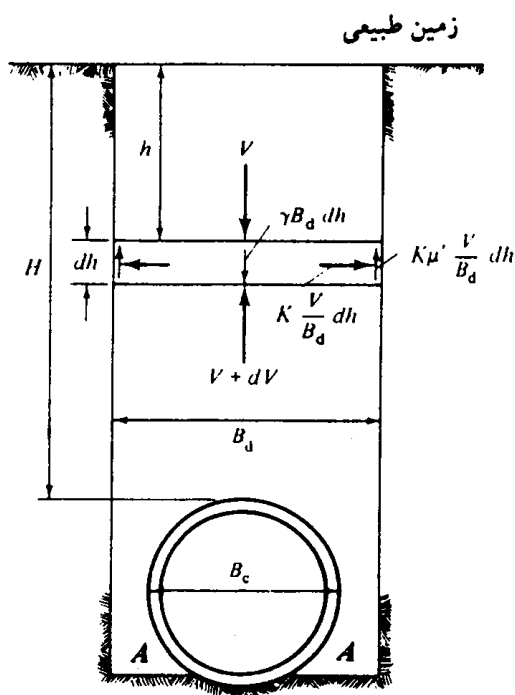
فرض بر این است که توزیع فشارهای قائم در عرض  $B_d$  یکنواخت است. همچنین با توجه به اینکه جزء خاک نسبت به جداره‌های ترانشه تمایل به حرکت به سمت پائین دارد، فشار جانبی نیروی برشی به طرف بالا به مقدار  $k(V/B_d)dh \mu'$  تولید می‌نماید. با نوشتن تعادل نیروها در امتداد قائم رابطه زیر به دست می‌آید.

$$V + dV + \gamma K \mu' \frac{V}{B_d} dh = V + \gamma B_d dh$$

با حل معادله دیفرانسیل بالا خواهیم داشت :

$$V = \gamma B_d \frac{1 - e^{-\gamma K \mu' (h/B_d)}}{\gamma K \mu'}$$

در تراز تاج مجرا  $h=H$  است. با قرار دادن این مقدار در رابطه فوق، مقدار حداکثر فشار قائم وارد بر تراز افقی در تراز تاج مجرا به دست می‌آید. نسبتی از این فشار که توسط مجرا تحمل می‌شود، به صلیب نسبی مجرا و خاکریز موجود در حد فاصل جناحین مجرا و جدار خاکریزی بستگی دارد (ناحیه A در شکل ۲-۳). در مجاری صلب، با توجه به قابلیت فشردگی خاکریز جناحین، به طور نظری تقریباً تمام بار قائم  $V$  توسط مجرا حمل می‌شود. اگر مجرا نسبتاً انعطاف‌پذیر و خاکریز جناحین توسط متراکم کننده‌های دستی کوبیده شده باشد، سختی خاکریز و مجرا یکی شده و از بار وارد بر مجرا کاسته می‌شود.



شکل ۲-۳ نمودار آزاد مجرا در ترانشه

در مورد مجاری صلب، با خاکریز جناحین غیر متراکم، بار وارد در تراز تاج مجرا به علت وزن خاک بالای آن برابر است با :

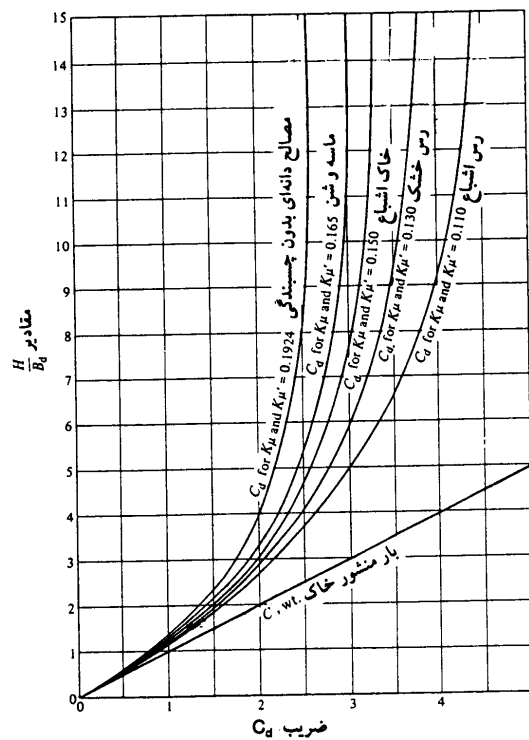
$$W_c = C_d \gamma B_d^2 \quad (1-2)$$

$$C_d = \frac{1 - e^{-\gamma K \mu' (h/B_d)}}{\gamma K \mu'} \quad (2-2)$$

در نمودار شکل ۲-۴ مقدار  $C_d$  به ازای مقادیر  $H/B_d$  و مصالح خاکریز با زوایای اصطکاک داخلی مختلف ارائه شده است.

برای مجاری انعطاف‌پذیر با خاکریز جناحین تراکم یافته، به طوری که درجه سختی آن مشابه مجرا باشد، مقدار  $W_c$  داده شده در رابطه ۲-۱ باید در نسبت  $B_c/B_d$  ضرب شود. در نتیجه بار وارد بر واحد طول مجرای انعطاف‌پذیر به صورت زیر در می‌آید:

$$W_c = C_d \gamma B_c B_d \quad (3-2)$$

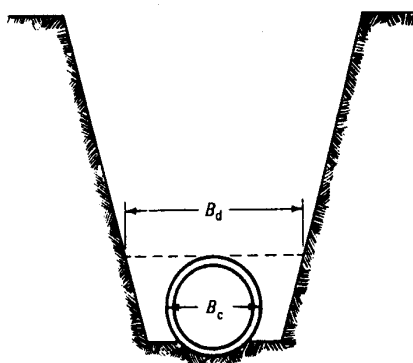


شکل ۲-۴ نمودار تعیین  $C_d$  برای مجرا در ترانشه

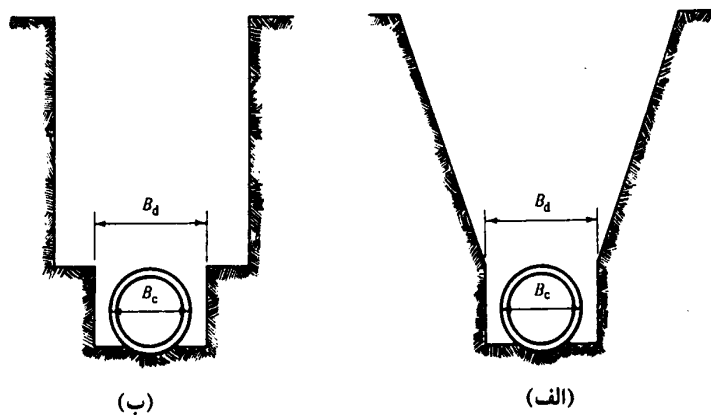
توجه شود که برای استفاده از رابطه ۲-۳ انعطاف‌پذیر بودن مجرا کافی نیست و خاکریز جناحین مجرا باید طوری متراکم شده باشد که مقاومت آن در مقابل بارهای قائم مشابه خود مجرا باشد. این ملاحظه کیفی است و اغلب موارد، بار وارد بر مجاری انعطاف‌پذیر بین مقادیر حاصل از روابط ۲-۱ و ۲-۳ به دست می‌آید.

### ترانشه با جدار شیبدار

عرض  $B_d$  موجود در روابط ۱-۲ تا ۳-۲، عرض ترانشه‌ای با جداره‌های قائم است. اگر مطابق شکل ۵-۲ ترانشه با جداره‌های شیبدار ساخته شود، آزمایشها نشان می‌دهند که عرض ترانشه در تراز تاج مجرا، عرض مناسبی برای استفاده به جای  $B_d$  در روابط گذشته است. در مواردی که جدار ترانشه شیبدار، یا برای سهولت اجرا عرض ترانشه زیاد در نظر گرفته شود، بهتر آن است که برای حداقل نمودن بار وارده، ترانشه‌ای کم عرض در کف ترانشه اصلی، مطابق شکل ۶-۲ تعیین نمود. در این حالت عرض  $B_d$  را می‌توان مطابق شکل انتخاب نمود. به ترانشه کم عرض تحتانی، زیر ترانشه<sup>۱</sup> گفته می‌شود.



شکل ۵-۲ عرض مؤثر ترانشه در ترانشه‌ها با جدار شیبدار



شکل ۶-۲ استفاده از زیرترانشه

### ۳-۳-۲ استقرار مجرا در خاکریز - کلیات

وقتی مجرا در خاکریز کار گذاشته می شود تنشهای برشی موجود در جسم خاکریز نقش عمده‌ای در تولید بار وارد بر مجرا ایفا می کند. مطابق شکل‌های ۷-۲ و ۸-۲ در این حالت صفحات گسیختگی خاک در حالت حدی، صفحات قائمی مماس بر دو طرف قطر افقی مجرا در نظر گرفته می شوند. با این ترتیب در روابطی که برای این حالت حاصل می گردد، عامل عرض، همان عرض مجرا یعنی  $B_c$  خواهد بود.

#### نسبت برجستگی<sup>۱</sup>

نسبت ارتفاع تاج مجرا از زمین طبیعی اطراف به عرض خارجی مجرا، نسبت برجستگی نامیده و با  $p$  نمایش داده می شود. در نتیجه  $pB_c$  ارتفاع برجسته مجرا نسبت به زمین طبیعی اطراف خواهد بود. (شکل‌های ۷-۲ و ۸-۲).

#### صفحه بحرانی<sup>۲</sup>

صفحه افقی فرضی در خاکریز مماس بر تاج مجرا، در وضعیت اولیه، صفحه بحرانی نامیده می شود. (شکل‌های ۷-۲ و ۸-۲).

#### نسبت نشست<sup>۳</sup>

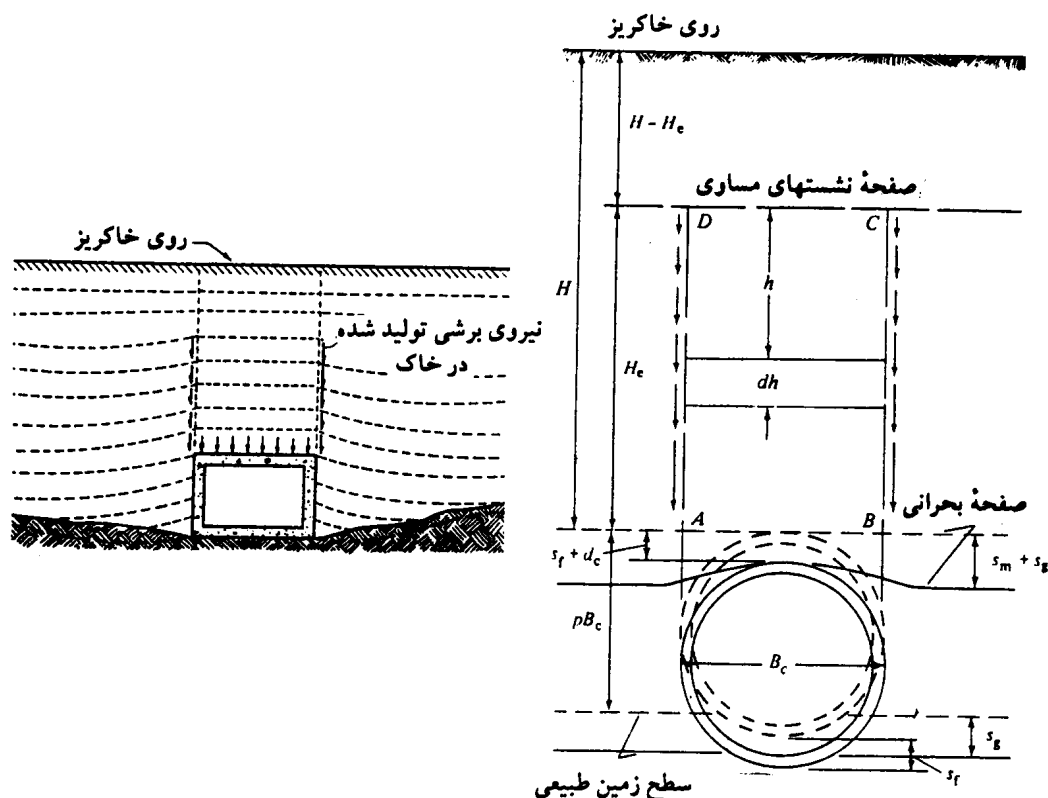
نسبت نشست، عبارت است از نسبت نشست تاج مجرا به نشست صفحه بحرانی در خاکریز اطراف. این نسبت شاخصی برای بیان وضعیت نیروهای اصطکاکی موجود در روی صفحات لغزش قائم است. اگر صفحه بحرانی بیشتر از تاج مجرا نشست کند، مقدار آن مثبت (شکل ۷-۲) و اگر مطابق شکل ۸-۲ تاج مجرا بیشتر از صفحه بحرانی نشست کند، مقدار آن منفی است. نسبت نشست با رابطه زیر تعریف می شود:

$$I_{sd} = \frac{(S_m + S_g) - (S_f + d_c)}{S_m} \quad (۴-۲)$$

1- Projection ratio

2- Critical Plane

3- Settlement ratio



شکل ۷-۲ وضعیت خاکریز (خطوط خط چین نشان‌دهنده وضعیت اولیه و خطوط پر نشان‌دهنده وضعیت نهایی بعد از نشست می‌باشند). نیروی برشی روبه پایین باعث افزایش فشار خاک روی مجرای زیرزمینی می‌شود.

اگر چه نسبت نشست  $r_{sd}$  یک کمیت عقلایی در حصول رابطه بار مؤثر است، اما محاسبه آن برای حالت‌های خاص اگر غیر ممکن نباشد، بسیار مشکل است. بنابراین عملیتر است که این نسبت را به صورت کمی تجربی در نظر بگیریم و مقدار آن را برای مقاصد طراحی بر اساس مشاهدات حاصل از وضعیت واقعی مجرا در خاکریز تعیین نماییم. مقادیر مندرج در جدول ۱-۲ بر اساس چنین مشاهداتی ارائه و توصیه شده است.

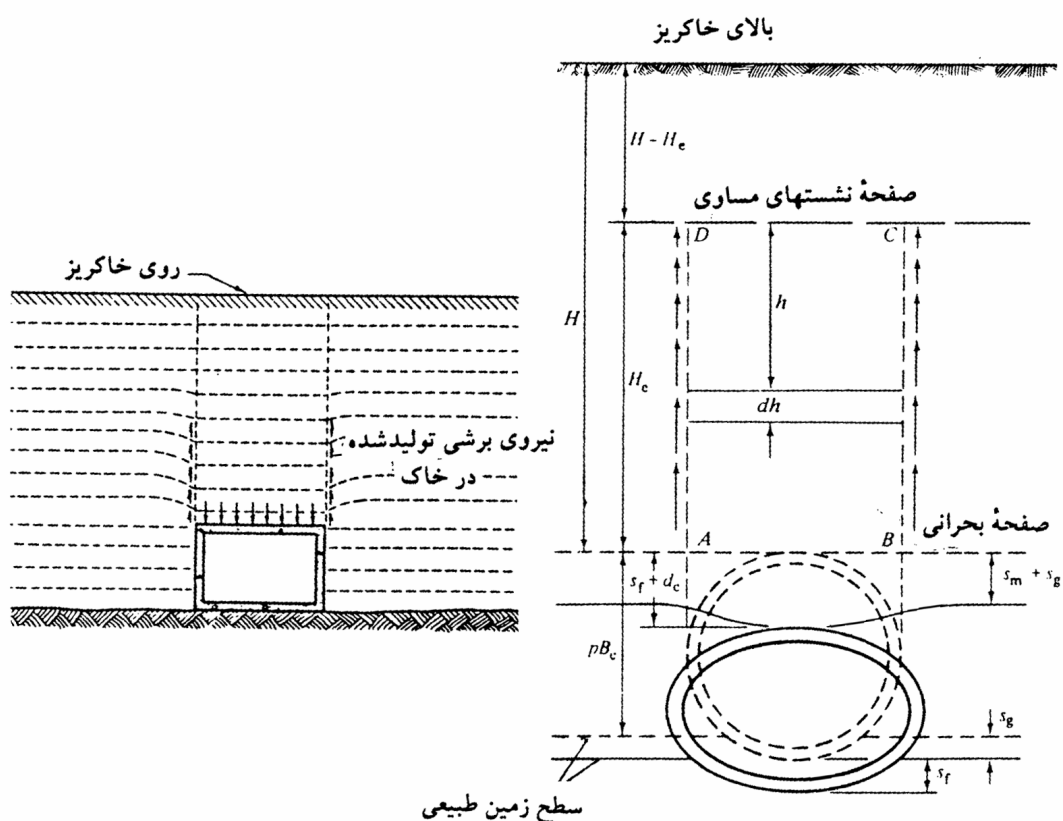
### جهت تنشهای برشی، وضعیت خاکریز و ترانشه

اگر مانند شکل ۷-۲، صفحه بحرانی بیشتر از تاج مجرا نشست نماید، نسبت نشست مثبت است. در این حالت ستون خاک جناحین مجرا نسبت به ستون خاک واقع در بالای مجرا حرکتی به سمت پائین دارد. بنابراین جهت تنشهای برشی موجود در سطوح جانبی ستون خاک بالای مجرا رو به سمت پائین است و در نتیجه بار قائم وارد بر مجرا بزرگتر از وزن ستون خاک موجود در بالای مجرا خواهد بود. این حالت وضعیت برجسته نامیده می‌شود. اگر مانند شکل ۸-۲ تاج مجرا بیشتر از صفحه بحرانی نشست کرده باشد، نسبت نشست منفی است و ستون خاک واقع در بالای مجرا نسبت به ستونهای خاک جناحین مجرا بیشتر نشست می‌نماید و در نتیجه نیروهای برشی مؤثر بر وجوه جانبی آن به طرف بالا هستند و بار وارد بر مجرا کمتر از وزن ستون خاک موجود در بالای

آن است. این حالت شرایط ترانشه<sup>۱</sup> نامیده می‌شود زیرا جهت تنش برشی همانند حالت استقرار در ترانشه به سمت بالاست.

جدول ۱-۲ مقادیر توصیه شده برای نسبت نشست در استقرار با برجستگی مثبت

نسبت نشست	شرایط
+۱/۰	مجرای صلب روی پس سنگی و یا خاک غیر قابل نشست
+۰/۵-+۰/۸	مجرای صلب روی پی از خاک معمولی
+۰/۰/۵	مجرای صلب روی پی از مصالحی که نسبت به زمین طبیعی اطراف نشست می‌نماید.
-۰/۴-۰	مجرای انعطاف پذیر و با خاکریز جناحین با تراکم بد
-۰/۲+۰/۲	مجرای انعطاف پذیر با خاکریز جناحین با تراکم خوب



شکل ۲-۸ وضعیت ترانشه (خطوط خط چین نشان‌دهنده وضعیت اولیه و خطوط پر نشان‌دهنده وضعیت نهایی بعد از نشست هستند). نیروی برشی رو به بالا باعث کاهش بار خاک روی مجرای زیرزمینی می‌شود.

## صفحه نشست مساوی<sup>۱</sup>

در صورتی که ارتفاع خاکریز زیاد باشد، ممکن است نیروهای برشی قائم در یک صفحه افقی در خاکریز، که صفحه نشست مساوی نامیده می شود، به صفر برسد. با توجه به شکل‌های ۲-۷ و ۲-۸ ملاحظه می شود که قسمتی از بار قائم در ستون خاک جناحین به کمک برش به ستون خاک میانی منتقل می شود و یا بالعکس. این انتقال بار باعث کرنشهای فشاری نامساوی در ستون خاک بالای مجرا و خاک اطراف می شود، اما در ارتفاعی در بالای مجرا مجموع کرنشهای ستون خاک جناحین (ستون خاک خارجی) به علاوه نشست صفحه بحرانی مساوی مجموع کرنشهای ستون خاک بالای مجرا (ستون خاک داخلی) به علاوه نشست بالای مجرا می شود. در نتیجه از این تراز به بالا چون هیچ گونه حرکت نسبی بین ستون خاک خارجی و ستون خاک داخلی وجود ندارد، لذا هیچ گونه تنش برشی در مرز بین آن دو به وجود نمی آید.

ارتفاع صفحه نشست مساوی نسبت به تراز تاج مجرا با  $H_e$  نشان داده می شود. اگر  $H_e$  از  $H$  (یعنی ارتفاع خاکریز) کوچکتر باشد، در این وضعیت صفحه نشست مساوی حقیقی خواهد بود. در این حالت با توجه به اینکه تنشهای برشی تا سطح خاکریز ادامه ندارد، وضعیت ترانشه ناقص<sup>۲</sup> و یا وضعیت برجستگی ناقص<sup>۳</sup> نامیده می شود. اگر  $H_e$  بزرگتر از  $H$  باشد، صفحه نشستهای مساوی، مجازی است. در این حالت با توجه به اینکه تنشهای برشی تا سطح خاکریز ادامه دارند، وضعیت ترانشه کامل<sup>۴</sup> یا وضعیت برجستگی کامل<sup>۵</sup> نامیده می شود.

## ۲-۳-۴ بار قائم ناشی از وزن خاکریز در استقرار مجرا در خاکریز با برجستگی مثبت

با روشی مشابه، روش به کار گرفته شده برای مجاری در ترانشه که در بخش ۲-۳-۲ تشریح شد، مارستون رابطه ای برای بار قائم وارد بر مجاری با برجستگی مثبت به دست آورد. برای وضعیت ترانشه کامل یا برجستگی کامل، رابطه به قرار زیر است.

$$W_c = C_c \gamma B_c \quad (5-2)$$

که در آن :

$$C_c = \frac{e^{\pm \nu K \mu (H/B_c)} - 1}{\pm \nu K \mu} \quad (6-2)$$

علامت مثبت برای وضعیت برجستگی کامل و علامت منفی برای وضعیت ترانشه ناقص است.

برای وضعیت برجستگی ناقص یا ترانشه ناقص داریم :

$$C_c = \frac{e^{\pm \nu K \mu (H/B_c)} - 1}{\pm \nu K \mu} + \left( \frac{H}{B_c} - \frac{H_e}{B_c} \right) e^{\pm \nu K \mu (H/B_c)} \quad (7-2)$$

- 
- 1- Plane of equal settlement
  - 2 - Incomplete ditch condition
  - 3 - Incomplete projection condition
  - 4 - Complete ditch condition
  - 5 - Complete projection condition



علامت مثبت برای وضعیت برجستگی کامل و علامت منفی برای وضعیت ترانشه کامل است. با مساوی قرار دادن کرنش تجمعی ستون خاک بالای تاج مجرا به علاوه نشست تاج مجرا با کرنش تجمعی ستون خاک کناری به علاوه نشست صفحه بحرانی، رابطه زیر برای محاسبه  $H_e$  به دست می آید.

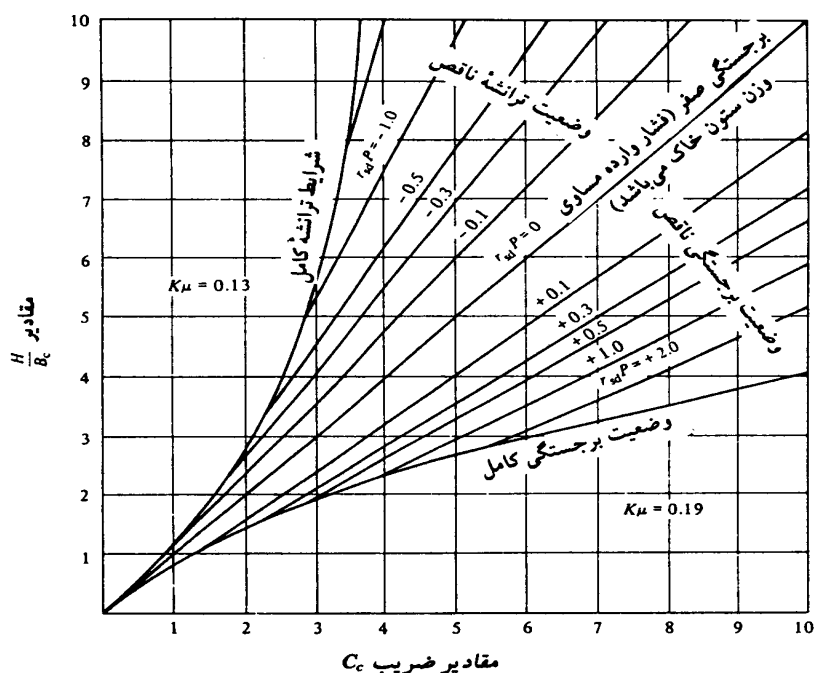
$$\left[ \frac{1}{2K\mu} \pm \left( \frac{H}{B_c} - \frac{H_e}{B_c} \right) \pm \frac{r_{sd}P}{3} \right] \frac{e^{\pm 2K\mu(H/B_c)} - 1}{\pm 2K\mu} \pm \frac{1}{2} \left( \frac{H_e}{B_c} \right)^2 \pm \frac{r_{sd}P}{3} \left( \frac{H}{B_c} - \frac{H_e}{B_c} \right) e^{\pm 2K\mu(H/B_c)} - \frac{1}{2K\mu} \times \frac{H_e}{B_c} \mp \frac{H}{B_c} \times \frac{H_e}{B_c} = \pm r_{sd}P \frac{H}{B_c} \quad (8-2)$$

برای وضعیت برجستگی ناقص که نسبت نشست آنها مثبت است، از علائم فوقانی و برای وضعیت ترانشه ناقص که برای آنها نسبت منفی است، از علائم تحتانی استفاده می شود.

### نمودارهای محاسباتی

استفاده از روابط ۶-۲ و ۷-۲ پرکار و خسته کننده و ممکن است توأم با اشتباه باشد. بنابراین برای تعیین  $C_c$  در رابطه ۵-۲ نمودار شکل ۹-۲ ارائه شده است. لازم به ذکر است که  $C_c$  که تابعی از نسبت  $H/B_c$ ، حاصلضرب نسبت نشست و نسبت برجستگی ( $r_{sd}P$ ) و مشخصه های اصطکاکی خاک است. لیکن مارستون اشاره می کند تأثیر ضریب اصطکاک داخلی  $\mu$  در این حالت نسبتاً کم است و از نظر طراحی بر خلاف وضعیت مجرا در ترانشه در این حالت اختلافی بین خاکهای مختلف وجود ندارد. بنابراین در رسم نمودار شکل ۹-۲ برای وضعیت برجسته که در آن نیروهای برشی به سمت پایین هستند، مقدار  $K\mu = 0/19$  و برای وضعیت ترانشه که در آن نیروهای برشی به سمت بالا هستند، مقدار  $K\mu = 0/13$  فرض شده است. این نمودار در حد مفروضات طراحی، جوابهای مناسب و قابل اطمینانی برای فشار خاک به دست می دهد.

خطوط شعاعی در شکل ۹-۲ نشان دهنده مقادیر  $C_c$  برحسب  $H/B_c$  بر اساس رابطه ۷-۲ و منحنیهای پوش بر اساس رابطه ۶-۲ هستند. خطوط شعاعی منحنیهای پوش را در نقاط  $H_e = H$  قطع می نماید. بنابراین از این نمودار می توان برای تخمین ارتفاع صفحه نشست مساوی نیز استفاده کرد. خطوط شعاعی را بعد از نقطه قطع با منحنی پوش می توان به کمک روابط تعیین نمود که این روابط در جدول ۲-۲ ارائه شده است.



شکل ۹-۲ نمودار تعیین  $C_c$  برای استقرار مجرا در خاکریز با برجستگی مثبت

جدول ۲-۲ روابطی برای محاسبه  $C_c$  برحسب  $H/B_c$  مطابق نمودار شکل ۹-۲

وضعیت ترانشه ناقص $K\mu = 0.13$		وضعیت برجستگی ناقص $K\mu = 0.19$	
$r_{sd}P$	رابطه	$r_{sd}P$	رابطه
-0.1	$C_c = 0.82H/B_c + 0.05$	+0.1	$C_c = 1.23H/B_c - 0.02$
-0.3	$C_c = 0.69H/B_c + 0.11$	+0.3	$C_c = 1.39H/B_c - 0.05$
-0.5	$C_c = 0.61H/B_c + 0.20$	+0.5	$C_c = 1.50H/B_c - 0.07$
-0.7	$C_c = 0.55H/B_c + 0.25$	+0.7	$C_c = 1.59H/B_c - 0.09$
-1.0	$C_c = 0.47H/B_c + 0.40$	+1.0	$C_c = 1.69H/B_c - 0.12$
		+2.0	$C_c = 1.93H/B_c - 0.17$

حالتی که  $r_{sd}P = 0$  است:

مطالعه نمودار شکل ۹-۲ نشان می دهد که وقتی حاصلضرب نسبت نشست  $r_{sd}$  و نسبت برجستگی  $P$  مساوی صفر می شود، نسبت  $C_c = H/B_c$  می گردد. اگر این مقدار  $C_c$  در رابطه ۲-۵ قرار داده شود، رابطه به

صورت  $W_c = H\gamma B_c$  ساده می‌گردد. این نتیجه بدان معنی است که بار وارد بر مجرا مساوی وزن ستون خاک موجود در روی آن است. وقتی که نشست صفحه بحرانی مساوی نشست تاج مجراست، یعنی وقتی که  $(S_m + S_g = S_f + d_c)$ ، نسبت نشست مساوی صفر است. از طرف دیگر نسبت برجستگی وقتی مساوی صفر است که مجرا در ترانشه‌ای باریک به عمق ارتفاع مجرا کار گذاشته شود، به طوری که تراز تاج آن مساوی تراز زمین اطراف گردد. این وضعیت یک حالت انتقال بین مجرا با برجستگی مثبت و منفی است که گاهی به آن مجرا با برجستگی صفر گفته می‌شود.

### ۲-۳-۵ بار قائم ناشی از وزن خاکریز در استقرار مجرا در خاکریز با ترانشه ناقص

در اجرای مجرا با روش ترانشه ناقص (شکل ۲-۲ ت)، ابتدا مجرا به صورت برجستگی مثبت کار گذاشته می‌شود. سپس خاکریز جناحین و روی مجرا تا ارتفاع مشخصی در بالای آن انجام و متراکم می‌شود. سپس ترانشه‌ای به عرض بعد خارجی افقی مجرا، تا سطح فوقانی آن ایجاد و توسط خاک (یا مصالح) شل با قابلیت فشردگی پر می‌شود. این مصالح می‌تواند خاک معمولی در حالت شل و یا خاک مخلوط با کاه یا علف یا مواد مشابه باشد. مقصود از اتخاذ این تدابیر این است که از نشست بیشتر ستون خاک روی مجرا نسبت به خاکریز اطراف اطمینان حاصل شود و در نتیجه جهت تنشهای مؤثر بر سطوح جانبی آن به سمت بالا به دست آید و از بار وارد بر روی مجرا کاسته شود. در نهایت خاکریز تا تراز مورد نظر اجرا می‌گردد.

با استفاده از مشخصات هندسی و نشست نشان داده شده در شکل ۲-۱۰، می‌توان رابطه‌ای به شکل زیر برای

محاسبه بار وارد بر مجرا بسط داد:

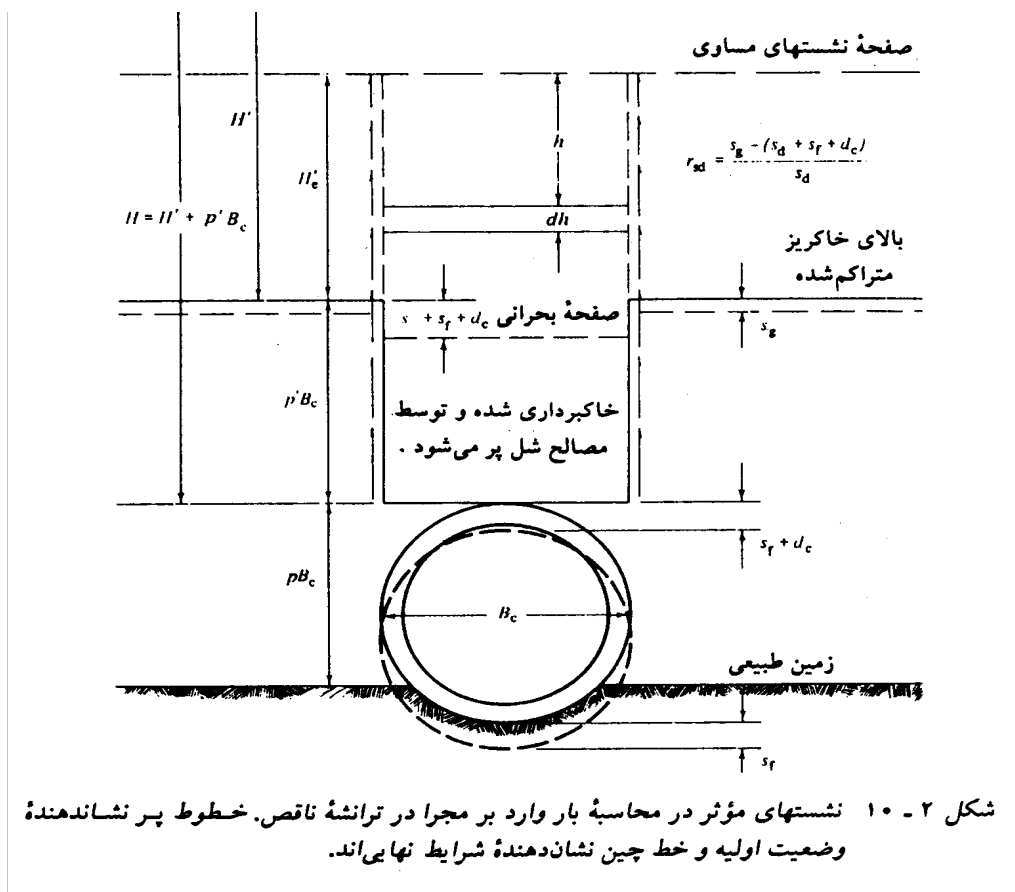
$$W_c = C_n \gamma B_c \quad (۲-۹)$$

که در آن ضریب  $C_n$  تابعی از نسبت  $B/B_c$  (نسبت ارتفاع خاکریز روی تاج مجرا به عرض مجرا)،  $P'$  نسبت

برجستگی و  $I_{sd}$  نسبت نشست است.

نسبت برجستگی  $p'$  برای ترانشه ناقص مساوی نسبت عمق ترانشه ناقص به عرض مجراست و همیشه مثبت

در نظر گرفته می‌شود.



صفحه بحرانی به صورت صفحه ای افقی در مصالح پرکننده ترانشه ناقص در تراز خاکریز متراکم شده مرحله اول، قبل از وقوع نشست تعریف می گردد. در این حالت، نسبت نشست نیز به صورت زیر تعریف می شود.

$$I_{sd} = \frac{S_g - (S_d + S_f + d_c)}{S_d} \quad (10-2)$$

در این حالت نسبت نشست همواره کمیتی منفی است.

مقدار ضریب فشار  $C_n$  موجود در رابطه ۹-۲ را می توان از نمودارهای اشکال ۱۱-۲ تا ۱۴-۲ به دست آورد. همانند نمودار شکل ۹-۲، در این حالت نیز خطوط شعاعی منحنیهای پوش را در  $H_e = H$  قطع می نمایند. در نتیجه می توان ارتفاع نشستهای مساوی را از حاصلضرب مقادیر  $H/B_c$  نظیر این نقاط در  $B_c$  به دست آورد.

تحقیقات انجام شده بر روی تعیین بار وارد بر مجرا در ترانشه ناقص هنوز به اندازه سایر حالات تکامل نیافته است. در صورت عدم وجود اطلاعات دقیقتر، می توان نسبت نشست را برای این حالت بین ۰/۳ - الی ۰/۵ - منظور نمود. تحقیقات تازه انجام شده از سوی آقای تیلور از اداره شاهراههای ایالات ایلینوی روی مجاری بتنی به قطر ۱۲۰۰ میلیمتر (۴۸ اینچ) که در وضعیت ترانشه ناقص کار گذاشته شده، این نسبت را بین ۰/۲۵ - الی ۰/۴۵ - نشان می دهد.

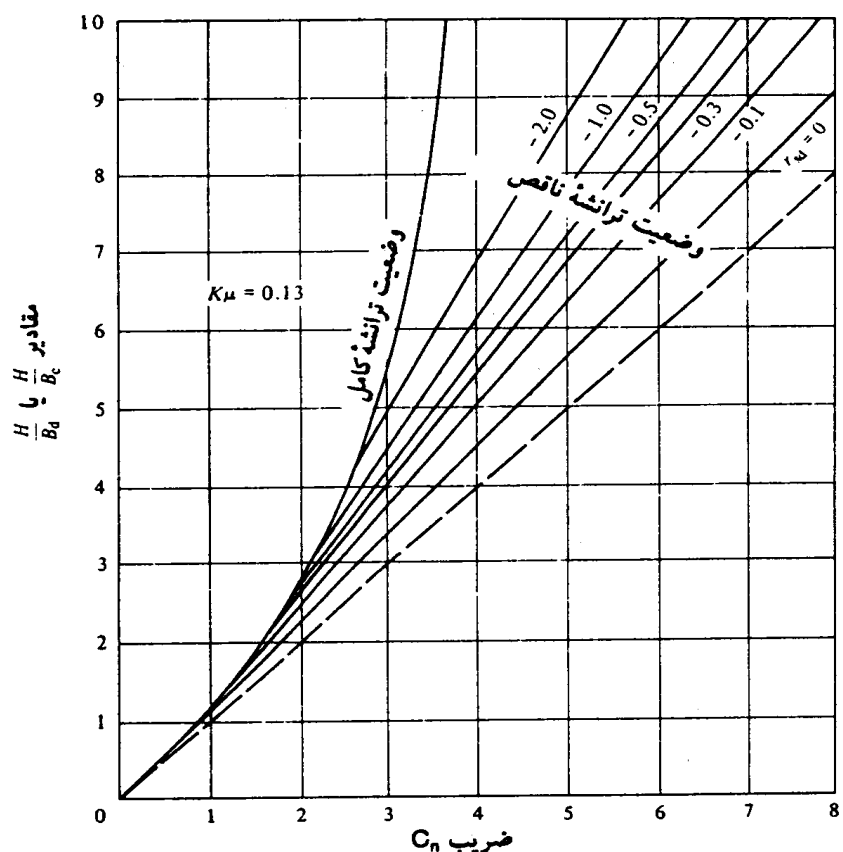
۶-۳-۲ بار قائم ناشی از وزن خاکریز در استقرار مجرا در خاکریز با برجستگی منفی تحلیل مجاری در استقرار با برجستگی منفی (شکل ۲-۲ پ) مطابق روش به کار رفته برای استقرار در ترانشه ناقص است با این تفاوت که عامل عرض به جای  $B_c$ ، مساوی  $B_d$  یعنی عرض ترانشه کم عمقی است که مجرا در آن کار گذاشته می‌شود. در نتیجه بار وارد بر مجرا با توجه به رابطه ۹-۲ به صورت زیر در می‌آید.

$$W_c = C_n \gamma B_c \quad (۹-۲ \text{ تکراری})$$

ضرایب  $C_n$  به کمک نمودارهای شکل‌های ۱۱-۲ تا ۱۴-۲ به دست می‌آید.

### ۷-۳-۲ مجاری زیرزمینی کارگذاشته شده در ترانشه‌های عریض

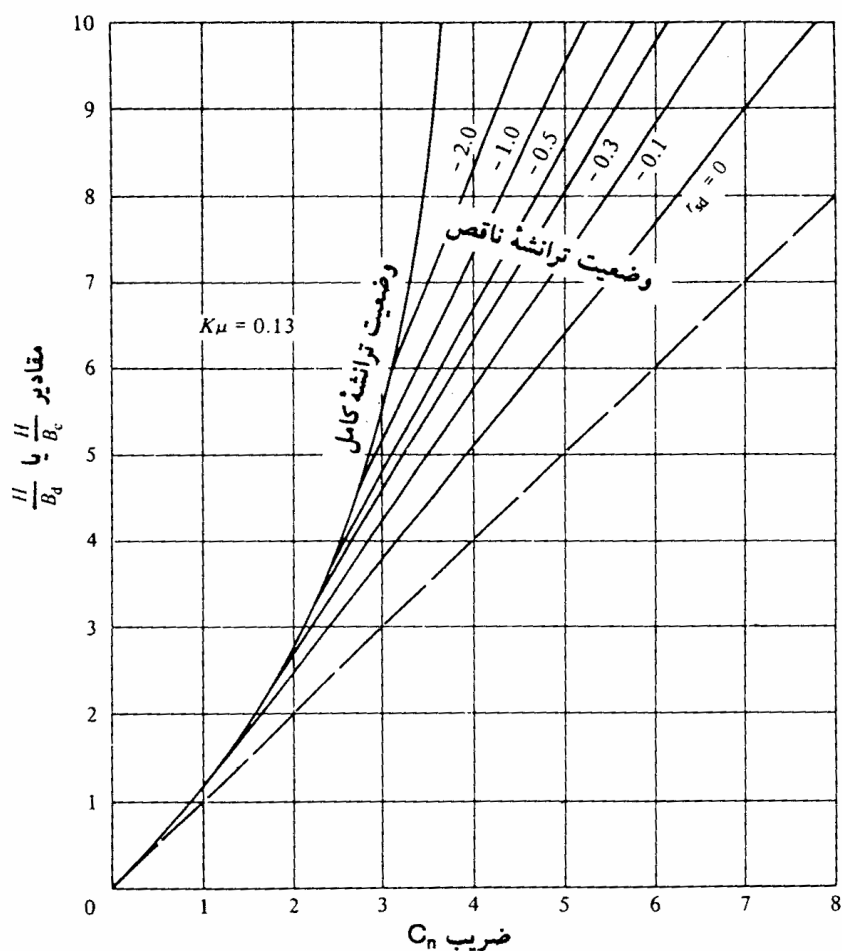
رابطه ۱-۲ برای تعیین بار وارد بر مجرا در ترانشه، دلالت بر این دارد که مقدار بار وارد شده تابعی از عرض ترانشه است. بدین معنی که هر چه ترانشه عریضتر باشد، بار وارد بر مجرا بیشتر است. روشن است که برای این قاعده یک عرض حدی وجود دارد که برای عرضهای بزرگتر، قاعده فوق صادق نیست. در یک ترانشه خیلی عریض، وجوه ترانشه بیشتر از مجرا دور هستند و در نتیجه نمی‌توانند تأثیری در روی بار وارد بر مجرا داشته باشند.



شکل ۲-۱۱ نمودار تعیین ضریب بار  $C_n$  برای مجرا با برجستگی منفی و تراشه ناقص با  $p' = 0.5$ . برای مقادیر بزرگتر  $H/B$  از روابط جدول ۲-۳ استفاده می شود.

جدول ۲-۳ مقادیر  $C_n$  برحسب  $H/B_d$  یا  $H/B_c$  در مجرا با برجستگی منفی یا تراشه ناقص با  $p' = 0.5$

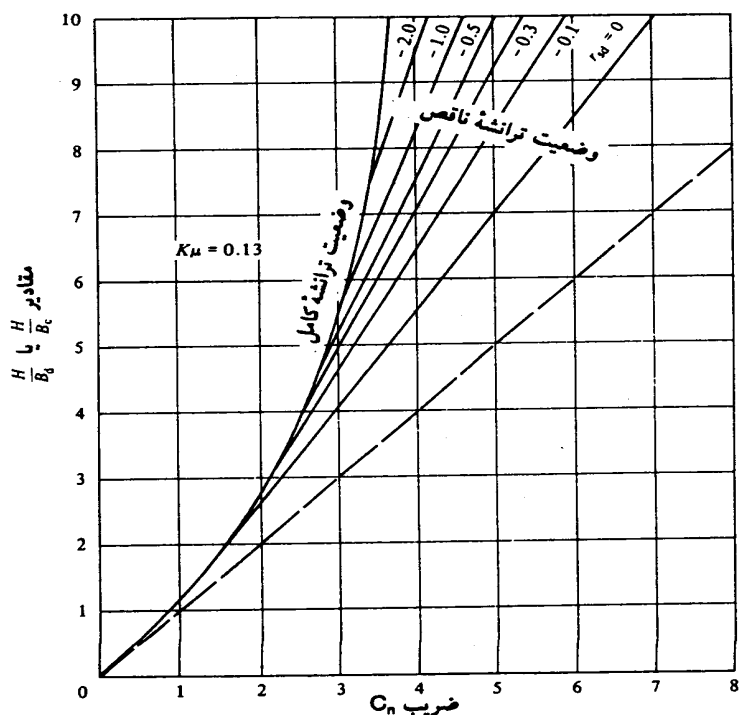
رابطه	$r_{sd}$
$C_n = 0.88H/B + 0.03$	۰
$C_n = 0.77H/B + 0.09$	-۰/۱
$C_n = 0.71H/B + 0.14$	-۰/۳
$C_n = 0.67H/B + 0.17$	-۰/۵
$C_n = 0.61H/B + 0.23$	-۱/۰
$C_n = 0.52H/B + 0.33$	-۲/۰



شکل ۲-۱۲ نمودار تعیین ضریب بار  $C_n$  برای مجرا با برجستگی منفی و ترانشه ناقص با  $p' = 1/0$ . برای مقادیر بزرگتر  $H/B$  از روابط جدول ۲-۴ استفاده می‌شود.

جدول ۲-۴ مقادیر  $C_n$  برحسب  $H/B_d$  یا  $H/B_c$  در مجرا با برجستگی منفی یا ترانشه ناقص با  $p' = 1/0$

رابطه	$\Gamma_{sd}$
$C_n = 0.77H/B + 0.11$	۰
$C_n = 0.65H/B + 0.25$	-۰/۱
$C_n = 0.58H/B + 0.34$	-۰/۳
$C_n = 0.53H/B + 0.41$	-۰/۵
$C_n = 0.47H/B + 0.52$	-۱/۰
$C_n = 0.40H/B + 0.69$	-۲/۰

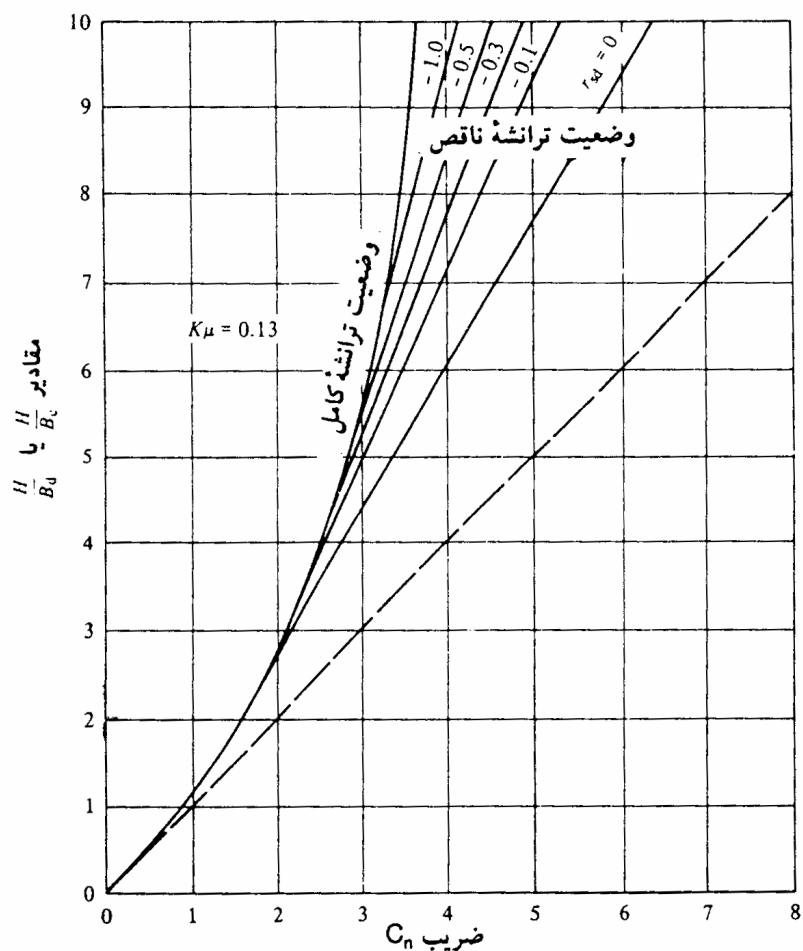


شکل ۲-۱۳ نمودار تعیین ضریب بار  $C_n$  برای مجرا با برجستگی منفی و ترانشه ناقص با  $p' = 1/5$ . برای مقادیر بزرگتر  $H/B$  از روابط جدول ۲-۵ استفاده می‌شود.

جدول ۲-۵ مقادیر  $C_n$  برحسب  $H/B_c$  یا  $H/B_0$  در  
مجرا با برجستگی منفی یا ترانشه ناقص با  $p' = 1/5$

رابطه	$\gamma_{sd}$
$C_n = 0.68H/B + 0.23$	۰
$C_n = 0.55H/B + 0.44$	-۰/۱
$C_n = 0.48H/B + 0.58$	-۰/۳
$C_n = 0.44H/B + 0.66$	-۰/۵
$C_n = 0.38H/B + 0.81$	-۱/۰
$C_n = 0.31H/B + 1.15$	-۲/۰





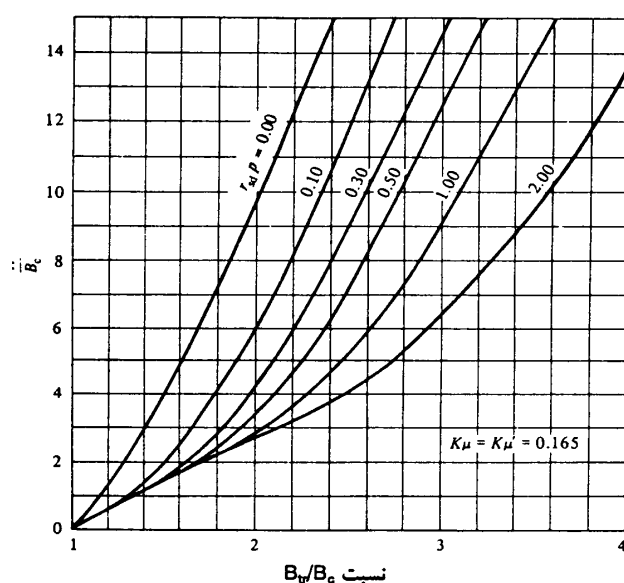
شکل ۲-۱۴ نمودار تعیین ضریب بار  $C_n$  برای مجرا با برجستگی منفی و ترانشه ناقص با  $p' = 2/0$ . برای مقادیر بزرگتر  $H/B$  از روابط جدول ۲-۶ استفاده می شود.

جدول ۲-۶ مقادیر  $C_n$  برحسب  $H/B_d$  یا  $H/B_c$  در

مجرا با برجستگی منفی یا ترانشه ناقص با  $p' = 2$

رابطه	$r_{sd}$
$C_n = 0.59H/B + 0.37$	۰
$C_n = 0.47H/B + 0.65$	-۰/۱
$C_n = 0.40H/B + 0.82$	-۰/۳
$C_n = 0.36H/B + 0.92$	-۰/۵
$C_n = 0.31H/B + 1.11$	-۱/۰
$C_n = 0.24H/B + 1.52$	-۲/۰

مطالعات انجام شده توسط اشلیک<sup>۱</sup> در مورد تأثیر عرض ترانشه در بار وارد بر مجاری صلب نشان می‌دهد محاسبات بر اساس رابطه مجرا در ترانشه برای تمام عرضها تا آنجا که بار وارد شده کمتر یا مساوی بار به دست آمده توسط رابطه ۲-۵ (مجرا با برجستگی مثبت) می‌باشد، ایمن است. به عبارت دیگر با افزایش عرض ترانشه، در حالتی که سایر عوامل ثابت هستند، بار وارد بر مجرا افزایش می‌یابد تا آنجا که به بار وارد در حالت خاکریز با برجستگی مثبت برسد. عرضی از ترانشه که بار محاسبه شده توسط رابطه مجرا در ترانشه و رابطه مجرا در خاکریز با برجستگی مثبت مساوی می‌شوند. عرض انتقال ( $B_{tr}$ ) نامیده می‌شود. برای عرضهای بزرگتر از عرض انتقال، بار وارد بر مجرا بدون توجه به مقدار عرض، مساوی مقدار ثابتی که همان بار محاسبه شده توسط مجرا در خاکریز با برجستگی مثبت است، باقی می‌ماند.



شکل ۲-۱۵ نمودارهای تعیین عرض انتقال ( $B_{tr}$ )

نمودار شکل ۲-۱۵ نسبت عرض انتقال به عرض مجرا (یعنی  $B_{tr}/B_c$ ) را برای حالتی که بارهای حاصل از روابط استقرار در ترانشه (مجرای صلب) و استقرار در خاکریز با برجستگی مثبت مساوی می‌شوند، نشان می‌دهد. برای  $B_d/B_c$  های کوچکتر از  $B_{tr}/B_c$ ، بار وارد بر مجرا را می‌توان به کمک رابطه مجرا در ترانشه تعیین نمود. برای  $B_d/B_c$  های بزرگتر، باید از رابطه مجرا در خاکریز با برجستگی مثبت استفاده نمود. هنگام استفاده از نمودار شکل ۲-۱۵، تعیین مقدار مناسب برای  $I_{sdp}$  (حاصلضرب نسبت نشست در نسبت برجستگی) مشکل است. در نبود اطلاعات دقیقتر استفاده از نسبت  $I_{sdp} = 0.5$  قابل توصیه است.

1. Schlick

### ۲-۳-۸ کاهش بار قائم وارد بر مجرای زیرزمینی با استفاده از بستر قابل نشست

در وضعیت‌های ویژه مانند: مجرا روی بستر سنگی و یا سنگریز، استفاده از روش ترانشه ناقص عملی نیست. در چنین مواردی که روش توصیه شده برای کاهش بار وارد بر مجرا این است که ترانشه‌ای با عرض بزرگتر از عرض خارجی مجرا و عمقی بزرگتر از عمق مورد نیاز حفر و سپس کف ترانشه با مصالحی نرم و قابلیت فشردگی زیاد تا تراز بستر مجرا پر شود.

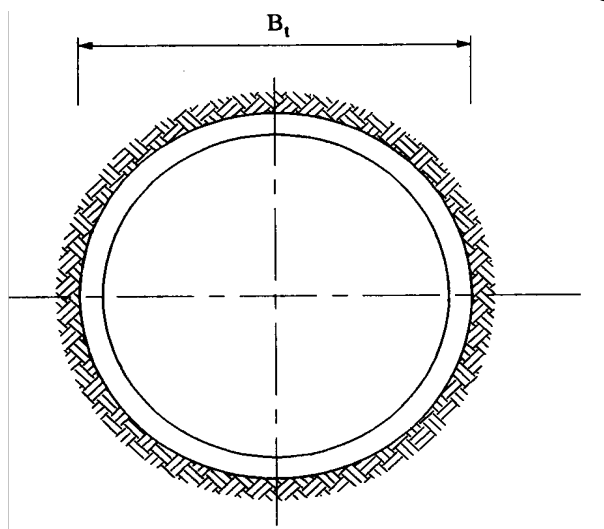
در این روش به علت نشست زیاد تاج لوله نسبت به صفحه بحرانی، مقدار نسبت نشست کم شده و در نتیجه بار وارد بر مجرا کاهش می‌یابد. فایده دیگر این روش ایجاد سطح تماس بزرگتر و در نتیجه افزایش باربری مجراست. عیب این روش نشست بیش از اندازه کف مجراست.

### ۲-۳-۹ بار قائم وارد بر مجاری تونلی

گاهی مواقع به جای ترانشه برداری، مجرا به شیوه تونلی کار گذاشته می‌شود. در این موارد اگر لوله‌گذاری با تأخیر مناسب انجام شود، خاک واقع در بالای مجرا پس از جابه‌جایی جزئی به حال تعادل می‌رسد و بار وارد بر مجرا را می‌توان به کمک تئوریهای تونل در آبرفت به دست آورد. در این حالت داریم:

$$W_c = C_t \gamma B_t^2 - \gamma C_t B_t = C_t B_t (\gamma B_t - \gamma c) \quad (2-11)$$

همان‌طور که ملاحظه می‌گردد بار فوق به اندازه  $\gamma C_t B_t$  از بار مجرا در ترانشه کوچکتر است که این مقدار به واسطه چسبندگی خاک واقع در بالای مجرا است.



شکل ۲-۱۶ مجاری تونلی

همان‌طور که از رابطه ۲-۱۱ استنباط می‌شود، اثر ضریب  $c$  در تعیین بار وارد بر مجرا بسیار زیاد است. متأسفانه حدود تغییرات ضریب  $c$  حتی برای خاکهای یکسان قابل توجه است. مقدار  $c$  باید از آزمایشهای انجام شده بر روی نمونه‌های دست نخورده به دست آید. برای منظور کردن اثر اشباع شدن خاک باید از مقادیر محافظه

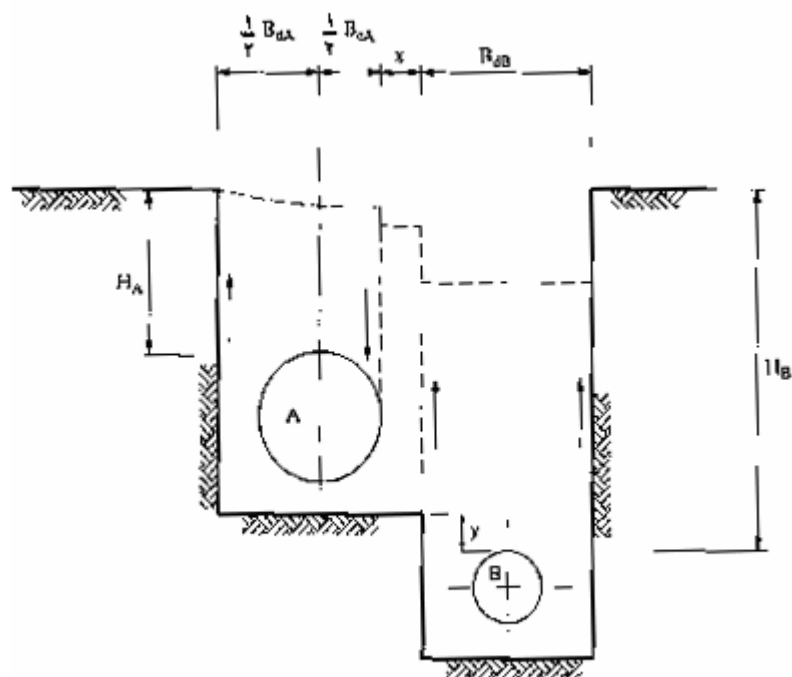
کارانه ای برای  $c$  استفاده کرد. در بعضی مراجع توصیه شده است از  $\frac{1}{3}$  مقادیر به دست آمده توسط آزمایش برای طراحیها استفاده شود. در صورت عدم وجود مقادیر معتبر آزمایشگاهی می توان از مقادیر جدول ۷-۲ که از سوی WPCF\* توصیه شده است استفاده نمود. به علاوه توصیه می شود که در صورت وجود اثرهای فصلی مثل یخ زدگی یا ترک خوردگی و یا بالا آمدن سطح آب و اشباع خاک مقدار ضریب  $c$  معادل صفر اختیار گردد. ضریب  $c - \gamma B_t$  نمی تواند منفی باشد؛ بنابراین مقدار  $c$  نمی تواند از  $\gamma B_t$  بیشتر شود. از رابطه ۱۱-۲ در حالات جاگذاری با تأخیر کم (رانش لوله با جک)، جاگذاری قطعات پیش ساخته با فشار، خاکهای ریزدانه قابل تورم نمی توان استفاده کرد

جدول ۷-۲ مقادیر توصیه شده برای چسبندگی  $c$  در رابطه ۱۱-۲

مقدار $c$ ( $\text{kN/m}^2$ )	مصالح
۲	رس، خیلی نرم
۱۲	رس، متوسط
۵۰	رس، سخت
۰	ماسه به حالت شل و خشک
۵	ماسه لای دار
۱۵	ماسه خیلی متراکم

### ۲-۳-۱۰ بار قائم وارد بر دو مجرا در یک ترانشه

شکل ۱۷-۲ استقرار دو مجرای زیرزمینی در یک ترانشه را نشان می دهد. فرض می شود که مقادیر  $B_{dB}$  و  $B_{dA}$  از مقادیر  $B_{trB}$  و  $B_{trA}$  کوچکتر هستند، در این شکل وضعیت نشستهای نسبی و صفحاتی که در آنها نیروهای اصطکاک عمل می کنند به همراه جهت نیروهای اصطکاک ایجاد شده نشان داده شده است.



شکل ۱۷-۲ استقرار دو مجرا در یک ترانشه

در نهایت قسمت  $\gamma$  سمت چپ مجرای A در وضعیت مجرا در ترانشه قرار می‌گیرد و بار وارد بر آن از طرف خاک مساوی  $\frac{1}{2} C_d \gamma B_d A^2$  خواهد بود. از سوی دیگر قسمت سمت راست مجرای A در وضعیت مجرا در خاکریز قرار دارد، زیرا منشور خاک موجود در حد فاصله دو لوله تمایل به نشست بیشتری نسبت به منشور خاک روی مجرا دارد. از این رو بار وارد از طرف خاک بر روی این قسمت از مجرا برابر خواهد بود با  $\gamma B_c A^2$

$\frac{1}{2} C_c$ . بنابراین بار کل وارد بر مجرای A برابر می‌شود با:

(۱۲-۲)

$$W_{CA} = \frac{1}{\gamma} (C_{dA}^2 + C_c B_{dA}^2)$$

مقادیر  $C_d$  و  $C_c$  برای مجرای A بر حسب  $H_A$  به دست می‌آیند.

با توجه به اینکه منشور خاک روی مجرای B تمایل به نشست بیشتری نسبت به اطراف خود دارد، بنابراین

مجرای B در وضعیت ترانشه واقع شده و بار وارد از طرف خاک بر روی آن برابر است با:

$$W_{CB} = C_d \gamma B_{dB}^2$$

که مقدار  $C_d$  برای مجرای B و ارتفاع  $H_B$  محاسبه می‌شود.

با افزایش مقدار  $y$ ، بار ناشی از خاکریز بر روی قسمت سمت چپ مجرای B از مقدار حداکثر  $\frac{1}{\gamma} H_B \gamma B_{dB}$

به مقدار حداقل  $\frac{1}{\gamma} C_d \gamma B_{dB}^2$  کاهش می‌یابد. بنابراین حداقل بار وارد بر مجرای B زمانی حاصل می‌شود که  $x$  تا

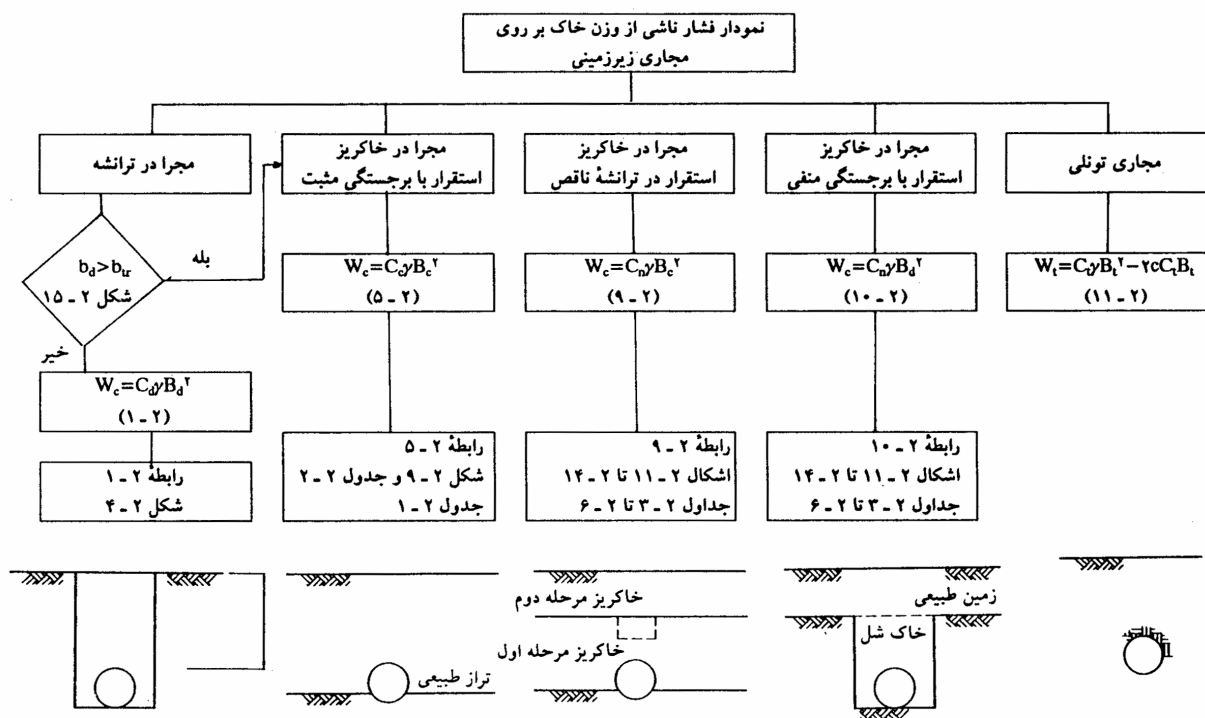
حد امکان کوچک و  $y$  تا حد امکان بزرگ باشد.

## ۲-۳-۱۱ نمودار جریان کار تعیین بار قائم خاک بر روی مجاری زیرزمینی

به عنوان جمع بندی، در شکل ۲-۱۸ نمودار جریان تعیین بار وارد بر مجاری زیرزمینی به علت وزن خاک روی آن ارائه شده است.

## ۲-۴ بار قائم وارد بر مجاری به علت سربارهای وارد بر سطح خاکریز

علاوه بر بار ناشی از وزن خاکریز در روی مجاری زیرزمینی، تأثیر بارهای سطحی نظیر: بار ترافیک قطار، هواپیما و ماشین آلات اجرایی، می تواند باعث ایجاد بار بر مجاری شوند. این بارها به ویژه در صورت کم بودن ارتفاع خاکریز بسیار قابل توجه هستند. مطالعات پر دامنه انجام شده در روی مجاری واقع در ترانشه یا خاکریز، نشان می دهد که بار ناشی از یک بار متمرکز سطحی نظیر: وزن چرخ کامیون، با توزیع بار حاصل از حل بوسینسک برای بار متمرکز در روی یک محیط نیمه بی نهایت انطباق خوبی دارد (شکل ۲-۱۹). همان طور که این نمودار نشان می دهد بار وارد شده در تمام موارد مساوی بار بوسینسک نیست، لیکن هیچ وقت از آن تجاوز نمی کند. بنابراین توزیع با بوسینسک برای مسائلی از این نوع قابل توصیه است.



شکل ۲-۱۸ نمودار تعیین فشار خاک بر روی مجاری زیرزمینی

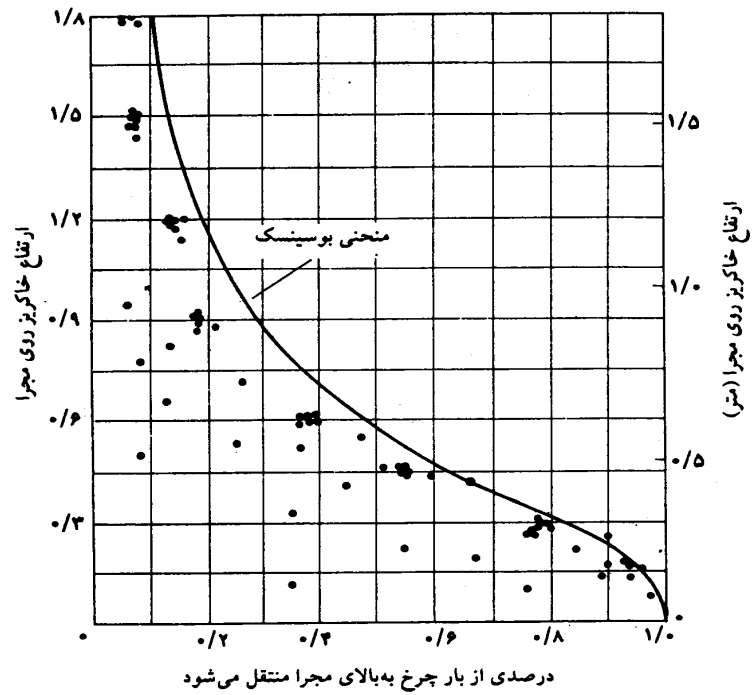
در این تجربه، تأثیر ضربه در بار وارده نیز مورد تحقیق قرار گرفته است. بر اساس چنین تجربه ای مارستون

رابطه زیر را برای بار ناشی از بار زنده بر روی مجاری پیشنهاد نمود:

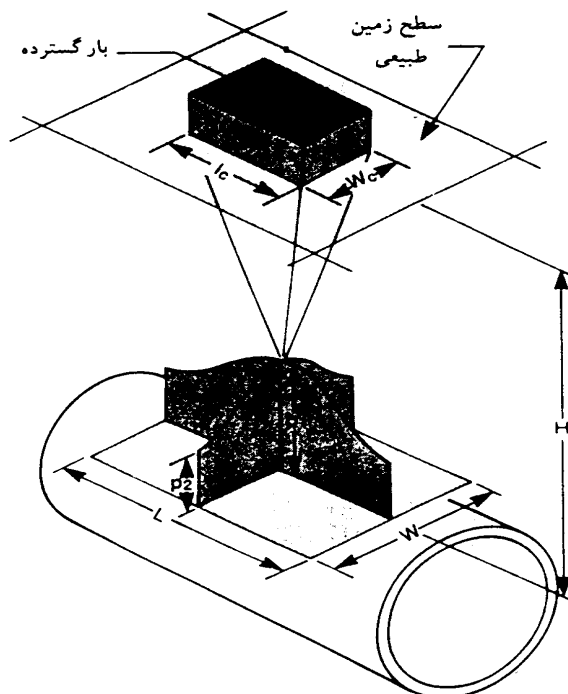
$$W_1 = I_c(C_{1p})B_c$$

(۱۳-۲)

حاصلضرب  $C_{1p}$  بار یکنواخت فرضی در کل عرض مجراست (شکل ۲-۲۰)



شکل ۲-۱۹ مقایسه توزیع فشار بار متمرکز سطحی طبق نظریه بوسینسک و مقادیر اندازه گیری شده



شکل ۲-۲۰ بار یکنواخت معادل فشار متغیر وارد بر بالای مجرا به علت بار متمرکز

روابط زیر برای ضریب ضربه توصیه می شود.

$$I_c = 1 + \frac{0.3}{H} \quad \text{برای راه} \quad (14-2)$$

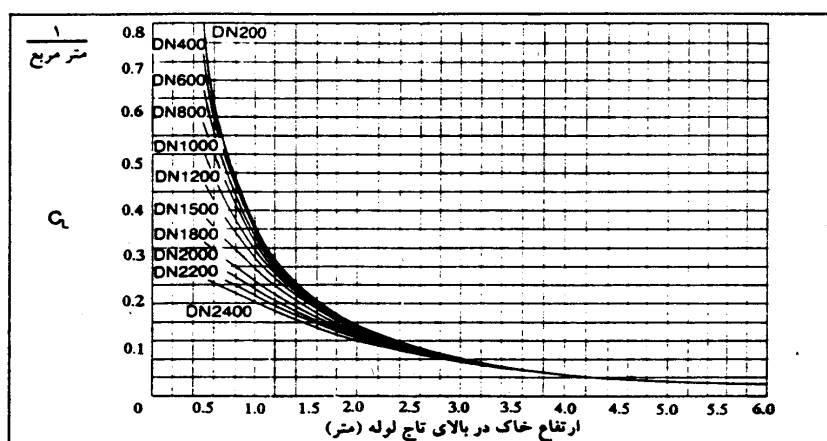
$$I_c = 1 + \frac{0.6}{H} \quad \text{برای فرودگاه} \quad (15-2)$$

مقدار  $I_c$  محاسبه شده از روابط ۱۴-۲ و ۱۵-۲ نباید از مقادیر زیر کمتر گردد.

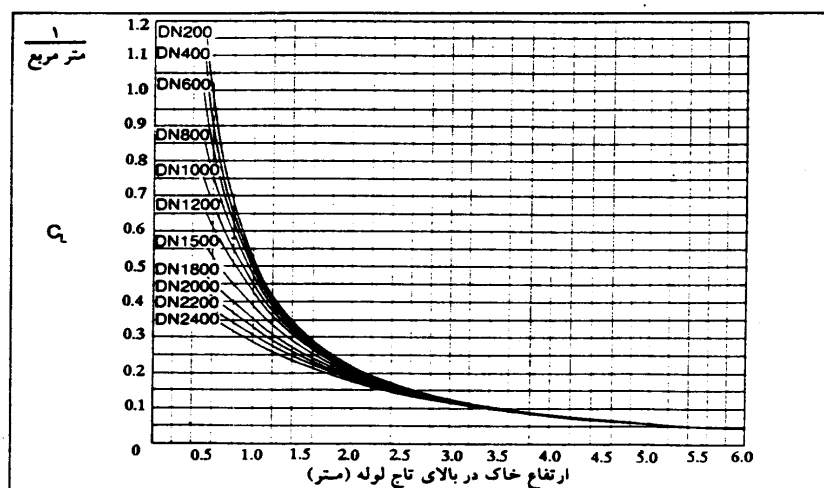
$$I_{c \min} = 1/5 \quad \text{برای روسازی آسفالتی یا بتنی}$$

$$I_{c \min} = 1/7 \quad \text{برای روسازی سنگفرش}$$

$$I_{c \min} = 2/0 \quad \text{برای روسازی شنی و قلوه سنگی}$$



(الف) برای یک ردیف کامیون



(ب) برای دو ردیف کامیون

شکل ۲-۲۱ ضریب  $C_i$  برای استفاده در رابطه (۲-۱۳) (در منحنیهای فوق  $DN$  قطر (یا عرض) افقی خارجی مجرا برحسب میلیمتر است).

حاصلضرب  $C_{ip}$  در رابطه ۲-۱۳، در واقع بار وارد بر واحد سطح افق در تراز تاج است.



## ۵-۲ بار جانبی خاک وارد بر مجاری زیرزمینی

بار جانبی وارد بر مجاری زیرزمینی به علت بار خاک، ناشی از اندرکنش رفتار خاک با سازه است. بررسی این مسأله نیاز به شناخت رفتار مجرا، علاوه بر رفتار خاک دارد. از این رو بررسی این بحث به فصل سوم، بعد از بررسی رفتار مجرا واگذار می‌گردد.

## ۶-۲ بارهای اتفاقی

بنا به دلایلی که در بخش ۵-۲ ارائه گردید، بررسی این بخش نیز به فصل سوم واگذار می‌گردد.



## فصل ۳ طراحی مجاری زیرزمینی تحت بار خارجی

$A$  = پارامتری که تابعی از شکل مجرای زیرزمینی است.

$$A = 1/4^3 \text{ برای مقطع دایره}$$

$$A = 1/4^3 \text{ بیضی افقی (HE)}^1$$

$$A = 1/0.2 \text{ بیضی قائم (VE)}^2$$

$$B_c = \text{عرض افقی خارجی مجرا}$$

$$C_c = \text{ضریب بار برای مجاری برجسته}$$

$$D = \text{قطر اسمی}$$

$F_s$  = ضریب ایمنی (مساوی ۱/۵ وقتی که نتیجه آزمایش سه نبش بر مبنای مقاومت نهایی و مساوی ۱ وقتی که

نتیجه آزمایش سه نبش بر مبنای عرض ترک ۰/۲۵ میلیمتر تنظیم می‌شود).

$$H = \text{ارتفاع خاکریز بالای تاج}$$

$$K = \text{نسبت فشار جانبی به بار قائم}$$

$$L_f = \text{ضریب بستر برحسب جزئیات بستر سازی}$$

$m$  = نسبت قسمت برجسته به ارتفاع قائم مجرا (شکل ۳-۱۱). برای مقطع دایره  $m = p$  یعنی نسبت برجستگی

است.

$N$  = ضریب واکنش که تابعی از توزیع واکنش قائم است.

$$p = \text{نسبت برجستگی}$$

$q$  = نسبت فشار جانبی کلی به بار قائم (اگر در حصول فشار جانبی شک و تردید وجود داشته باشد، مقدار

$$q = 0 \text{ فرض می‌گردد).}$$

$$R = \text{شعاع انحنای لوله تحت خم}$$

$$S_{eb} = \text{مقاومت سه نبش لازم}$$

$$t = \text{ضخامت}$$

$$W_c = \text{بار وارد بر واحد طول مجرای زیرزمینی}$$

$x$  = ضریبی که تابعی از تصویر قائم قسمتی از مجراست که فشار جانبی بر آن مؤثر است.  $x$  به صورت تابعی

از  $m$  محسوب می‌شود.

$$\frac{\Delta y}{D} = \text{تغییر شکل حلقوی}$$

1. Horizontal Elliptical

2. vertical Elliptical

### ۱-۳ کلیات

این فصل به معرفی روشهای طراحی مجاری زیرزمینی صلب تحت بار خارجی بدون فشار داخلی اختصاص دارد. در ابتدای فصل بحث کاملی در مورد طبقه‌بندی خاکریز جناحین و روی مجرا انجام می‌شود. اهمیت بحث بیشتر از آن جهت است که خاکریز اطراف مجرا در تحمل بارهای خارجی به نحو مؤثری بر مجرا مشارکت دارند.

### ۲-۳ طبقه‌بندی خاک

#### ۱-۲-۳ اهمیت طبقه‌بندی خاک

اهمیت چگالی (دانسیته) خاک و (با به عبارت دیگر درجه تراکم آن) و تأثیر نوع آن در مشارکت در ظرفیت باربری مجاری زیرزمینی کاملاً شناخته شده است. در این میان خاکریز جناحین مجرا اهمیت بیشتری دارد. برای کاربردهای مهندسی، لازم است خاکها برحسب خصوصیات فیزیکی و مکانیکی طبقه‌بندی گردند.

#### ۲-۲-۳ سیستمهای طبقه‌بندی خاک

سیستمهای طبقه‌بندی بر اساس مشخصات مهندسی خاک نظیر: دانه‌بندی، حدروانی و حد خمیری، خاکها را به گروه‌ها و زیرگروههایی تقسیم می‌نمایند. دو سیستم طبقه‌بندی که در حال حاضر بیشتر مورد استفاده قرار می‌گیرند، سیستم طبقه‌بندی متحد و سیستم طبقه‌بندی آشتو هستند. دستورالعمل‌های مربوط به این دو سیستم را می‌توان در هر کتاب درسی مکانیک خاک پیدا کرد و در اینجا لزومی به تکرار آن نیست، با دقتی کمتر ولی کافی برای بحث حاضر، به طبقه‌بندی ساده‌تر زیر در پنج رده اکتفا می‌شود:

#### رده ۱:

سنگ شکسته تیز گوشه ۶ تا ۴۰ میلیمتر شامل مقدار کمی مصالح ریزدانه. خاکی با مشخصات یاد شده دارای قدرت زهکشی خوبی است. در صورتی که خطر شسته شدن مصالح ریزدانه خاک جدار ترانشه، به داخل خاکریز وجود داشته باشد، باید مصالح ریزدانه را افزایش و تخلخل را کاهش داد.

#### رده ۲:

ماسه و شن درشت با قطر حداکثر ۴۰ میلیمتر شامل مقداری مواد ریزدانه غیر چسبنده. خاکهایی با علامت SP, SW, GP, GW در سیستم طبقه‌بندی متحد در این رده قرار می‌گیرند. ماسه و شن تمیز و یا بین مرز تمیز و خاکدار و همچنین خاکهای درشت‌دانه با ریزدانه بین ۵ تا ۱۲ درصد در این رده قرار می‌گیرند. دانه‌بندی خاکهای رده ۲ بر چگالی و در نتیجه ظرفیت باربری مجرا در حالتی که به حالت

آزاد در جناحین ریخته شود، مؤثر است. در صورتی که دانه‌بندی خاک رده ۲ خوب نباشد و به صورت یکنواخت و فاصله‌دار باشد، امکان شسته شدن ریزدانه‌های خاک جدار تراشه به داخل آن وجود دارد. رده ۳:

ماسه ریزدانه شن رس‌دار شامل ماسه‌های ریزدانه مخلوطهای ماسه رس و مخلوطهای شن و رس یعنی خاکهای SC, SM, GC, GM در این رده قرار می‌گیرند.

رده ۴:

لای، رس لایدار، و رس شامل: رس‌های غیر آلی و لای با خاصیت خمیری و حد روانی کم تا زیاد و خاکهایی با علامت CL, CH, ML, MH در این رده قرار می‌گیرند.

خاکهای از این گروه که خاصیت خمیری آنها متوسط تا زیاد و حد روانی آنها بزرگتر از ۵۰ درصد است (CH و H و MH - MH) در شرایط مرطوب مقاومت خود را به مقدار قابل توجهی از دست می‌دهند. در نتیجه استفاده از این رده فقط در مناطق عاری از آب زیرزمینی و یا نفوذ آب سطحی به عمق، توصیه می‌شود. خاکهایی با خاصیت خمیری کم و حد روانی کوچکتر از ۵۰، از نقطه نظر رطوبت مناسب تراکم حساس هستند لیکن از آنها می‌توان در مناطق آبدار استفاده کرد.

رده ۵:

این رده شامل: خاکهای آلی با علامت PT, OH, OL و همچنین خاکهای حاوی مصالح یخزده، نخاله و قلوه سنگهای بزرگتر از ۴۰ میلیمتر و سایر مصالح متفرقه است. استفاده از این رده، برای بستر سازی، پر کردن فضایی خالی گوه‌ای شکل تحتانی مجرا (اصطلاحاً ماهیچه نامیده می‌شوند) و یا خاکریزهای اولیه در بالای تاج مجرا توصیه نمی‌گردد.

با افزایش شماره رده خاک از میزان مناسب بودن آن برای استفاده به عنوان مصالح خاکریز روی مجرا کاسته می‌شود.

### ۳-۳ اندرکنش خاک، مجرای زیرزمینی

همانطور که ملاحظه خواهد شد، ظرفیت باربری، مجرا تابعی از مقاومت ذاتی<sup>۱</sup> آن، مشخصات بستر، درجه تراکم و نوع خاکریز جناحین است. در نتیجه برای بهینه‌سازی اقتصاد طرح، برای ظرفیت باربری مطلوب، باید ترکیب مناسبی از مقاومت ذاتی مجرا، نوع بستر سازی و مصالح خاکریز مناسب اختیار شود.

سیستم (خاک - سازه) دارای درجه نامعینی استاتیکی زیادی است. این بدان معناست که فشار اندرکنشی بین خاک و مجرا را نمی‌توان تنها به وسیله استاتیک تعیین کرد و اعمال معادلات سازگاری بین مجرا و خاک الزامی است. این مسأله ویژگیهای تغییر شکلی و سختی دو سیستم را به میان می‌کشد. نسبت سختی مجرا به سختی

1. inherent strength

خاک جناحین ( $PS/E'$ ) از عوامل مؤثر در تعیین بارهای واکنشی وارد بر جناحین (گونه‌های) مجراست. این تأثیر در مجاری انعطاف-پذیر به مراتب بزرگتر از مجاری صلب است. از نظر مسائل مقاومتی، خاکی که در جناحین مجرا ریخته می‌شود، باید به تراکم قابل قبولی برسد، همچنین درجه تراکم در امتداد مجرا باید یکنواخت باشد و از تمرکز تراکم که باعث ایجاد تمرکز نیرو می‌گردد، خودداری شود.

برحسب نوع خاک، تراکم مورد نظر، عمق کارگذاری، سختی و مقاومت مجرا روشهای متفاوتی برای کارگذاری، خاکریزی جناحین و روی مجرا وجود دارد. در زیر به شرح روشهایی پرداخته می‌شود که به کمک آنها با حداقل کوشش می‌توان به تراکم مطلوب دست یافت.

در مورد مصالح رده ۱، یعنی مصالح دانه‌ای تیز گوشه نظیر: سنگ شکسته، سنگهای مرجانی شکسته، تفاله‌های خرده شده کوره‌های ذوب آهن و موارد مشابه، ریختن آزاد<sup>۱</sup> مصالح با حداقل کوشش لازم برای تراکم، می‌تواند تراکم مطلوب را به دست دهد. باید دقت شود که این مصالح، فضای خالی گوه‌ای شکل تحتانی زیر مجرا را پر کنند.

برای خاک رده ۲ یعنی خاکهای درشت دانه با کمتر از ۵ درصد ریزدانه نظیر: GP, GW, SW, SP, GW-SP و SW-SP حداکثر تراکم را می‌توان به وسیله اشباع نمودن و یا ارتعاش به دست آورد. اگر برای تراکم از مرتعش‌کننده‌های نفوذی استفاده شود، عمق خاکریزی در هر مرحله مساوی عمق نفوذ ویراتور خواهد بود. اگر برای تراکم از ویراتورهای سطحی استفاده شود ضخامت لایه‌ها را می‌توان بین ۱۵ تا ۳۰ سانتیمتر انتخاب کرد. این مصالح را می‌توان توسط تخماقهای دستی یا موتوری نیز متراکم کرد، به شرط اینکه چگالی مورد نظر به دست آید.

مصالح درشت‌دانه که در مرز تمیزی قرار دارند و یا آنهایی که ریزدانه‌شان بین ۵ تا ۱۲ درصد است، نظیر GW-GM, SW-SM, SW-SC, GW-GC, GP-GM, SP-SM, GP-GC, SP-SC می‌توانند توسط تخماقهای دستی یا موتوری، روش اشباع و یا روش ارتعاش هر کدام که بتوانند خاک را به تراکم مورد نظر برسانند، متراکم گردند.

خاکهای درشت‌دانه که ریزدانه‌های آنها بزرگتر از ۱۲ درصد است، نظیر: GM, GC, SM, SC و یا تمام گروه‌های مرزی نظیر: GM-SM، باید توسط تخماقهای دستی و یا موتوری متراکم گردند. خاکریزی باید در ضخامت‌های ۱۰ تا ۱۵ سانتیمتر صورت گیرد (رده ۳).

خاکهای ریزدانه رده ۴ نظیر: MH, CH, ML, CL, SC-CL, SM-ML, ML-CL باید توسط تخماقهای دستی یا موتوری و در لایه‌های ۱۰ تا ۱۵ سانتی‌متر متراکم گردند.

### ۳-۴ عوامل مؤثر بر ظرفیت باربری مجاری زیرزمینی

مجاری زیرزمینی در شکل‌های هندسی و با مصالح مختلف ساخته می‌شوند. در حالت کلی بار وارد بر مجاری مستقل از هندسه و مصالح تشکیل دهنده آن است، مگر مشخصه‌هایی که روی نشست یا تغییر شکل تاج مجرا

1 - Loose dumping

مؤثرند. نشست یا تغییر شکل تاج مجرا عامل مؤثری در فشار وارد بر مجراست. از طرف دیگر مقاومت تکیه‌گاهی یا ظرفیت باربری مجرای زیرزمینی تابعی از شکل نوع مصالح تشکیل دهنده، بستر سازی و نحوه اجرای خاکریز در جناحین و روی آن در هنگام اجرای مجراست.

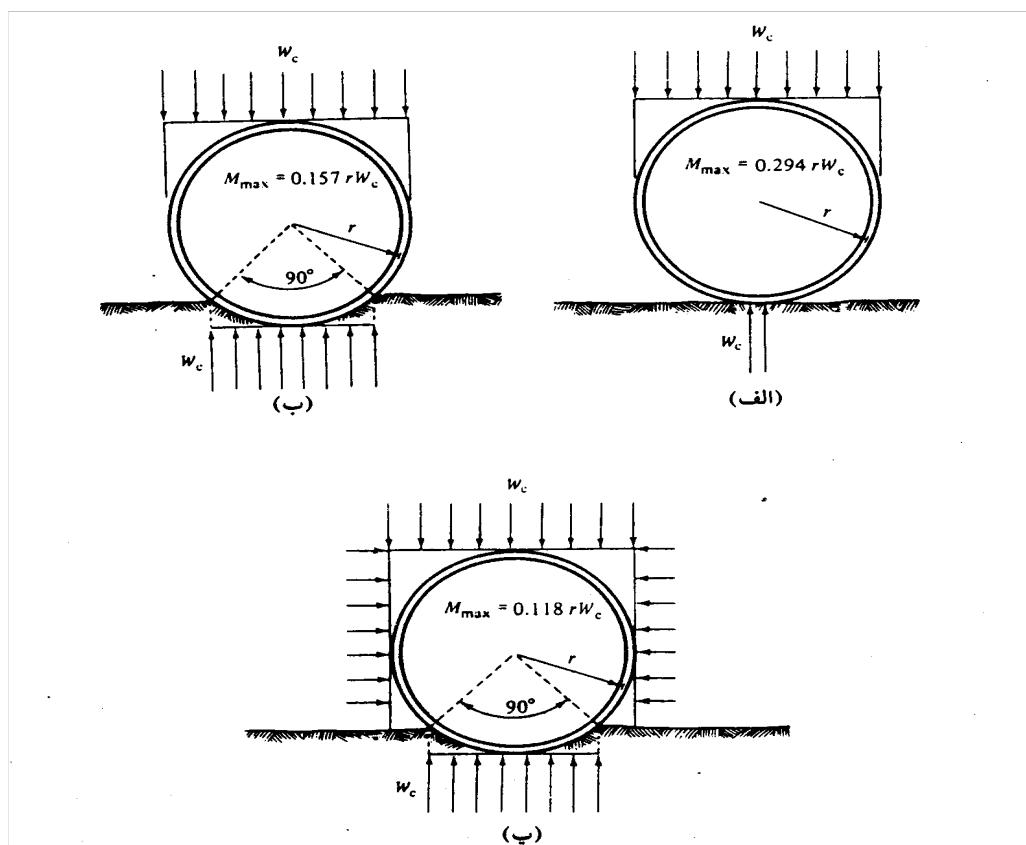
آبروهای<sup>۱</sup> جعبه‌ای یا قوسی از بتن مسلح را می‌تواند پس از تعیین فشارهای وارد شده، طبق اصول کلاسیک طراحی سازه‌های بتنی طراحی کرد. اندازه‌گیریهای متعدد توزیع بار قائم به علت بار خاک در روی مجاری جعبه‌ای و دایروی، نشان دهندهٔ یکنواخت بودن آن در عرض خاکریز است و در نتیجه برای مقاصد طراحی توزیع فشار قائم را می‌توان یکنواخت فرض نمود. لیکن فشار جانبی بستگی به اندرکنش تغییر شکل جانبی مجرا و خاک جناحین دارد.

برای اینکه مجرای زیرزمینی با شکل دایره یا بیضی بتواند حداکثر ظرفیت باربری خود را بروز دهد، باید در بسترسازی و خاکریزی در جناحین و روی آن دقت خاصی مبذول کرد.

جزئیات بسترسازی بر توزیع بار قائم در کف مجرا به نوبه خود بر نیروهای داخلی ایجاد شده در جدار مجرا اثر می‌گذارد (شکل ۳-۱). اگر بستر مجرا مطابق کف آن شکل داده شود، توزیع بار یکنواخت‌تری درباره کف به وجود می‌آید. اگر مجرا در روی بستر تخت قرار داده شود و سپس فضاها را خالی گوه‌ای شکل جناحین آن پر و متراکم گردد، نتیجه چندان مطلوبی در توزیع فشار به دست نمی‌آید. این مسأله بخصوص در مورد مجاری با قطرهای بزرگ عینیت پیدا می‌کند. تأثیر توزیع واکنش کف مجرا در لنگر خمشی ایجاد شده در آن را می‌توان با مثال ساده‌ای نشان داد. شکل ۳-۲ الف تیر ساده‌ای را تحت بار متمرکز  $p$  در وسط دهانه نشان می‌دهد. مقدار لنگر حداکثر ایجاد شده در این حالت  $M_A = 0.25 pl$  است. حال اگر همین بار مطابق شکل‌های ۳-۲ ب و پ روی طولی از تیر توزیع گردد، مقدار لنگر خمشی حداکثر در آن به ترتیب کوچکتر خواهد شد.

---

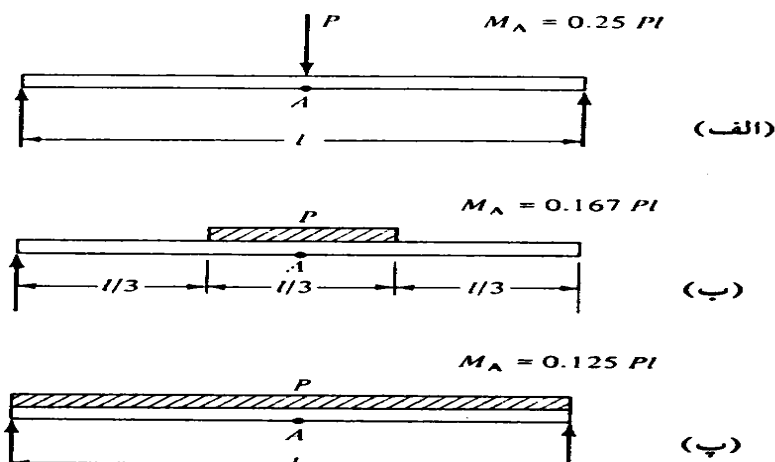
1. culvert



شکل ۱-۳ تأثیر بسترسازی و روش خاکریزی در جناحین و روی آن بر روی لنگر خمشی ایجاد شده در مجرا.

روش خاکریزی به مقدار فشارهای جانبی ایجاد شده در جناحین مجرای زیرزمینی تأثیر دارد. با توجه به اینکه نیروهای داخلی ناشی از فشار جانبی در جهت عکس نیروهای داخلی ناشی از بار قائم عمل می‌کند، وجود آن عاملی برای کاهش نیروهای داخلی و افزایش ظرفیت باربری مجراست. این موضوع در شکل ۱-۳ به طور عددی نشان داده شده است. شکل ۱-۳ الف، مجرا را بدون توزیع فشار در کف و فشارهای جانبی نشان می‌دهد. به علت تمرکز شدید نیرو در کف و عدم وجود فشارهای جانبی حداکثر لنگر خمشی در مجرا مساوی  $0.294 rW_c$  شده است که در آن  $r$  شعاع متوسط مجرا و  $W_c$  بار قائم وارد بر واحد طول مجراست. در شکل ۱-۳ ب، به کمک بسترسازی، توزیع فشار در کف مجرا به صورت یکنواخت درآورده شده است. لیکن هنوز فشار جانبی وجود ندارد. در این حالت حداکثر لنگر خمشی داخلی به  $0.157 rW_c$  کاهش یافته است. در نتیجه بسترسازی، ظرفیت باربری مجرا  $1/78$  برابر حالت الف شده است.





شکل ۳-۲ تأثیر توزیع بار بر لنگر خمشی ایجاد شده در تیر ساده

در حالت سوم مطابق شکل ۳-۱ پ، بسترسازی مطابق شکل ۳-۱ ب انجام شده است و فشار جانبی معادل  $\frac{1}{3}$  فشار قائم در نظر گرفته شده است. در نتیجه لنگر خمشی حداکثر به  $rW_c / 118$  محدود شده که نشاندهنده افزایش ظرفیت باربری به میزان  $2/49$  برابر حالت الف و  $1/33$  برابر حالت ب است. این مثال ساده، تأثیر قابل توجه بسترسازی و خاکریزی در جناحین را بر ظرفیت باربری مجرا نشان می‌دهد. با جمع‌بندی مطالب ارائه شده ملاحظه می‌گردد که ظرفیت باربری یک مجرای زیرزمینی به عوامل زیر بستگی دارد:

- (۱) مقاومت خمشی ذاتی
- (۲) نوع بسترسازی
- (۳) مقدار و توزیع فشار جانبی تولید شده در وجوه جانبی مجرا

### ۳-۵ طراحی مجاری زیرزمینی صلب (روش تجربی)

#### ۳-۵-۱ کلیات

مجاری ساخته شده از مصالح زیر، در رده مجاری صلب قرار می‌گیرند.

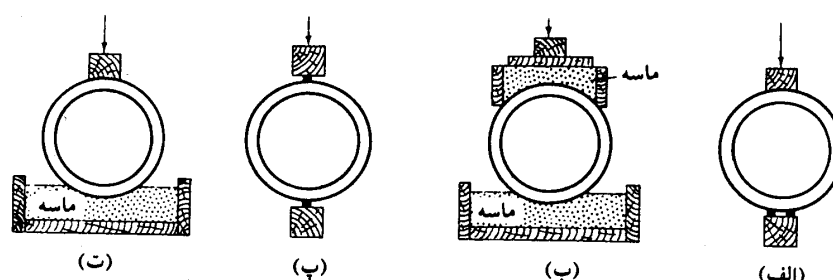
- (۱) آژبست سیمان
- (۲) سفال
- (۳) بتن غیر مسلح (ساده)
- (۴) بتن مسلح و بتن پیش تنیده
- (۵) چدنی

مجاری صلب اغلب در خطوط آبرسانی، فاضلاب مورد استفاده قرار می‌گیرند. در نتیجه بار عمده وارد بر آنها بار ناشی از خاکریزی و سربار سطحی است.

روش طراحی که در این قسمت برای طراحی مجاری صلب ارائه می‌شود، روش «تجربی» طراحی مجاری نامیده می‌شود که در آن مجرای زیرزمینی به مثابه یک تولید کارخانه‌ای در نظر گرفته شده و مقاومت ذاتی آن به کمک آزمایش به دست می‌آید. مجاری بتن مسلح و پیش‌تنیده را می‌توان همانند یک سازه معمولی به کمک روابط طراحی بتن مسلح به روش «تحلیلی» طراحی نمود. این روش طراحی در فصل پنجم ارائه می‌گردد.

### ۳-۵-۲ آزمایشهای تعیین مقاومت مجاری صلب

مقاومت مجاری زیرزمینی صلب با مقطع دایره و بیضی از مصالحی نظیر: بتن ساده یا مسلح، سفال، آزیست سیمان و چدن غالباً به کمک روش تحلیلی تعیین نمی‌شود. به جای انجام دادن یک روش تحلیلی، مقاومت این مجاری شامل به کمک آزمایشهای استاندارد تعیین می‌شود. در شکل ۳-۳ انواع آزمایشهای متداول برای تعیین مقاومت مجاری شامل: آزمایشهای سه نبش<sup>۱</sup> (شکل الف)، بستر ماسه‌ای<sup>۲</sup> (شکل ب)، دو نبش<sup>۳</sup> (شکل پ) و بستر ماسه‌ای مینه‌سوتا<sup>۴</sup> نشان داده شده است. در این میان آزمایش سه نبش ساده‌ترین است و جوابهای نسبتاً یکنواخت و دقیقی به دست می‌دهد. از اینرو این آزمایش در اکثر مواقع توسط کارخانه‌های لوله‌سازی جهت تعیین ظرفیت لوله‌های تولیدی به کار گرفته می‌شود. در این نوشتار مجاری تولید شده در کارخانه، با مقاطع دایره و بیضی لوله نامیده می‌شوند.



شکل ۳-۳ - ۳ آزمایشهای متداول برای تعیین ظرفیت باربری لوله‌های صلب. (الف) آزمایش سه‌نبش، (ب) آزمایش بستر ماسه‌ای، (پ) آزمایش دو‌نبش، (ت) آزمایش مینه‌سوتا

همان‌طور که شکل ۳-۳ نشان می‌دهد، شرایط تکیه‌گاهی در آزمایشهای مختلف یکسان نیست و مقدار بار شکست حاصل نیز متفاوت است. معمولاً بار شکست آزمایش سه نبش به عنوان بار مبنا در نظر گرفته می‌شود. نسبت ظرفیت باربری لوله در شرایط دیگر، اعم از شرایط آزمایشگاهی و یا واقعی، به ظرفیت باربری در آزمایش سه نبش، ضریب بار<sup>۵</sup> یا نسبت مقاومت<sup>۶</sup> یا ضریب بستر<sup>۷</sup> نامیده می‌شود. ضرایب بستر برای آزمایشهای مختلف به قرار زیر است.

1. Three edge bearing
2. Sand bearing
3. Tow edge bearing
4. Minnesota bearing
5. Load factor
6. Strength ratio
7. Beading factor

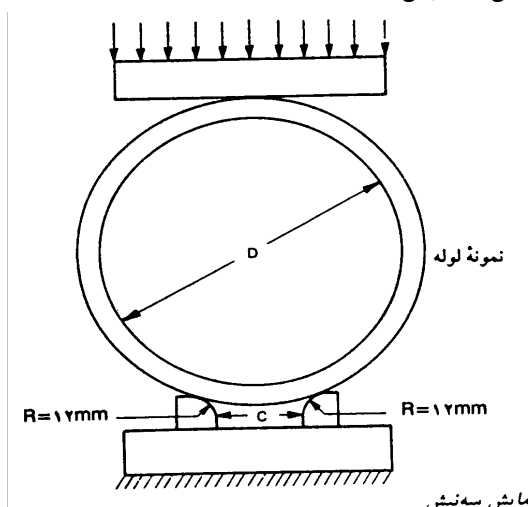
۱/۵ آزمایش بستر ماسه‌ای

۱/۰ آزمایش دو نبش

۱/۱ آزمایش مینه‌سوتا

معمولا شرایط تکیه‌گاهی واقعی لوله‌های با آنچه در آزمایشها لحاظ می‌شود، متفاوت است. به علاوه تولید فشار جانبی هم می‌تواند باعث تغییر در ظرفیت باربری گردد. ضریب بستر شرایط مختلف بسترسازی و فشار جانبی در قسمتهای بعد مورد توجه قرار می‌گیرد.

در شکل ۳-۴ جزئیات آزمایش سه نبش نشان داده شده است :



شکل ۳-۴ آزمایش سه نبش

۳-۵-۳ استاندارد ساخت لوله‌های صلب و ظرفیت باربری آنها در آزمایش سه نبش در عمل شرایط ساخت و ابعاد لوله‌ها استاندارد شده و ظرفیت باربری آنها در آزمایش سه نبش برای مقاصد طراحی به صورت جداولی ارائه می‌گردد.

۳-۵-۳-۱ استاندارد لوله‌های بتنی و بار شکست در آزمایش سه نبش طبق استاندارد ASTM لوله‌های بتنی (غیر مسلح) در قطرهای داخلی ۱۰۰ تا ۶۱۰ میلی‌متر (۴ تا ۲۴ اینچ) در سه رده تولید می‌شوند. در جدول ۳-۱ مشخصات هندسی و بار شکست در آزمایش سه نبش برای این لوله‌ها ارائه شده است:

۳-۵-۳-۲ استاندارد لوله‌های بتن مسلح و بار شکست در آزمایش سه نبش

طبق استاندارد ASTM لوله‌های بتنی مسلح در قطرهای ۳۰۵ تا ۴۵۷۰ میلی‌متر (۱۲ تا ۱۸۰ اینچ) در ۵ رده و هر رده در سه ضخامت ساخته می‌شوند (رده ۱ فقط در دو ضخامت ساخته می‌شود). در جدول ۳-۲ مشخصات هندسی لوله‌های بتن مسلح طبق استاندارد ASTM ارائه شده است. در لوله‌های بتن مسلح، نتایج آزمایش سه نیش به دو صورت بیان می‌شود. یکی نیروی لازم برای ایجاد ترک به عرض ۰٫۲۵ میلی‌متر و دیگری بار نهایی. مقدار ضریب اطمینان هنگام استفاده از نیروی مربوطه به عرض ترک ۰٫۲۵ میلی‌متر مساوی یک و هنگام استفاده از نیروی نهایی بزرگتر از ۱/۵ معمولاً در نظر گرفته می‌شود. در جدول ۳-۳ نتایج آزمایش سه نیش برای ۵ رده بر حسب نیوتن بر متر بر میلی‌متر قطر لوله ارائه شده است.

جدول ۳-۱ مشخصات هندسی و حداقل بار شکست در آزمایش سه نیش برای مجاری بتنی ساده (غیر مسلح)  
طبق ASTM C-14 حداقل مقاومت سه نیش (کیلونیوتن بر متر)

رده	۱		۲		۳	
	حداقل ضخامت جدار (به میلی‌متر)	حداقل مقاومت سه نیش (کیلونیوتن بر متر)	حداقل ضخامت جدار (به میلی‌متر)	حداقل مقاومت سه نیش (کیلونیوتن بر متر)	حداقل ضخامت جدار (به میلی‌متر)	حداقل مقاومت سه نیش (کیلونیوتن بر متر)
۱۰۰	۱۵/۹	۲۱/۹	۱۹	۲۹/۲	۲۲/۲	۳۵
۱۵۰	۱۵/۹	۲۱/۹	۱۹	۲۹/۲	۲۵/۴	۳۵
۲۰۰	۱۹	۲۱/۹	۲۲/۲	۲۹/۲	۲۸/۴	۳۵
۲۵۰	۲۲/۲	۲۳/۳	۲۵/۴	۲۹/۲	۳۱/۸	۳۵
۳۱۰	۲۵/۴	۲۶/۳	۳۴/۹	۳۲/۸	۴۴/۵	۳۷/۹
۳۸۰	۳۱/۸	۲۹/۲	۴۱/۳	۳۷/۹	۴۷/۶	۴۲/۲
۴۶۰	۳۸/۱	۳۲/۱	۵۰/۸	۴۳/۸	۵۷/۲	۴۸/۱
۵۳۰	۴۴/۵	۳۵	۵۷/۲	۴۸/۱	۶۹/۹	۵۶/۲
۶۱۰	۵۴	۳۷/۹	۷۶/۲	۵۲/۵	۹۵/۳	۶۴/۲

۳-۵-۳ استاندارد لوله‌های آزیست و بار شکست در آزمایش سه نیش طبق استاندارد ASTM لوله‌های آزیست در قطرهای ۱۰۰ تا ۹۱۵ میلی‌متر (۴ تا ۳۶ اینچ) در سه رده B (فشار کار تا ۷ آتمسفر یا ۱۰۰ psi)، C (فشار کار تا ۱۰ آتمسفر یا ۱۵۰ psi)، و D (فشار کار تا ۱۴ آتمسفر یا ۲۰۰ psi) ساخته می‌شوند. در جدول ۳-۴ مشخصات هندسی و بار شکست در آزمایش سه نیش برای لوله‌های آزیست ارائه شده است.

۳-۵-۴ استاندارد لوله‌های سفالی و بار شکست در آزمایش سه نیش لوله‌های سفالی طبق استاندارد ASTM در قطرهای ۱۰۰ تا ۱۰۷۰ میلی‌متر (۴ تا ۴۲ اینچ) در دو رده معمولی و پر مقاومت ساخته می‌شوند. در جدول ۳-۵ مشخصات هندسی و در جدول ۳-۶ بار شکست در آزمایش سه نیش برای این لوله‌ها داده شده است.

### ۳-۵-۴ شرایط بستر سازی

در عمل شرایط بستر سازی مختلفی وجود دارد که هر یک توزیع فشار تکیه‌گاهی و فشار جانبی متفاوتی ایجاد می‌کنند. می‌توان شرایط بستر سازی را طبقه‌بندی و ضریب بستر مربوطه را تعیین نمود. ضریب بستر، نسبت

ظرفیت باربری مجرا را در شرایط بسترسازی مورد نظر به ظرفیت باربری در آزمایش سه نبش است. در زیر رده‌های مختلف بسترسازی مجرا مورد بحث قرار می‌گیرد.

جدول ۲-۳ مشخصات هندسی لوله‌های بتنی مسلح طبق ASTMCT6

ضخامت جدار (میلیمتر)			قطر داخلی لوله (میلیمتر)
ضخامت C	ضخامت B	ضخامت A	
	۵۱	۴۴	۳۱۰
	۵۷	۴۷	۳۸۰
	۶۳	۵۱	۴۶۰
	۷۰	۵۷	۵۳۰
۹۵	۷۶	۶۳	۶۱۰
۱۰۱	۸۳	۶۶	۶۹۰
۱۰۸	۸۹	۷۰	۷۶۰
۱۱۴	۹۵	۷۳	۸۴۰
۱۲۰	۱۰۱	۷۶	۹۱۰
۱۳۰	۱۱۴	۸۹	۱۰۷۰
۱۴۶	۱۲۷	۱۰۱	۱۲۲۰
۱۵۹	۱۴۰	۱۱۴	۱۳۷۰
۱۷۱	۱۵۲	۱۲۷	۱۵۲۰
۱۸۴	۱۶۵	۱۴۰	۱۶۸۰
۱۹۷	۱۷۸	۱۵۲	۱۸۳۰
۲۰۹	۱۹۰	۱۶۵	۱۹۸۰
۲۲۲	۲۰۳	۱۷۸	۲۱۳۰
۲۳۵	۲۱۶	۱۹۰	۲۲۹۰
۲۴۸	۲۲۹	۲۰۳	۲۴۴۰
۲۶۰	۲۴۱	۲۱۶	۲۵۹۰
۲۷۳	۲۵۴	۲۲۹	۲۷۴۰
		۲۴۱	۲۹۰۰
		۲۵۴	۳۰۵۰
		۲۶۷	۳۲۰۰
		۲۷۹	۳۳۵۰
		۲۹۲	۳۵۰۰
		۳۰۵	۳۶۵۰
		۳۱۸	۳۸۰۰
		۳۳۰	۳۹۶۰
		۳۴۳	۴۱۱۰
		۳۵۶	۴۲۷۰
		۳۶۸	۴۴۲۰
		۳۸۱	۴۵۷۰

جدول ۳-۳ بار شکست در آزمایش سه نبش برای لوله های بتن مسلح طبق ASTM-76

رده	بار طراحی (نیوتن بر متر بر میلی متر)	
	برای تولید ترکی به عرض ۲۵۰ میلی متر	نهایی
۱	۳۸/۳	۵۷٫۴
۲	۴۷/۹	۷۱٫۸
۳	۶۴/۶	۹۵٫۸
۴	۹۵/۸	۱۴۴
۵	۱۴۴	۱۸۰

جدول ۴-۳ مشخصات هندسی و بار شکست در آزمایش سه نبش برای لوله های آریست طبق ASTM-296

بار شکست در آزمایش سه نبش (بر حسب کیلو نیوتن بر متر مربع)			قطر اسمی (به میلی متر)
رده D	رده C	رده B	
۱۲۶/۹	۷۸/۸	۵۹/۸	۱۰۲
۱۳۱/۲	۷۸/۸	۵۸/۴	۱۵۲
۱۳۵/۸	۸۰/۲	۵۸/۴	۲۰۳
۱۶۰/۵	۱۰۲/۱	۶۴/۲	۲۵۴
۱۷۲/۳	۱۱۰/۸	۷۵/۸	۳۰۴
۱۹۷/۱	۱۲۵/۵	۷۵/۸	۳۵۶
۲۲۴/۸	۱۳۴/۲	۸۴/۶	۴۰۶
۲۵۴/۰	۱۴۷/۴	۹۴/۸	۴۵۷
۲۸۳/۲	۱۵۹/۰	۱۰۳/۶	۵۰۸
۳۲۹/۹	۱۸۵/۳	۱۱۸/۲	۶۱۰
۴۱۴/۶	۲۳۱/۹	۱۴۱/۵	۷۶۲
۴۹۳/۵	۲۵۸/۹	۱۶۳/۴	۹۱۴

جدول ۵-۳ مشخصات هندسی لوله های سفالی طبق ASTM-700

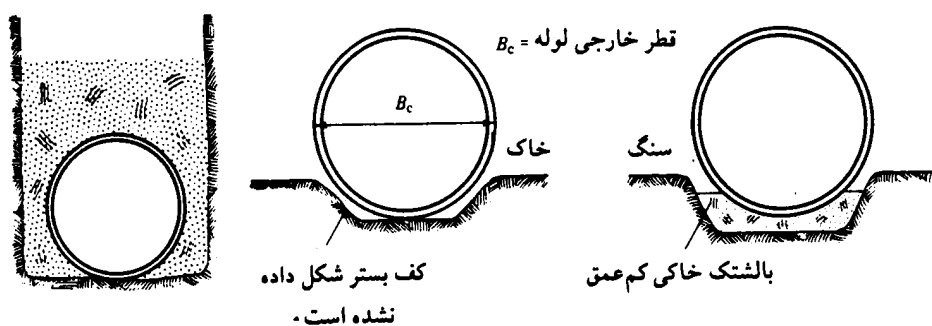
اندازه اسمی	طول قطعه (میلی متر)	قطر خارجی (میلی متر)		قطر داخلی انتهای برجسته (میلی متر)
		حداقل	حداکثر	
۱۰۰	۶۱۰	۱۲۴	۱۳۰	۱۴۶
۱۵۰	۶۱۰	۱۷۹	۱۸۹	۲۰۸
۲۰۰	۶۱۰	۲۳۵	۲۴۸	۲۶۷
۲۵۰	۶۱۰	۲۹۲	۳۰۵	۳۲۴
۳۰۵	۶۱۰	۳۴۹	۳۶۴	۳۸۴
۳۸۰	۹۱۰	۴۳۷	۴۵۲	۴۷۳
۴۶۰	۹۱۰	۵۲۴	۵۴۵	۵۶۵
۵۳۰	۹۱۰	۶۱۳	۶۳۵	۶۵۷
۶۱۰	۹۱۰	۶۹۹	۷۲۴	۷۴۶
۶۹۰	۹۱۰	۷۸۷	۸۱۶	۸۳۸
۷۶۰	۹۱۰	۸۷۳	۹۰۵	۹۲۷
۸۴۰	۹۱۰	۹۵۶	۹۸۹	۱۰۱۳
۹۱۵	۹۱۰	۱۰۳۵	۱۰۷۳	۱۰۹۹
۹۹۰	۱۵۲۰	۱۱۵۲	۱۲۰۰	۱۲۳۲
۱۰۷۰	۱۵۲۰	۱۲۳۲	۱۲۹۵	۱۳۳۳

بسترسازی ساده<sup>۱</sup> (نوع ۱): در شکل ۵-۳ این نوع بسترسازی نشان داده شده است. همانطور که ملاحظه می‌شود، کوشش قابل توجهی برای شکل دادن بستر مطابق کف مجرا، یا پر کردن فضاهای خالی و اطراف مجرا توسط مصالح دانه‌ای انجام نشده است. ضریب بستر برای این حالت مساوی ۱/۱۵ توصیه می‌گردد.

ادامه جدول ۵-۳ مشخصات هندسی لوله‌های سفالی طبق ASTM-700

ضخامت ناحیه برجسته (میلیمتر)		ضخامت				عمق ناحیه برجسته (میلیمتر)		اندازه اسمی میلیمتر
		معمولی		پرمقاومت				
حداقل	اسمی	حداقل	اسمی	حداقل	اسمی	حداقل	اسمی	
۹	۱۱	۱۱	۱۳	۱۴	۱۶	۳۸	۴۴	۱۰۰
۱۱	۱۳	۱۴	۱۶	۱۴	۱۷	۵۱	۵۷	۱۵۰
۱۳	۱۴	۱۷	۱۹	۱۹	۲۲	۵۷	۶۴	۲۰۰
۱۴	۱۶	۲۱	۲۲	۲۲	۲۵	۶۰	۶۷	۲۵۰
۱۷	۱۹	۲۴	۲۵	۲۷	۳۰	۶۴	۷۰	۳۰۵
۲۲	۲۴	۲۹	۳۱	۳۵	۳۸	۶۷	۷۳	۳۸۰
۲۷	۲۹	۳۵	۳۸	۴۴	۴۸	۷۰	۷۶	۴۶۰
۳۰	۳۳	۴۱	۴۴	۵۱	۵۷	۷۶	۸۳	۵۳۰
۳۵	۳۸	۴۸	۵۱	۵۷	۶۴	۷۹	۸۶	۶۱۰
۴۰	۴۳	۵۴	۵۷	۶۴	۷۰	۸۳	۸۹	۶۹۰
۴۴	۴۸	۶۰	۶۴	۷۰	۷۶	۸۶	۹۲	۷۶۰
۴۴	۵۱	۶۴	۶۷	۷۶	۸۳	۸۹	۹۵	۸۴۰
۴۸	۵۲	۶۷	۷۰	۸۳	۸۹	۹۵	۱۰۲	۹۱۵
۶۷	۷۰	...	...	۸۶	۹۵	۹۸	۱۰۵	۹۹۰
۶۷	۷۰	...	...	۸۹	۱۰۲	۹۸	۱۰۵	۱۰۷۰

1. impermissible bedding

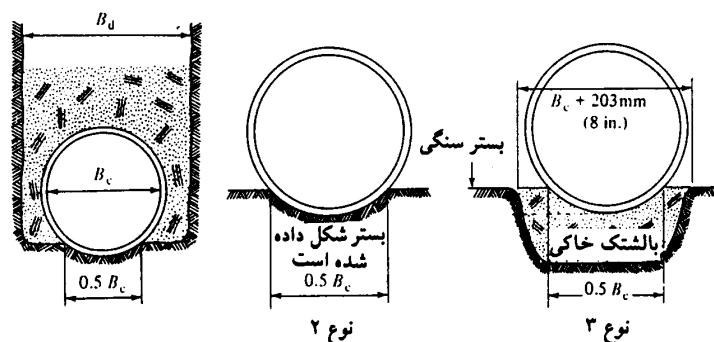


شکل ۳-۵ بستر سازی ساده (نوع ۱)

جدول ۳-۶ حداقل بار شکست در آزمایش سه نیش برای لوله های سفالی طبق ASTM C - 700

اندازه اسمی به میلیمتر	پر مقاومت کیلونیوتن بر متر	معمولی کیلونیوتن بر متر
۱۰۰	۲۹/۸	۱۷/۹
۱۵۰	۲۹/۸	۱۷/۹
۲۰۰	۳۲/۷	۲۰/۸
۲۵۰	۳۵/۷	۲۳/۸
۳۰۵	۳۸/۷	۲۶/۸
۳۸۰	۴۳/۲	۲۹/۸
۴۶۰	۴۹/۱	۳۲/۷
۵۳۰	۵۷/۳	۳۵/۷
۶۱۰	۶۵/۵	۳۸/۷
۶۹۰	۶۹/۹	۴۱/۷
۷۶۰	۷۴/۴	۴۹/۱
۸۴۰	۸۱/۹	۵۳/۶
۹۱۵	۸۹/۳	۵۹/۵
۹۹۰	۹۸/۲	
۱۰۷۰	۱۰۴/۱	

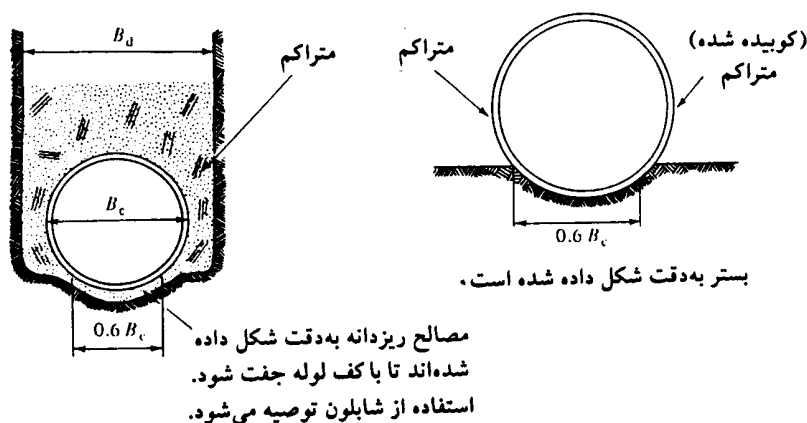




شکل ۳-۶ بستر سازی عادی (نوع ۲ و ۳) (در نوع ۳ بالشتکی به ضخامت حدود ۱۵ سانتیمتر در کف بستر ریخته و کوبیده می‌شود).

بستر سازی عادی<sup>۱</sup> (نوع ۲ و ۳): شکل ۳-۶ روش بستر سازی عادی را نشان می‌دهد که در آن مجرا با دقت متوسطی روی یک بستر خاکی که مطابق کف لوله شکل داده شده است، قرار می‌گیرد. عرض اتکا حداقل ۵۰ درصد عرض کل است. سپس جناحین و روی مجرا تا ارتفاعی معادل ۰/۱۵ متر از تاج با مصالح دانه‌ای به کمک بیل، پر و متراکم می‌گردد، به طوری که تمام فضاهای خالی جناحین از خاک پر شود. ضریب بستر برای این حالت برای نوع دو مساوی ۱/۳ و برای نوع سه مساوی ۱/۵ است. اختلاف این دو نوع، وجود یک لایه مصالح منتخب در بستر نوع سه است. (شکل ۳-۱۰)

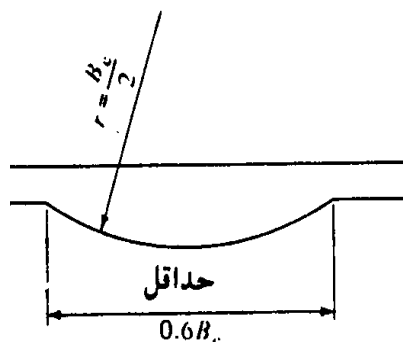
بستر سازی درجه ۱<sup>۲</sup> (نوع ۴): شکل ۳-۷ نشان‌دهنده این نوع بستر سازی است که در آن مجرا به دقت روی بستری از مصالح دانه‌ای ریز روی پی خاکی که توسط کمپاکتور مطابق کف مجرا شکل داده شده است مستقر می‌شود. عرض تماس حداقل ۶۰ درصد عرض کل است. سپس جناحین و روی لوله تا ارتفاع ۳۰ سانتیمتر بالای تاج توسط مصالح دانه‌ای که در لایه‌های ۱۵ سانتیمتری ریخته شده و تا حد امکان کوبیده می‌شود، پر می‌گردد. باید دقت گردد که کلیه فضاهای خالی کاملاً پر و متراکم گردد.



شکل ۳-۷ بستر سازی نوع ۴

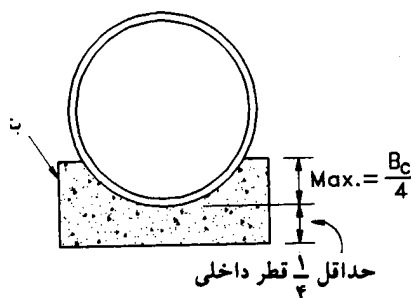
1. Ordinary beddings
2. First – Class bedding

برای مجاری با برجستگی مثبت، عرض خاکریز متراکم در جناحین حداقل باید مساوی  $B_c$  باشد. در شکل ۸-۳ شابلون مخصوص کوبیدن کف ترانشه نشان داده شده است. ضریب بستر برای این نوع بسترسازی مساوی ۱/۹ است.



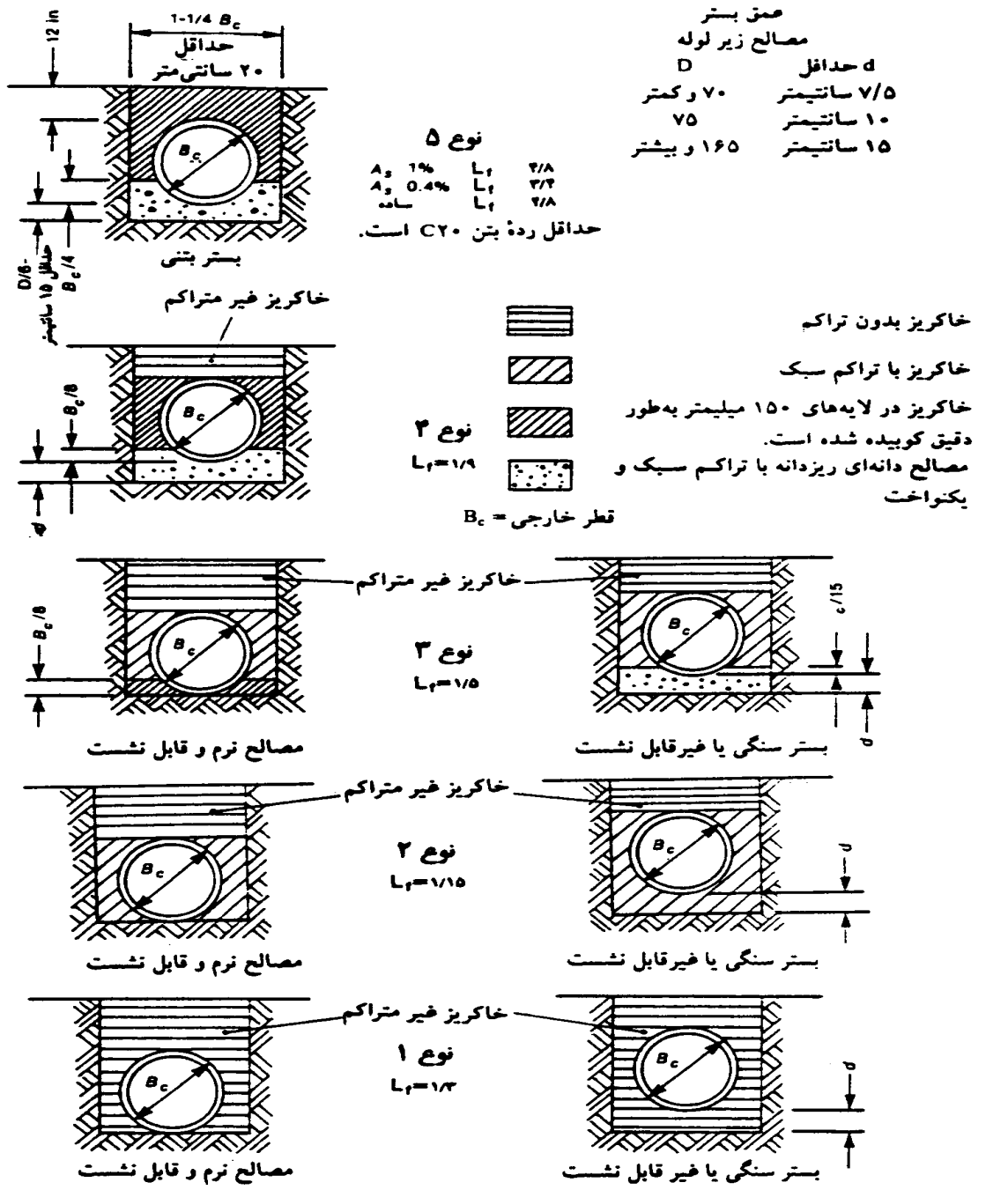
شکل ۸-۳ شابلون مخصوص کوبیدن و شکل دادن کف ترانشه

بستر بتنی (نوع ۵): در این حالت ابتدا مطابق شکل ۹-۳، بستری پیوسته با هندسه نشان داده شده از بتن ساده یا مسلح در زیر مجرا اجرا شده و مجرا روی آن قرار می‌گیرد. مقاومت مشخصه بتن مصرفی برای بسترسازی حداقل باید مساوی ۱۵ نیوتن بر میلی‌متر مربع باشد. ضریب بستر در این حالت مطابق شکل ۱۰-۳ بین ۲/۸ الی ۴/۸ است.



شکل ۹-۳ بسترسازی نوع ۵ (ضریب بار ۲/۸ تا ۴/۸)

۵-۵-۳ استاندارد شرایط بسترسازی برای لوله در ترانشه و ضرایب بستر مربوط در شکل ۱۰-۳ انواع مختلف بسترسازی همراه با ضرایب بستر مربوط برای لوله بتنی ساده بتن مسلح و آزیست در ترانشه ارائه شده است. جزئیات نوع دو مطابق شکل ۱۰-۳ متداولترین روش اجراست که دارای ضریب بستر بهینه  $L_f = ۱۳$  نیز است. در صورت نیاز به افزایش ضریب بستر  $L_f$  جزئیات نوع سه نیز قابل توصیه است که احتیاج به دقت بیشتر در اجرا دارد.



شکل ۳-۱۰ انواع بسترسازی برای مجاری در ترانشه و ضرایب بستر مربوط

۳-۵ ضریب بستر برای مجاری با برجستگی مثبت (اثر فشار جانبی در ضریب بار) در استقرار مجرا در خاکریز، مصالح خاکریز ایجاد فشار فعال<sup>۱</sup> (اکتیو) در سطوح جانبی می‌کند که این فشار جانبی در افزایش مقاومت آنها بسیار مؤثر است (مانند شکل ۳-۱ پ).

1. Active

بنابراین مقاومت مجاری برجسته نه تنها بستگی به توزیع بار قائم و نیروی واکنشی دارد، بلکه تابعی از فشار جانبی مؤثر بر قسمت برجسته آن نیز است. برای مجاری برجسته ضریب بستر را می توان از رابطه زیر محاسبه نمود.

$$L_f = \frac{A}{N - xq} \quad (1-3)$$

مقدار  $q$  را می توان از رابطه زیر تعیین کرد:

$$q = \frac{pK}{C_c} \left( \frac{H}{B_c} + \frac{p}{\gamma} \right) \quad (2-3)$$

چنانچه بار و واکنش بستر وضعیتی را به وجود آورد که مجرای دایروی ابتدا در تاج ترک بر دارد (بیشتر وقتی رخ می دهد که در روی بستر بتنی قرار گرفته شده باشد). در رابطه ۱-۳ به جای  $N$  و  $x$  از  $N'$  و  $x'$  استفاده می گردد. در جدول ۷-۳ مقادیر  $N, N', x, x'$  برای مقاطع دایروی و در جدول ۸-۳ مقادیر  $N$  و  $x$  مقاطع بیضوی ارائه شده است:

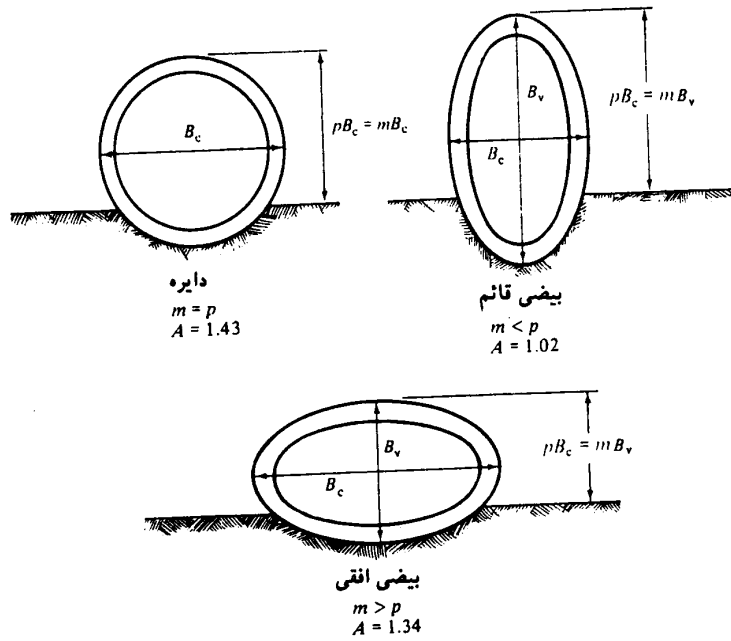
جدول ۷-۳ مقادیر  $X$  (یا  $x'$ ) و  $N$  (یا  $N'$ ) برای مجرا با مقطع دایره

$N'$	$N$	نوع بستر	$X$	$X$	$P=m$
-	۱/۳۱۰	۱	۰/۷۴۳	۰/۲۱۷	۰/۳
-	۰/۸۴۰	۳	۰/۸۵۶	۰/۴۲۳	۰/۵
-	۰/۷۰۷	۴	۰/۸۱۱	۰/۵۹۴	۰/۷
۰/۵۰۵	-	۵	۰/۶۷۸	۰/۶۵۵	۰/۹
			۰/۶۳۸	۰/۶۳۸	۱

جدول ۸-۳ مقادیر  $N$  و  $X$  برای مجرا با مقطع بیضی

$N$	نوع بستر	$x$	$m$	نوع لوله
۰/۷۶۳	۳	۰/۱۴۶	۰/۳	بیضی افقی
		۰/۲۶۸	۰/۵	
۰/۶۳۰	۴	۰/۳۶۹	۰/۷	
		۰/۴۲۱	۰/۹	
۰/۶۱۵	۳	۰/۲۳۸	۰/۳	بیضی قائم
		۰/۴۵۷	۰/۵	
۰/۵۱۶	۴	۰/۶۳۹	۰/۷	
		۰/۷۱۸	۰/۹	

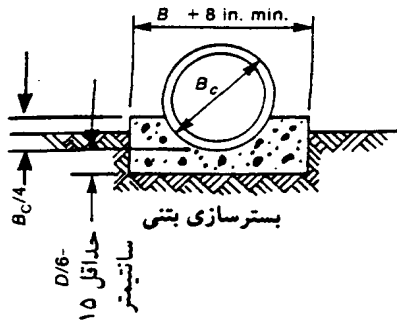
۳- طراحی مجاری زیرزمینی تحت بار خارجی



شکل ۱۱-۳ نمایش نسبت  $m$

ضرایب بستر مجاری بتنی با مقطع دایره در خاکریز

در شکل ۱۲-۳ انواع مختلف بسترسازی برای مجاری با مقطع دایره در خاکریز و در جدول ۹-۳ ضرایب بستر مربوطه ارائه شده است:



نوع ۵

عمق بستر سازی در زیر لوله

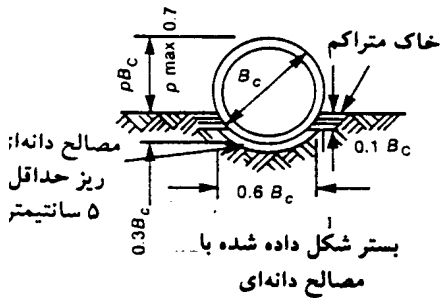
D	d (حداقل)
۲۷ < ۷۰۰	۷۵
۷۵۰ تا ۹۰۰	۱۰۰
۹۰۰ تا ۱۶۰۰	۱۵۰

مقادیر  $r_{sd}$

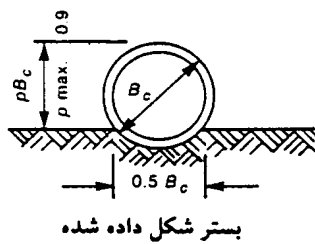
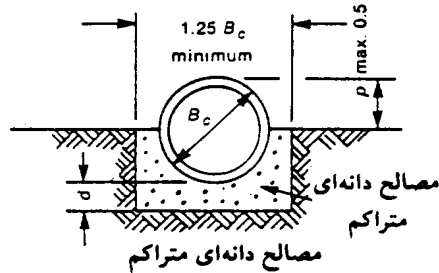
خاک غیر قابل نشست یا سنگ  $r_{sd} = +1.0$

خاک معمولی  $r_{sd} = +0.5$  تا  $+0.8$

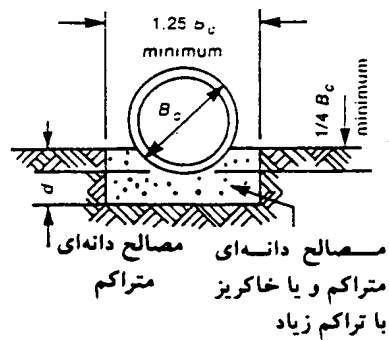
در بستر قابل نشست  $r_{sd} = +0.0$  تا  $+0.5$



نوع ۲



نوع ۳



شکل ۳-۱۲ انواع مختلف بستر سازی برای لوله های بتنی، بتن مسلح و آریست در خاکریز

توجه: در صورتی که بستر سنگی، خاک شن دار و یا سایر مصالح سخت غیر قابل نشست باشد، خاک سخت باید به عمق ۱۵ سانتیمتر و یا ۵ سانتیمتر به ازای هر یک متر ارتفاع خاکریز در بالای تاج هر کدام که بزرگتر باشند، لیکن از  $\frac{1}{4}$  قطر بزرگتر نباشد) برداشته شود. عرض گودبرداری باید حداقل ۳۰ سانتیمتر بزرگتر از قطر لوله باشد. سپس قسمت گودبرداری شده باید با مصالح ریزدانه پر شده و بعد از کمی تراکم، به شکل مطلوب شکل داده شود.

جدول ۹-۳ ضرایب بستر برای بتنی در خاکریز با برجستگی مثبت

$\frac{H}{B_c}$	بستر نوع ۳					بستر نوع ۴					بستر نوع ۵				
	$r_{sd}\rho=0$	۰/۱	۰/۳	۰/۵	۱/۰	$r_{sd}\rho=0$	۰/۱	۰/۳	۰/۵	$r_{sd}\rho=0$	۰/۱	۰/۳	۰/۵	۱/۰	
	$\rho=0/9$														
۰/۵	۳/۰۱	۲/۸۲	۲/۸۲	۲/۸۲	۲/۸۲					۱۱/۲۶	۸/۸۷	۸/۸۷	۸/۸۷	۸/۸۷	
۱/۰	۲/۵۵	۲/۳۵	۲/۳۵	۲/۳۵	۲/۳۵					۶/۶۱	۵/۳۷	۵/۳۷	۵/۳۷	۵/۳۷	
۱/۵	۲/۲۲	۲/۲۶	۲/۱۶	۲/۱۶	۲/۱۶					۵/۸۱	۲/۸۳	۲/۲۷	۲/۲۷	۲/۲۷	
۲/۰	۲/۳۷	۲/۲۰	۲/۱۲	۲/۱۰	۲/۱۰					۵/۴۸	۲/۴۹	۲/۳۵	۲/۱۹	۲/۱۹	
۳/۰	۲/۳۱	۲/۱۷	۲/۱۰	۲/۰۷	۲/۰۲					۵/۱۸	۲/۵۰	۲/۲۱	۲/۰۶	۳/۸۸	
۵/۰	۲/۲۷	۲/۱۴	۲/۰۸	۲/۰۴	۲/۰۰					۴/۹۷	۲/۳۷	۲/۱۱	۳/۹۷	۳/۸۱	
۱۰/۰	۲/۲۲	۲/۱۲	۲/۰۶	۲/۰۳	۱/۹۹					۴/۸۲	۲/۲۸	۲/۰۴	۳/۹۰	۳/۷۶	
۱۵/۰	۲/۲۳	۲/۱۰	۲/۰۵	۲/۰۲	۱/۹۸					۴/۷۷	۲/۲۵	۲/۰۱	۳/۸۸	۳/۷۲	
	$\rho=0/7$														
	$r_{sd}\rho=0$	۰/۱	۰/۳	۰/۵	۱/۰	$r_{sd}\rho=0$	۰/۱	۰/۳	۰/۵	$r_{sd}\rho=0$	۰/۱	۰/۳	۰/۵	۱/۰	
۰/۵	۲/۳۵	۲/۲۷	۲/۲۷	۲/۲۷	۲/۲۷	۳/۰۰	۲/۸۸	۲/۸۸	۲/۸۷	۷/۵۲	۶/۵۲	۶/۵۲	۶/۵۲	۶/۵۲	
۱/۰	۲/۱۸	۲/۰۸	۲/۰۸	۲/۰۸	۲/۰۸	۲/۷۳	۲/۵۸	۲/۵۸	۲/۵۸	۵/۶۱	۴/۷۹	۴/۷۹	۴/۷۹	۴/۷۹	
۱/۵	۲/۱۳	۲/۰۳	۱/۹۹	۱/۹۹	۱/۹۹	۲/۶۵	۲/۵۰	۲/۴۲	۲/۴۲	۵/۱۷	۲/۴۶	۲/۱۹	۲/۱۹	۲/۱۹	
۲/۰	۲/۱۰	۲/۰۱	۱/۹۷	۱/۹۵	۱/۹۵	۲/۶۱	۲/۴۸	۲/۴۲	۲/۳۹	۴/۹۸	۲/۳۵	۲/۱۱	۳/۹۹	۳/۹۸	
۳/۰	۲/۰۸	۲/۰۰	۱/۹۶	۱/۹۲	۱/۹۱	۲/۵۸	۲/۴۵	۲/۴۰	۲/۳۶	۴/۸۰	۲/۲۵	۲/۰۲	۳/۹۰	۳/۷۵	
۵/۰	۲/۰۶	۱/۹۸	۱/۹۵	۱/۹۳	۱/۹۰	۲/۵۵	۲/۴۳	۲/۳۸	۲/۳۵	۴/۶۶	۲/۱۸	۳/۹۵	۳/۸۲	۳/۷۰	
۱۰/۰	۲/۰۵	۱/۹۸	۱/۹۴	۱/۹۲	۱/۸۹	۲/۵۳	۲/۴۲	۲/۳۶	۲/۳۳	۴/۵۷	۲/۱۲	۳/۹۱	۳/۷۹	۳/۶۶	
۱۵/۰	۲/۰۲	۱/۹۷	۱/۹۴	۱/۹۱	۱/۸۹	۲/۵۲	۲/۴۱	۲/۳۶	۲/۳۳	۴/۵۳	۲/۰۹	۳/۸۹	۳/۷۷	۳/۶۵	
	$\rho=0/5$														
	$r_{sd}\rho=0$	۰/۱	۰/۳	۰/۵	$r_{sd}\rho=0$	۰/۱	۰/۳	۰/۵	$r_{sd}\rho=0$	۰/۱	۰/۳	۰/۵			
۰/۵	۱/۹۲	۱/۹۲	۱/۹۲	۱/۹۲	۲/۳۷	۲/۳۳	۲/۳۳	۲/۳۳	۴/۸۴	۲/۵۲	۲/۵۵	۲/۵۵			
۱/۰	۱/۹۰	۱/۸۶	۱/۸۶	۱/۸۶	۲/۳۱	۲/۲۵	۲/۲۵	۲/۲۵	۴/۳۳	۳/۹۷	۳/۹۷	۳/۹۷			
۱/۵	۱/۸۸	۱/۸۲	۱/۸۳	۱/۸۳	۲/۲۸	۲/۲۳	۲/۲۰	۲/۲۰	۴/۱۸	۳/۸۳	۳/۶۸	۳/۶۸			
۲/۰	۱/۸۸	۱/۸۲	۱/۸۳	۱/۸۲	۲/۲۷	۲/۲۲	۲/۲۰	۲/۱۹	۴/۱۱	۳/۷۹	۳/۶۵	۳/۵۸			
۳/۰	۱/۸۷	۱/۸۲	۱/۸۲	۱/۸۱	۲/۲۶	۲/۲۲	۲/۱۹	۲/۱۸	۴/۰۴	۳/۷۵	۳/۶۲	۳/۵۲			
۵/۰	۱/۸۶	۱/۸۳	۱/۸۲	۱/۸۱	۲/۲۶	۲/۲۱	۲/۱۹	۲/۱۷	۳/۹۹	۳/۷۲	۳/۵۸	۳/۵۱			
۱۰/۰	۱/۸۶	۱/۸۳	۱/۸۱	۱/۸۰	۲/۲۵	۲/۲۰	۲/۱۸	۲/۱۷	۳/۹۵	۳/۶۹	۳/۵۶	۳/۴۹			
۱۵/۰	۱/۸۶	۱/۸۳	۱/۸۱	۱/۸۰	۲/۲۵	۲/۲۰	۲/۱۸	۲/۱۷	۳/۹۴	۳/۶۸	۳/۵۶	۳/۴۸			
	$\rho=0/3$														
	$r_{sd}\rho=0$	۰/۱	۰/۳	$r_{sd}\rho=0$	۰/۱	۰/۳	$r_{sd}\rho=0$	۰/۱	۰/۳						
۰/۵	۱/۷۶	۱/۷۶	۱/۷۶	۲/۱۱	۲/۱۰	۲/۱۰	۳/۲۹	۳/۲۱	۳/۲۱						
۱/۰	۱/۷۶	۱/۷۵	۱/۷۵	۲/۱۰	۲/۰۸	۲/۰۸	۳/۲۰	۳/۲۸	۳/۲۸						
۱/۵	۱/۷۵	۱/۷۲	۱/۷۲	۲/۰۹	۲/۰۸	۲/۰۷	۳/۳۷	۳/۲۵	۳/۲۰						
۲/۰	۱/۷۵	۱/۷۲	۱/۷۲	۲/۰۹	۲/۰۸	۲/۰۷	۳/۳۵	۳/۲۲	۳/۲۰						
۳/۰	۱/۷۵	۱/۷۲	۱/۷۲	۲/۰۹	۲/۰۸	۲/۰۷	۳/۳۲	۳/۲۳	۳/۱۸						
۵/۰	۱/۷۵	۱/۷۲	۱/۷۲	۲/۰۹	۲/۰۸	۲/۰۷	۳/۳۳	۳/۲۲	۳/۱۷						
۱۰/۰	۱/۷۵	۱/۷۲	۱/۷۲	۲/۰۹	۲/۰۸	۲/۰۷	۳/۳۲	۳/۲۲	۳/۱۷						
۱۵/۰	۱/۷۵	۱/۷۲	۱/۷۲	۲/۰۹	۲/۰۸	۲/۰۷	۳/۳۲	۳/۲۲	۳/۱۷						
Zero Projecting															
	۱/۷۰			۲/۰۲			۲/۸۳								

### ۳-۵-۷ ضریب بستر برای شرایط خاص

ضریب بستر مناسب مورد استفاده برای تعیین ظرفیت باربری صحرایی<sup>۱</sup> یک مجرا برای یک روش نصب خاص، احتیاج به مطالعه دقیق حالات خاص بارگذاری دارد. برای مثال مطالعات تحلیلی نشان می‌دهد که ضریب بستر برای بارهای زنده ناشی از بار چرخ وارد برای سطح جاده برای انواع بسترسازی تقریباً مساوی در محدوده ۱/۵ تا ۱/۷ قرار دارد. در حالت برجستگی منفی و یا برجستگی صفر، با توجه به اینکه مجرا در داخل یک ترانشه کوچک نصب می‌شود، می‌توان شرایط کار را مشابه مجرا در ترانشه در نظر گرفت، با این تفاوت که شرایط کار در داخل یک ترانشه به علت فضای کار بیشتر، مناسب‌تر است. در صورت وجود شرایط مناسب و متراکم شدن خاک جناحین مجرا می‌توان در تعیین ضریب بستر مقداری فشار جانبی در نظر گرفت. در حالت ترانشه ناقص، مجرای زیرزمینی تحت فشار جانبی قرار دارد و از این نظر مشابه مجرا با برجستگی مثبت است. در تعیین ضریب بستر می‌توان این نکته را در نظر گرفت.

### ۳-۵-۸ ضریب ایمنی

همانند سایر سازه‌ها، در طراحی مجاری زیرزمینی باید ضریب ایمنی مناسبی مورد استفاده قرار گیرد. برای مجاری زیرزمینی صلب رابطه‌ای به صورت زیر در نظر گرفته می‌شود:

$$W_c = \frac{S_{ed} \times L_f}{F_s} \quad (3-3)$$

یا

$$S_{eb} = \frac{W_c \times F_s}{L_f} \quad (3-4)$$

دامنه تغییرات ضرایب ایمنی مورد استفاده در عمل بسیار وسیع است. برای مجاری بتنی غیر مسلح، در صورتی که از حداقل مقاومت حاصل از نمونه‌های آزمایشی استفاده گردد، ضرایب ایمنی توصیه شده بین ۱/۳ تا ۱/۵ است. برای مجاری بتن مسلح بر پایه مقاومت حاصل از آزمایش ۰/۲۵ میلیمتر عرض ترک، ضریب ایمنی توصیه شده ۱/۲ است. در این حالت مقاومت باقیمانده مجرای بتن مسلح پس از وقوع ترک ۰/۲۵ میلیمتر تا مقاومت نهایی مقطع و همچنین فشار مقاوم (پاسیو) خاک جناحین مجرا در تغییر شکلهای جانبی بزرگ، حاشیه ایمنی مطلوبی به وجود می‌آورند. مقاومت آزمایش ترک ۰/۲۵ میلیمتر، حداکثر بار وارد برای مجراست که در هنگام وقوع ترکی به عرض ۰/۲۵ میلیمتر ایجاد شده است. ترکها باید در فواصل نزدیک به وجود بیایند، و طول حداقل آنها ۳۰ سانتیمتر باشد. نتیجه این آزمایش به صورت نیروی وارد بر واحد طول (متر) تقسیم برای قطر داخلی بر حسب میلیمتر بیان می‌شود (در جدول ۳-۳ این نیرو برای حسب  $N/m/mm$  بیان شده است).

1. Field bearing capacity

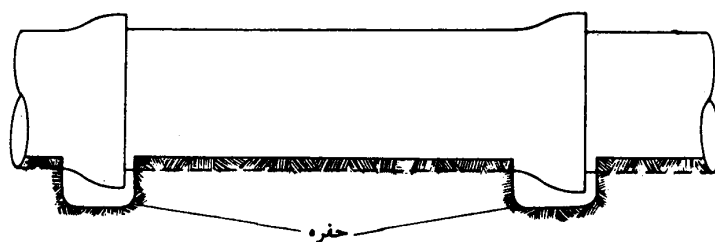


### ۳-۵-۹ جاسازی<sup>۱</sup> برای اتصالات نر و ماده<sup>۲</sup>

برجستگی موجود در محل اتصال نر و ماده مجاری، باعث عدم اتکای کامل در طول و بروز تمرکز واکنش در محل اتصال و در نتیجه شکست زودرس می‌شود. در چنین حالای لازم است در محل اتصال حفره‌ای به عمق و عرض کافی حفر گردد تا مجرا در تمام طول مولد تحتانی خود با زمین تماس پیدا کند. آزمایشهایی که روی مجرای سفالی انجام شده، نشان می‌دهد در حالتی که بار سنگین در محل اتصالات اعمال شود، ضریب بستر بین ۰/۵ تا ۰/۷۵ است. بررسی انجام شده روی خطوط لوله فاضلاب که در آنها حفره لازم در زیر اتصالات تعبیه نشده، نشان می‌دهد که به علت نشست، قسمت برجسته اتصال با سنگ بستر تماس پیدا کرده و به علت تمرکز نیروی واکنش بستر ترکهایی در قسمت پائین و بالا ایجاد شده است. ضریب بستر تخمینی برای این حالت حدود ۰/۸ است. به بیان دیگر در چنین حالاتی ظرفیت باربری لوله کمتر از آزمایش سه نبش است. این بررسیها دلالت برای این دارند که برای تأمین مقاومت یکنواخت، مطابق شکل ۳-۱۳ باید حفره با فضای کافی در محل اتصالات نر و ماده لوله‌ها ایجاد نمود.

### ۳-۵-۱۰ روش گام به گام طراحی مجاری صلب

پس از شناخت عوامل مؤثر در طراحی مجاری صلب روش گام به گام طراحی این لوله‌ها به شرح زیر خلاصه می‌شود -



شکل ۳-۱۳ فضای حفره در محل اتصال نر و ماده باید به قدر کافی بزرگ باشد تا اتکای کامل در امتداد مولد تحتانی لوله به وجود آید.

- ۱- تعیین بار وارد از طرف خاک و سربار مؤثر سطحی با استفاده از نظریه‌های فصل دوم
- ۲- انتخاب جزئیات بسترسازی و ضریب بستر مربوط
- ۳- انتخاب ضریب ایمنی
- ۴- انتخاب مقاومت سه نبش لازم از رابطه زیر:

$$S_{eb} = \frac{W_c \times F_s}{L_f} \quad (5-3)$$

1. Bell hole  
2. Bell and Spigot

### ۳-۶ بارگذاری طولی

مطالعات انجام شده نشانگر این است که فقط در شرایط ایده آل بارهای وارد به مجرا به بارگذاری قائم خاک و سربار روی آن محدود می گردد. بارهای دیگری نیز وجود دارد که باعث ایجاد نیروهای برشی ناشی از خمش می گردند. این نیروها ممکن است بسیار بزرگ، متغیر و یا دارای اثرهای موضعی باشند. بعضی از عمده ترین عمل ایجاد این نیروها به شرح زیر هستند:

- ۱- بستر غیر یکنواخت
- ۲- نشستهای نسبی
- ۳- تغییر مکان زمین به علت نیروهای خارجی نظیر زمین لرزه و یا یخزدگی آبهای منفذی

### بستر غیر یکنواخت مجرا

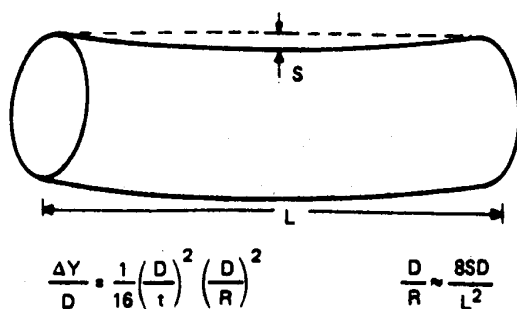
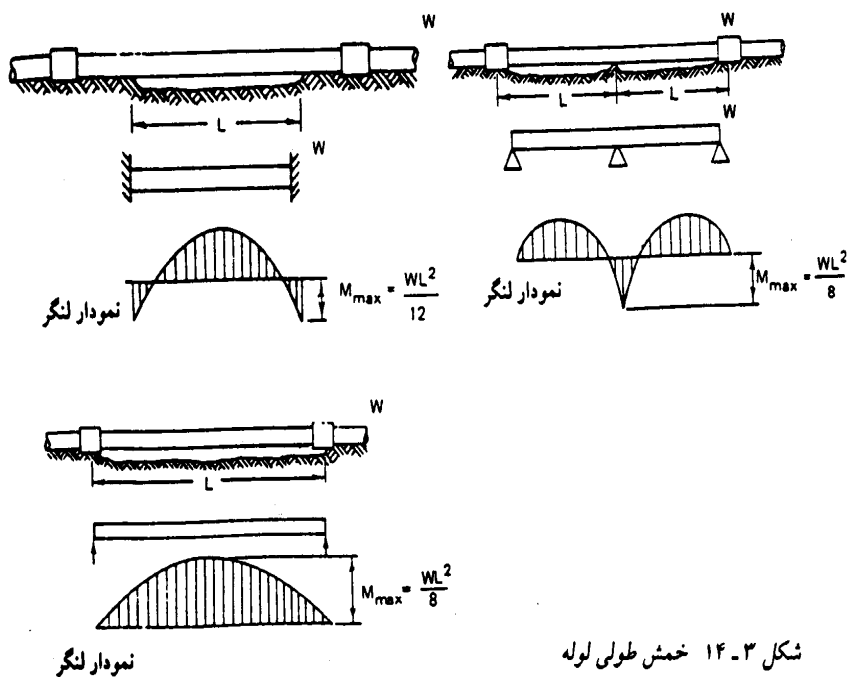
بستر غیر یکنواخت ممکن است برای اثر وجود مصالح ناپایدار در مسیر، نشستهای ناهماهنگ به علت حفاری بیش از حد و کوبیدگی غیر یکنواخت و یا حفاریهای زیرزمینی ایجاد گردد. یکی از مزایای مجاری انعطاف پذیر توانایی آن در تحمل تغییر شکل و جلوگیری از ایجاد تمرکز تنش است. استفاده از اتصالات انعطاف پذیر نیز توانایی مجرا را در مقابله با چنین بارگذاریهایی افزایش و احتمال خرابی را کاهش می دهد. استفاده از این مزایا به همراه طراحی درست و کارگزاری صحیح تقریباً تأثیرات خمش طولی را از بین می برد. اشکال نشان داده شده در شکل ۳-۱۴ مقادیر لنگرهای ایجاد شده در طول مجرا را مشخص می سازد.

خمش طولی مجاری بلند در یک صفحه افقی، تغییر مکانهای قائم حلقوی<sup>۱</sup> ایجاد می نماید ( $\Delta y / D$ ). مطالعات زیادی که در برآورد این تغییر مکان انجام شده منجر به رابطه زیر گردیده است که در مورد خمش خالص تحت فشار استفاده می شود. (شکل ۳-۱۵)

$$\frac{\Delta y}{D} = \frac{1}{16} \left(\frac{D}{t}\right)^2 \left(\frac{D}{R}\right)^2 \quad (6-3)$$

---

1. Vertical ring deflection



شکل ۳-۱۵ تغییر شکل حلقوی به علت خمش لوله

### نشستهای نسبی

نشستهای نسبی در دریچه‌های بازدید<sup>۱</sup> و یا سایر سازه‌هایی که لوله‌ها به صورت صلب به آنها متصل هستند می‌توانند باعث ایجاد لنگرهای خمشی و نیروهای برشی بزرگی در سازه گردند. این نیروها زمانی که سازه و لوله نسبت به یکدیگر حرکت نسبی پیدا می‌کنند ایجاد می‌شود. عموماً محاسبه تنشهای حاصل از این نشستهای نسبی به سادگی امکان‌پذیر نیست. بنابراین در مراحل طراحی و اجرای خط لوله باید حداکثر دقت در حذف و یا به حداقل رساندن این تغییر مکانها صورت گیرد. این کار را می‌توان با آماده‌سازی و کوبیدن مصالح بستر و شالوده سازه و لوله متصل به آن انجام داد.

1. Man hole

## حرکتهای زمین

الف - شرایط متغیر رطوبت: انواع خاصی از خاکها (بخصوص خاکهای رس قابل تورم) در مقابل تغییرات رطوبت بسیار حساس هستند. این خاکها ممکن است بر اثر تغییرات رطوبت فصلی دچار تغییر مکانهای نسبی شوند. در یک طراحی مناسب قرار دادن مستقیم خطوط لوله برای روی چنین خاکهایی مجاز نیست. در هر حال باید توجه داشت که ایجاد چنین تغییر مکانهایی در خاکهای مجاور، آثار زیانباری روی خط لوله خواهد داشت. عموماً این تغییر مکانهای نسبی بسیار کوچک هستند، ولی اثر تجمعی آنها ممکن است آنقدر زیاد باشد که در کارآیی خط لوله ایجاد اختلال نماید.

برای کاهش آثار تجمعی این تغییر مکانها بر روی لوله‌های صلب، استفاده از قطعات کوتاه لوله با اتصالات انعطاف پذیر توصیه می‌شود. در لوله‌های انعطاف پذیر خاصیت انعطاف پذیری طبیعی لوله اجازه مقابله با تنشهای ایجاد شده را می‌دهد. در این مورد هم انعطاف پذیری طولی و هم انعطاف پذیری قطری لوله اهمیت دارد. همچنین تغییرات سطح آب زیرزمینی نیز ممکن است باعث ایجاد چنین تغییر مکانهایی گردند که با روشهای ذکر شده باید با آن مقابله کرد.

ب - زمین لرزه: ارتعاشات ناشی از زمین لرزه می‌تواند آثار زیانباری برای روی خطوط لوله داشته باشد. این مناطق بحرانی مکانهایی هستند که در آنها تغییر مکانهای نسبی در خاک رخ می‌دهد، مانند: مناطق نزدیک گسلها صفحات برش خاک و یا مناطق انتقالی که در آنها لوله به درون سازه‌ای وارد می‌شود. ضمناً ممکن است در بعضی از خاکها در اثر زلزله پدیده آبگونی رخ بدهد و باعث بالا آمدن و یا شناور گردیدن لوله‌ها شود. اکثر لوله‌های انعطاف پذیر مدفون، توانایی تحمل زلزله را در حد مطلوبی دارا هستند. در نهایت استفاده از لوله‌های انعطاف پذیرتر به همراه اتصالات انعطاف پذیر برای مقابله با زلزله توصیه می‌گردد.

## ۳-۷ اصلاح بسترهای ناپایدار

در عمل شرایطی پیش می‌آید که خاک کف بستر مقاومت کافی در مقابل فشار زیر مجرا را ندارد. مثالهایی از این نوع خاکها، خاکهای کاملاً اشباع موجود در مجاورت خطوط ساحلی‌اند. در چنین حالاتی برای بهبود شرایط بستر از یکی از روشهای زیر استفاده می‌شود.

- ۱- ترانشه با عمقی بزرگتر از عمق معمول حفر و در کف بستر خاک مناسب نظیر شن و یا صدف دریایی ریخته می‌شود.
- ۲- در فواصل مناسب در خاک شمع کوبیده شده و روی شمع تکیه‌گاه زینی اجرا شده و لوله در روی تکیه‌گاه زینی قرار داده می‌شود.
- ۳- از یک شالوده گسترده (MAT) برای توزیع فشار در زیر مجرا استفاده می‌شود. از انواع شالوده‌های گسترده، الوارهای چوبی است که پهلو به پهلو یکدیگر قرار داده می‌شود و مجرا روی آن قرار می‌گیرد.

## فصل ۴ طراحی مجاری زیرزمینی تحت فشار

$$a = \text{شعاع داخلی}$$

$$b = \text{شعاع خارجی}$$

$$\bar{D} = \text{قطر متوسط} = (b + a)$$

$$P_i = \text{فشار داخلی}$$

$$r = \text{شعاع نقطه مورد نظر برای محاسبه تنش}$$

$$S = \text{مقاومت سه نبش لوله تحت اثر بار خارجی و فشار داخلی (کیلونیوتن برای متر)}$$

$$S^* = \text{مقاومت سه نبش لوله در غیاب هر گونه فشار داخلی (کیلونیوتن بر متر)}$$

$$t = \text{ضخامت جدار} = (b - a)$$

$$T = \text{فشار داخلی}$$

$$T^* = \text{مقاومت ترکیدگی لوله (کیلونیوتن بر متر مربع)}$$

طراحی مجاری بدون فشار داخلی، تحت بار خارجی در فصل گذشته مورد مطالعه قرار گرفت. در این فصل طراحی مجاری تحت فشار داخلی مورد توجه قرار می‌گیرد. در طراحی مجاری تحت فشار روش تعیین بارهای خارجی مشابه فصل قبل است. نکته تازه‌ای که باید مورد توجه قرار گیرد، چگونگی تأثیر فشار داخلی در طراحی است.

### ۴-۱ تنشها و کرنشهای جدار مجرا

بر اثر اعمال بار به مجرا، در جدار آن کرنش و تنش ایجاد می‌شود. در مجاری مدفون تحت فشار، بارهای وارد شده شامل: فشارهای داخلی و بارهای خارجی است. فشارهای داخلی شامل فشار استاتیکی آب<sup>۱</sup> داخل مجرا و فشار ناشی از ضربه آب<sup>۲</sup> (ضربه قوچ) و بارهای خارجی شامل فشار ناشی از وزن خاک و سربار سطحی است. همچنین بارهای ناشی از نشستهای نسبی، خمش طولی، تغییرات درجه حرارت، و بارهای برشی نیز جزو بارهای خارجی به حساب می‌آیند.

1. Hydrostatic Pressure

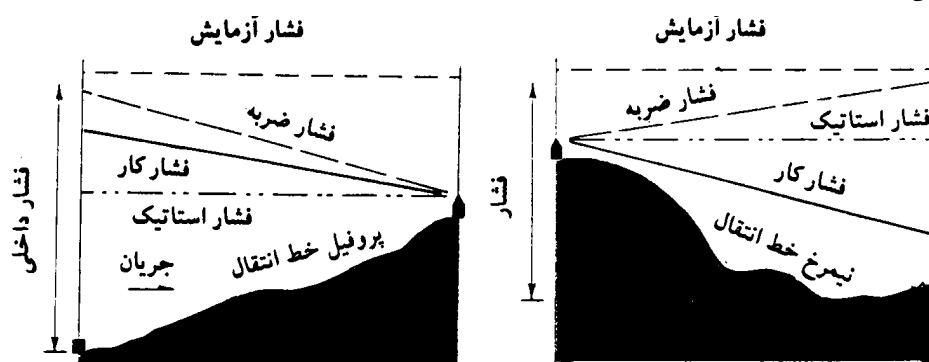
2. Surge Pressure

## ۲-۴ عوامل ایجاد فشار داخلی در مجاری زیرزمینی

الف: فشار استاتیکی

در خط انتقال گرانشی، جریان از تراز بالا به تراز پائین است (شکل ۱-۴ الف) فشار داخلی، فاصله بین محور خط و شیب هیدرولیکی است. در صورتی که در طول خط انتقال، شیرهای قطع و وصل پیش‌بینی شده باشد، فشار خط، فاصله بین محور خط تا تراز فشار استاتیک در حالت شیر بسته است.

در خط انتقال رانشی، پمپاژ از تراز پائین به تراز بالا است (شکل ۱-۴ ب). فشار داخلی فاصله بین محور خط و شیب هیدرولیکی به وجود آمده توسط پمپاژ است. فشار در خروجی و اتلافات اصطکاکی می‌تواند در طراحی منظور شوند. در صورتی که امکان کارکرد پمپ در حالت بدون جریان وجود داشته باشد، فشار مربوط باید در طراحی منظور شود.



ب - ارتباط بارها و فشارهای مختلف  
برای انتقال فشار طرح (جریان گرانشی)

الف - ارتباط بارها و فشارهای مختلف  
برای انتخاب فشار طرح (جریان رانشی)

شکل ۱-۴

ب: فشار ضربه

هرگونه تغییر ناگهانی در رژیم دائمی جریان خط انتقال، مانند قطع ناگهانی کارکرد پمپ و یا بسته شدن مسیر جریان توسط شیر، علاوه بر فشار استاتیکی، فشارهای داخلی ایجاد می‌کند که به آن فشار ضربه گویند. (شکل‌های ۱-۴ الف و ب).

## ۳-۴ تنش‌های ناشی از فشار داخلی در جدار مجاری

تنش‌های ناشی از فشار آب در جدار مجاری، نخستین بار توسط لامه<sup>۱</sup> حل شد. برای مجرای استوانه‌ای جدار ضخیم تحت فشار داخلی، تنش‌های حاصل شده عبارت‌اند از:

$$\sigma_t = \frac{P_i a^2 (b^2 / r^2 + 1)}{b^2 - a^2}$$

تنش حلقوی  $\sigma_t$

$$\sigma_r = \frac{P_i a^2 (b^2 / r^2 - 1)}{b^2 - a^2}$$

تنش شعاعی  $\sigma_r$

1. Lamé

تنش حداکثر، تنش مماسی  $\sigma_t$  است که در  $r = a$  رخ می‌دهد و مقدار آن به شرح زیر است:

$$\sigma_{\max} = (\sigma_t)_{r=a} = \frac{P_i a^2 (b^2 / a^2 + 1)}{b^2 - a^2}$$

یا

$$\sigma_{\max} = \frac{P_i (b^2 + a^2)}{b^2 - a^2} \quad (1-4)$$

برای مجاری جدار نازک که در آنها  $b - a = t, a \approx b$  است می‌توان نوشت:

$$(b^2 - a^2) = (b + a)(b - a) = \bar{D}t \quad (\text{الف})$$

همچنین:

$$(b + a)^2 = \bar{D}^2 = b^2 + a^2 + 2ab$$

بنابراین:

(ب)

رابطه ۲-۴، رابطه تنش حلقوی برای مجاری استوانه‌ای جدار نازک است. اکثر مجاری زیرزمینی تحت فشار، در رده مجاری جدار نازک قرار می‌گیرند و رابطه فوق در مورد آنها صادق است. جدار نازک به صورت زیر در می‌آید:

$$\sigma_{\max} = \frac{P_i (\bar{D}^2 / 2)}{\bar{D}t} = \frac{P_i \bar{D}}{2t} \quad (2-4)$$

رابطه ۲-۴، رابطه تنش حلقوی برای مجاری استوانه‌ای جدار نازک است. اکثر مجاری زیرزمینی تحت فشار، در رده مجاری جدار نازک قرار می‌گیرند و رابطه فوق در مورد آنها صادق است.

اگر قطر خارجی لوله،  $D_0$ ، به عنوان مرجع محاسبات مورد استفاده قرار گیرد، با توجه به تساوی  $\bar{D} = D - t$ ، رابطه ۲-۴ به صورت زیر در می‌آید:

$$\sigma_{\max} = \frac{P_i (D - t)}{2t} \cong \frac{P_i D^*}{2t} \quad (3-4)$$

در صنعت لوله‌سازی، بخصوص لوله‌های پلاستیکی نسبت به  $DR$  یا نسبت بعد استاندارد  $SDR$ ، به صورت زیر تعریف می‌شود:

$$DR = \frac{D}{t} \quad \text{یا} \quad SDR = \frac{D}{t}$$

هر دو علامت  $DR$  و  $SDR$  به یک معناست، لکن علامت  $SDR$  در صنعت کاربرد بیشتری دارد. اگر در رابطه ۳-۴ به جای  $D/t$  علامت  $SDR$  قرار داده شود، خواهیم داشت:

1. Dimension Ratio

2. Standard Dimension ratio

\* این تقریب در جهت اطمینان است

$$\sigma_{\max} = \left(\frac{P_i}{\gamma}\right)(\text{SDR} - 1) \quad (4-4)$$

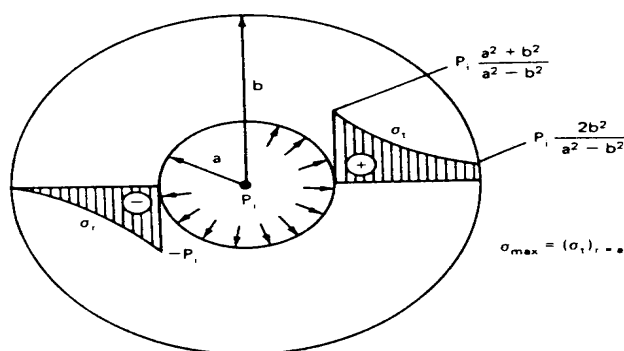
رابطه فوق را می توان به صورت زیر نوشت:

$$\frac{\gamma \sigma_{\max}}{P_i} = \text{SDR} - 1 \quad (5-4)$$

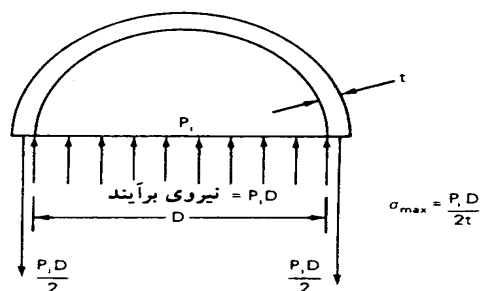
رابطه ۴-۵ به رابطه ایزو (ISO) مشهور است. ولی باید توجه داشت که بنیانگذار این رابطه لامه (۱۸۵۲) بوده است.

#### ۴-۴ بارهای خارجی

روش تعیین بارهای ناشی از وزن خاک و سربار در فصل دوم و روش طراحی مجاری در مقابل این بارها در فصل سوم مورد بحث قرار گرفت. در این فصل تأثیر این گونه بارها در مجاری تحت فشار مورد توجه قرار می گیرد.



شکل ۴-۲ مجرای استوانه‌ای جدار ضخیم تحت فشار داخلی

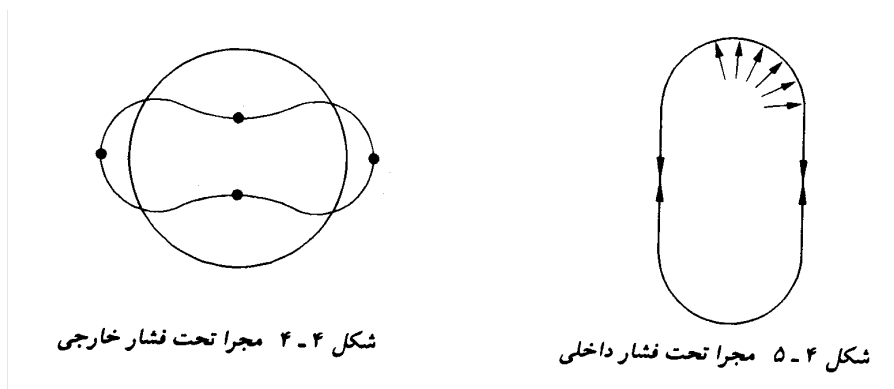


شکل ۴-۳ نمودار آزاد نیمه فوقانی یک لوله جدار نازک تحت فشار داخلی

#### ۴-۵ اثر توأم (اندرکنش) فشار داخلی و فشار خارجی

مجاری انتقال آب، مایعات نفتی و گازها، علاوه بر فشار خارجی می توانند تحت فشار داخلی نیز باشند. در مجاری با مقطع دایره، به علت فشار خارجی لنگر خمشی ایجاد می شود که مقدار آن در تاج کف و دو طرف مجرا حداکثر است (شکل ۴-۴). بر اثر فشار داخلی، مجرا تحت کشش حلقوی قرار می گیرد که مقدار آن در تمام محیط یکسان است. (شکل ۴-۵).





در صورتی که تأثیر فشار خارجی و فشار داخلی همزمان باشد، تنشهای آنها با یکدیگر ترکیب می‌شوند. بنابراین وجود فشار داخلی می‌تواند باعث کاهش ظرفیت باربری خارجی مجرا گردد. در خطوط انتقال تحت فشار، اغلب از مجاری چدنی<sup>۱</sup>، چدن نشکن<sup>۲</sup>، فولادی<sup>۳</sup>، بتن مسلح<sup>۴</sup>، فایبرگلاس<sup>۵</sup>، و پلی اتیلن<sup>۶</sup> استفاده می‌شود. لوله‌های فوق در دو رده کلی مجاری صلب و انعطاف‌پذیر قرار می‌گیرند. در ادامه روش طراحی مجاری صلب تحت فشار داخلی و خارجی مورد بحث قرار می‌گیرد.

#### ۶-۴ طراحی مجاری صلب تحت فشار داخلی و بار خارجی

در صورتی که مقاومت آزمایش سه نبش<sup>۷</sup> (مبین ظرفیت باربری خارجی) و مقاومت ترکیبگی<sup>۸</sup> (مبین ظرفیت باربری در مقابل فشار داخلی) مجاری صلب، در دست باشد، رابطه اندرکنش فشار داخلی و بار خارجی که باعث شکست می‌شود، می‌تواند به صورت زیر بیان شود:

(۶-۴)

$$S = S_0 \sqrt{\frac{T_i - T_o}{T_o}}$$

- 
1. Iron
  2. Ductile Iron
  3. Steel
  4. reinforced concrete
  5. GRP
  6. Poly Etilen
  7. Three edge bearing strength
  8. bursting strength

## فصل ۵ طراحی تحلیلی مجاری زیرزمینی بتنی

$A =$  وزن کل خاک روی لوله مساوی  $W_e(\gamma r)h$  (همانند بار به دست آمده از رابطه مارستون است).

$A_t =$  سطح مقطع تبدیل یافته ( $\text{mm}^2$ )

$d =$  ارتفاع مؤثر مقطع ( $\text{mm}$ )

$D =$  وزن واحد طول لوله و یا قطر اسمی لوله

$F =$  تلاش محوری ناشی از بارهای خارجی، وزن آب درون لوله، وزن لوله ( $N$ )

$f_c =$  مقاومت فشاری مشخصه بتن ( $N/\text{mm}^2$ )

$f_{cr} =$  تنش فشاری مؤثر به علت نیروی پیش تنیدگی پس از کسر کلیه اتلافات ( $N/\text{mm}^2$ )

$f_{ct} =$  تنش کششی در بتن ( $N/\text{mm}^2$ )

$f_s =$  تنش فولاد در حالت بهره‌برداری (تحت بارهای بدون ضریب) ( $N/\text{mm}^2$ )

$F_y =$  تنش جاری شدن فولاد مصرفی ( $N/\text{mm}^2$ )

$h =$  ارتفاع خاک از بالای تاج میان‌تار لوله

$Jd =$  بازوی مقاوم داخلی (در تقریب اول مساوی  $d/80$  فرض می‌شود).

$M =$  تلاش خمشی ناشی از بارهای خارجی، وزن آب درون لوله، و وزن لوله ( $N.mm$ )

$M_u =$  لنگر خمشی ضریب‌دار ( $N.mm$ )

$p =$  فشار داخلی حداکثر ( $N/\text{mm}^2$ )

$Pb =$  فشار واکنشی کف لوله به علت فشار خاک، وزن آب و وزن لوله

$p_i =$  فشار داخلی ناشی از فشار قسمت ب فشار هیدروستاتیک مساوی  $\gamma r(1 - \cos \theta)$

$p_t =$  فشار ناشی از خاک

$R =$  شعاع متوسط لوله ( $\text{mm}$ )

$r =$  شعاع میان‌تار لوله

$r =$  شعاع داخلی لوله

$s =$  فواصل میلگردها ( $\text{mm}$ ) مطابق شکل ۶-۵

$S =$  اساس مقطع ( $\text{mm}^2$ )

$t =$  ضخامت جدار لوله

$T =$  کشش حلقوی برای حسب نیوتن بر عرض یک متر در حالت بهره‌برداری

$T_u =$  نیروی محوری کششی ضریب‌دار ( $N$ )

$V_{\theta}, P_{\theta}, M_{\theta}$  = به ترتیب لنگر خمشی، نیروی محوری و نیروی برشی در مقطعی با زاویه  $\theta$

$W$  = وزن کل آب داخل لوله برای واحد طول مساوی  $\gamma_w \pi r^2$  و یا عرض ترک

$W_e$  = وزن مخصوص مؤثر خاک موجود در بالای لوله

$y$  = فاصله مرکز میلگرد تا سطح خارجی (mm) مطابق شکل ۶-۵

$\beta_1$  = ضریب بلوک معادل بتن برای  $fc < 30 N/mm^2$  مقدار آن ۰/۸۵ می‌باشد.

$\phi_c$  = ضریب تقلیل ظرفیت بتن مساوی ۰/۶

$\phi_s$  = ضریب تقلیل ظرفیت فولاد مساوی ۰/۸۵

$f_e / \sqrt{6}$  = تنش کششی مجاز بتن ( $N/mm^2$ )

## ۱-۵ کلیات

در فصل سوم اشاره شد که برای طراحی مجاری زیرزمینی بتنی دو روش وجود دارد؛ روش تجربی و روش تحلیلی. در روش تجربی که شرح کامل آن در فصل سوم ارائه گردید، طراحی مجرا بر اساس نتیجه آزمایش مقاومت سه نبش مجرا انجام می‌شود. در روش تحلیلی که در این فصل مورد بحث قرار می‌گیرد، طراحی مجاری زیرزمینی بتنی برای اساس روابط طراحی سازه‌های بتن مسلح انجام می‌شود.

## ۲-۵ بارهای طراحی

بارهای وارد شده عبارت‌اند از:

- ۱- وزن مجرا و مایع داخلی
- ۲- بار قائم ناشی از وزن خاک موجود روی مجرا
- ۳- بار قائم ناشی از بار زنده
- ۴- واکنش قائم خاک در نشیمن مجرا
- ۵- فشار جانبی خاک
- ۶- فشار ناشی از آب زیرزمینی
- ۷- فشار هیدروستاتیک داخلی
- ۸- نیروهای دینامیکی

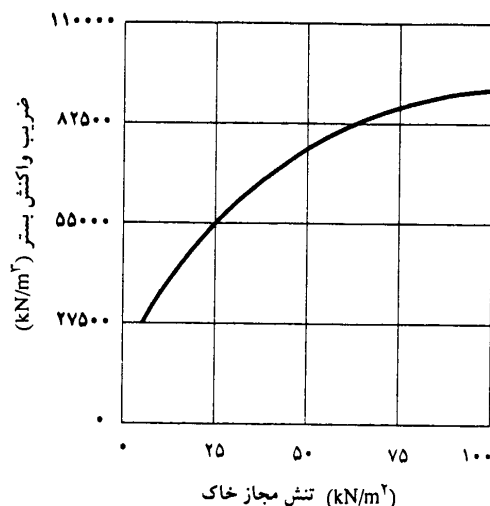
در فصل دوم بحث جامعی در مورد بارهای وارد بر مجاری زیرزمینی ارائه شده است که مطالعه آن قبل از شروع این فصل ضروری است. در ادامه مطالب تکمیلی در مورد واکنش قائم و فشار جانبی خاک ارائه می‌گردد.

واکنش قائم خاک، نیروی گسترده رو به بالایی است که برای سطح تماس نشیمن مجرای زیرزمینی اعمال می‌شود. این واکنش در مجاری جعبه‌ای غالباً به صورت خطی و در صورت وجود تقارن در بارگذاری، به صورت یکنواخت در نظر گرفته می‌شود. در مجاری زیرزمینی با مقطع دایره همان‌طور که بعداً ملاحظه خواهد

شد، لازم است برحسب زاویه تماس، یک توزیع فشار منطقی اختیار گردد. البته در صورت استفاده از تحلیل کامپیوتری در هیچ حالت نیاز به پیش فرض فشار واکنشی نیست و با مدل کردن خاک توسط فنرهای وینکلر، توزیع فشار به صورت قسمتی از نتایج تحلیل در می آید. سختی فنرها، ضریب واکنش بستر نامیده می شود که طبق تعریف، نیروی وارد برای واحد سطح لازم باری نشست الاستیک خاک به اندازه واحد است که برحسب  $\text{kN/m}^3$  بیان می گردد. در غیاب اطلاعات دقیقتر، مقدار آن را می توان به کمک شکل ۱-۵ برحسب مقاومت فشاری مجاز خاک تعیین نمود.

فشار جانبی خاک ممکن است در دو حالت محرک<sup>۱</sup> و سکون<sup>۲</sup> برای مجرای زیرزمینی اعمال گردد. وقوع هر کدام از دو حالت فوق می تواند باعث وضعیت بحرانی در سازه شود.

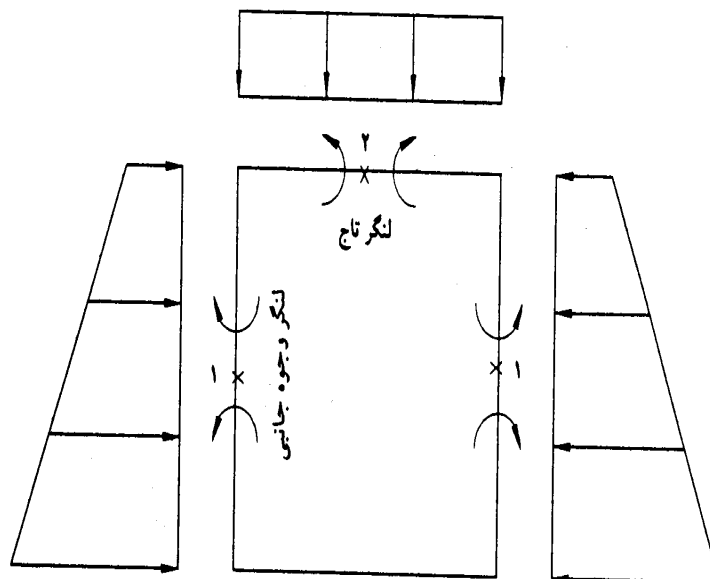
مطابق شکل ۲-۵، کاهش در فشار جانبی باعث افزایش لنگر خمشی در تاج (نقطه ۲) و افزایش آن باعث افزایش لنگر خمشی در وجوه جانبی (نقاط ۱) می گردد. از آنجا که وقوع قطعی یکی از حالات یاد شده قابل پیش بینی نیست، باید هر دو حالت در ترکیبات بارگذاری مورد توجه قرار گیرند.



شکل ۱-۵ ضریب واکنش بستر برحسب مقاومت فشاری مجاز خاک

1. active

2. atrest



شکل ۲-۵ تأثیر فشار جانبی در نیروهای داخلی

ضریب فشار محرک خاک طبق نظریه رانکین از رابطه زیر محاسبه می‌گردد:

$$K_a = \frac{1 - \sin \phi}{1 + \sin \phi} \quad (1-5)$$

ضریب فشار سکون خاک را نیز می‌توان از رابطه تقریبی زیر محاسبه کرد.

$$K = 1 - \sin \phi \quad (2-5)$$

که در آن  $\phi$  زاویه اصطکاک داخلی خاک است. در صورت عدم وجود اطلاعات دقیقتر مقدار آن را می‌توان مطابق جدول ۱-۵ در نظر گرفت:

جدول ۱-۵ وزن مخصوص و زاویه اصطکاک داخلی معادل برای انواع خاک

نوع خاک	وزن مخصوص ( $\text{kN/m}^3$ )	زاویه اصطکاک داخلی معادل
رس نرم	۱۵-۱۹	۰-۱۰
رس متوسط	۱۶-۱۹	۱۵-۳۰
ماسه و شن	۱۹-۲۱	۲۵-۳۵

### ۳-۵ ترکیبات بارگذاری

در طراحی مجاری زیرزمینی باید ترکیبات بارگذاری زیر مورد توجه قرار گیرد:

ترکیب بار ۱:

بار مرده + فشار خاک روی مجرا + بار زنده + فشار جانبی متقارن و حداقل خاک (با حداقل تراز آب زیرزمینی)

ترکیب بار ۲:

ترکیب بار ۱ + فشار داخلی

ترکیب بار ۳:

بار مرده + فشار خاک روی مجرا + بار زنده + فشار جانبی متقارن و حداکثر خاک (با حداکثر تراز آب زیرزمینی)

ترکیب بار ۴:

ترکیب بار ۳ + فشار داخلی

ترکیب بار ۵:

بار مرده + فشار خاک روی مجرا + بار زنده + فشار جانبی نامتقارن خاک (در صورت تشخیص مهندس طراح)

ترکیب بار ۶:

ترکیب بار ۵ + فشار داخلی

ترکیب بار ۷:

فشار داخلی تنها

در روشهای معمول طراحی، اثر زلزله در طراحی مجاری زیرزمینی در نظر گرفته نمی شود. تجربه های به دست آمده از زلزله های گذشته حاکی از آن است که مجاری زیرزمینی هنگام زلزله فقط تحت تغییر شکل های برشی عرضی و طولی خاک قرار می گیرند. تغییر شکل های عرضی غالباً به صورت کرنش های برشی بر مقطع عرضی اعمال می شوند.

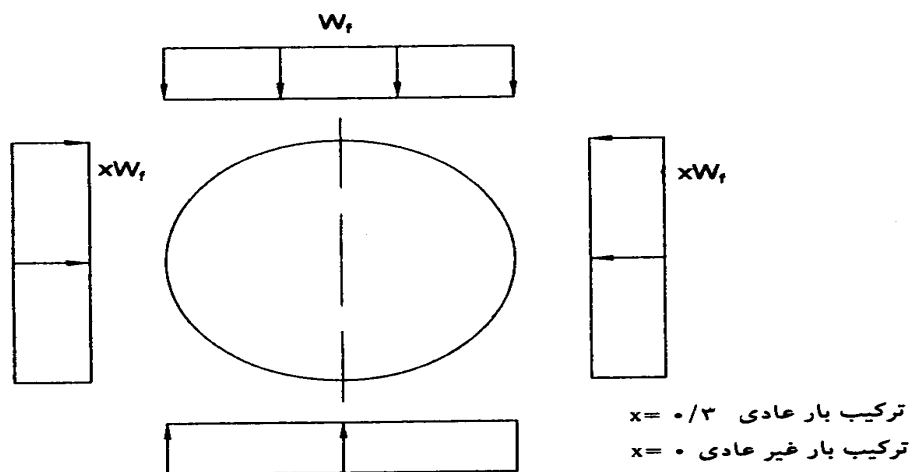
از نظر هماهنگی با تغییر شکل های طولی، وجود درزهای انقباضی عرضی که معمولاً در فواصل ۶ تا ۱۰ متری و درزهای انبساطی که در فواصل ۳۰ تا ۴۰ متری قرار داده می شود، می تواند این هماهنگی در تغییر شکل را فراهم نماید.

ناگفته نماند که بروز خرابی های جدی بر مجاری زیرزمینی در ناحیه ای که گسل فعالی را قطع می نمایند، بسیار جدی و تقریباً غیرقابل اجتناب است. آئین نامه زلزله آشتو و آئین نامه طرح پلهای شوسه و راه آهن در برابر زلزله (نشریه شماره ۲۳۵ مرکز تحقیقات ساختمان و مسکن) تصریح دارد که لزومی به مطالعه مجاری زیرزمینی تحت نیروهای زلزله نیست.

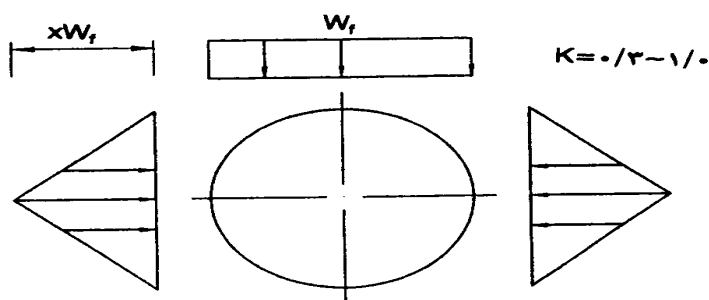
### ۴-۵ توزیع فشارهای قائم و جانبی روی مجاری زیرزمینی

آئین نامه ها و دستورالعملهای کشورهای مختلف با هدف انطباق با اندازه گیریهای واقعی، ایمنی، و ایجاد سهولت در طراحی، نمودارهای برای توزیع بار قائم و فشار جانبی ارائه می نمایند. در این قسمت به بررسی و مقایسه این نمودارها مبادرت می گردد.

با یک بررسی اجمالی می توان شباهتها و نقاط مشترکی در این نمودارها مشاهده کرد.

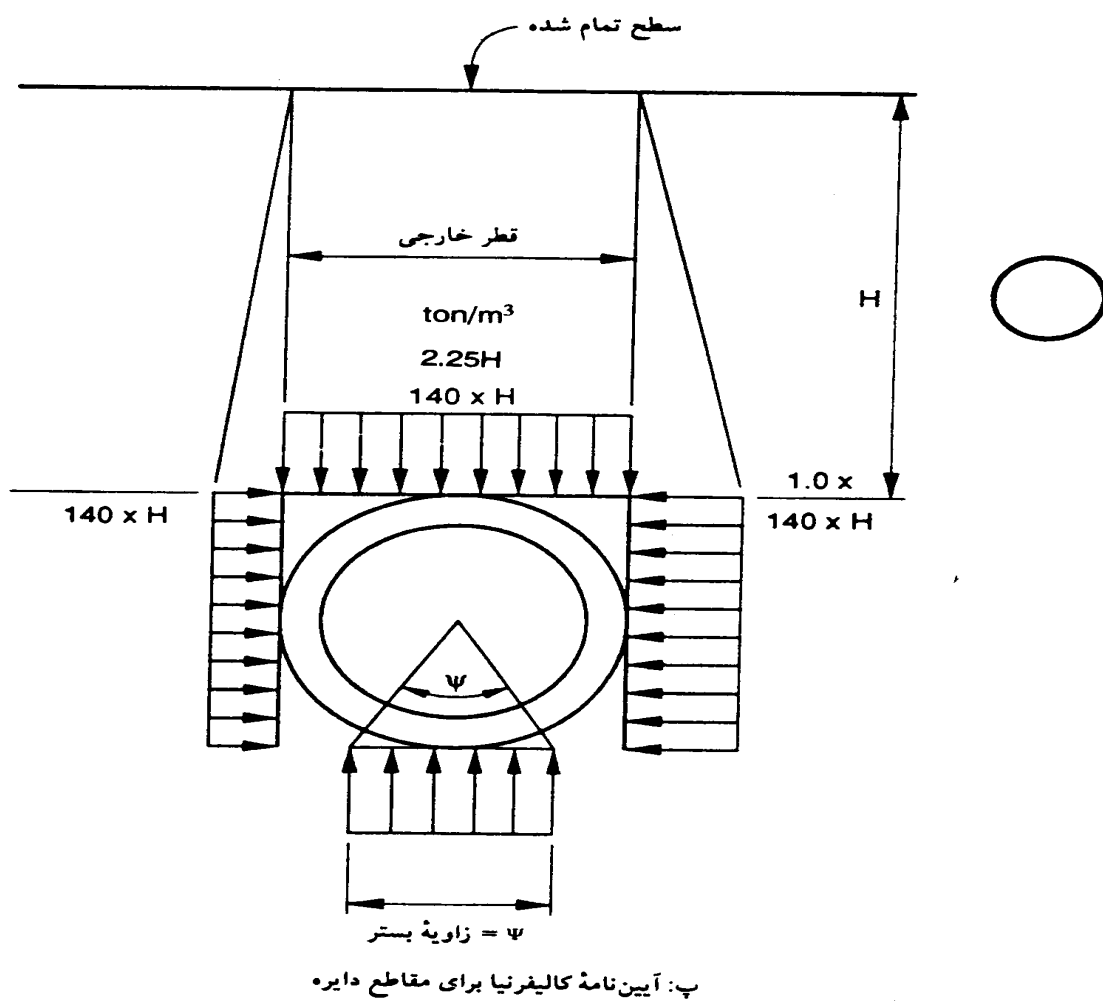


الف: دستورالعملهای USBR برای مقاطع دایره



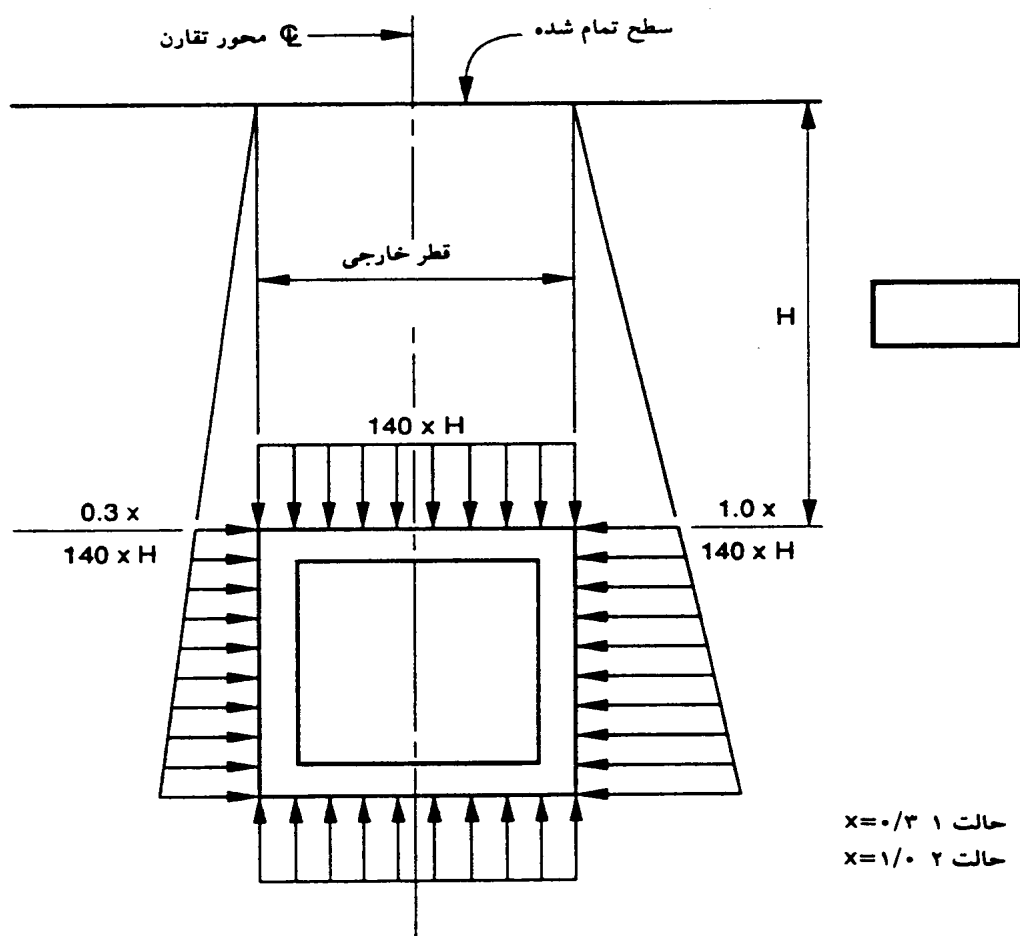
ب: آئین نامه هندوستان برای مقاطع دایره

شکل ۳-۵ نمودارهای توزیع فشار قائم و افقی



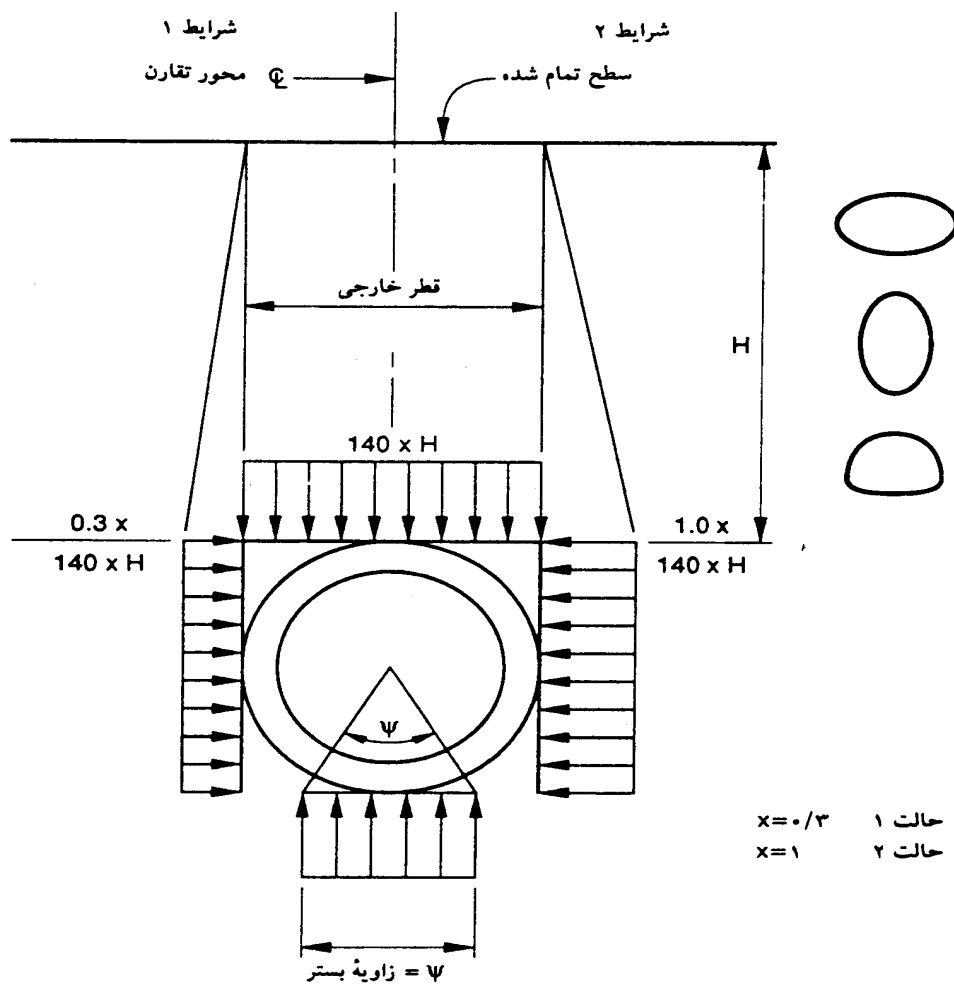
شکل ۳-۵ دنباله





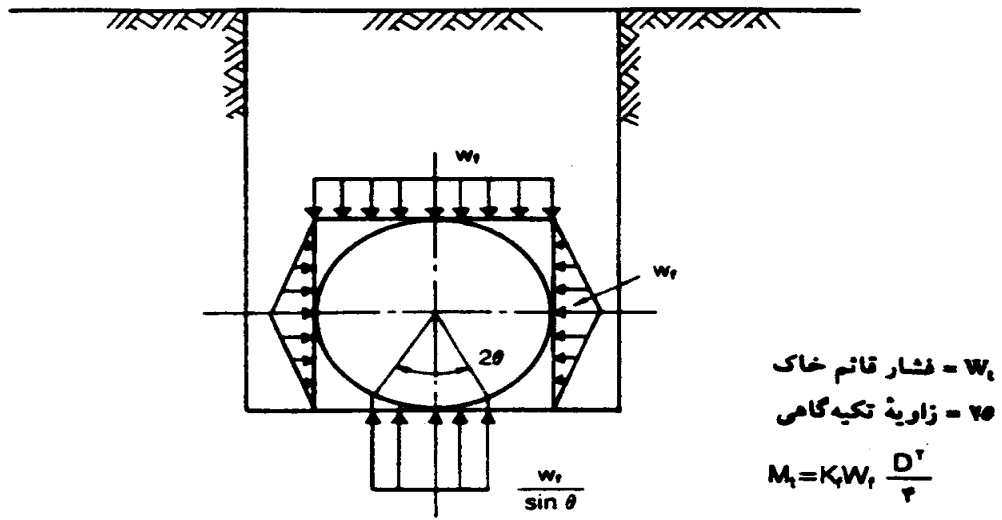
ت: آیین‌نامه کالیفرنیا برای مقاطع جعبه‌ای

شکل ۳-۵ دنباله



ث: آیین نامه کالیفرنیا برای مقاطع بیضی و تخم مرغی

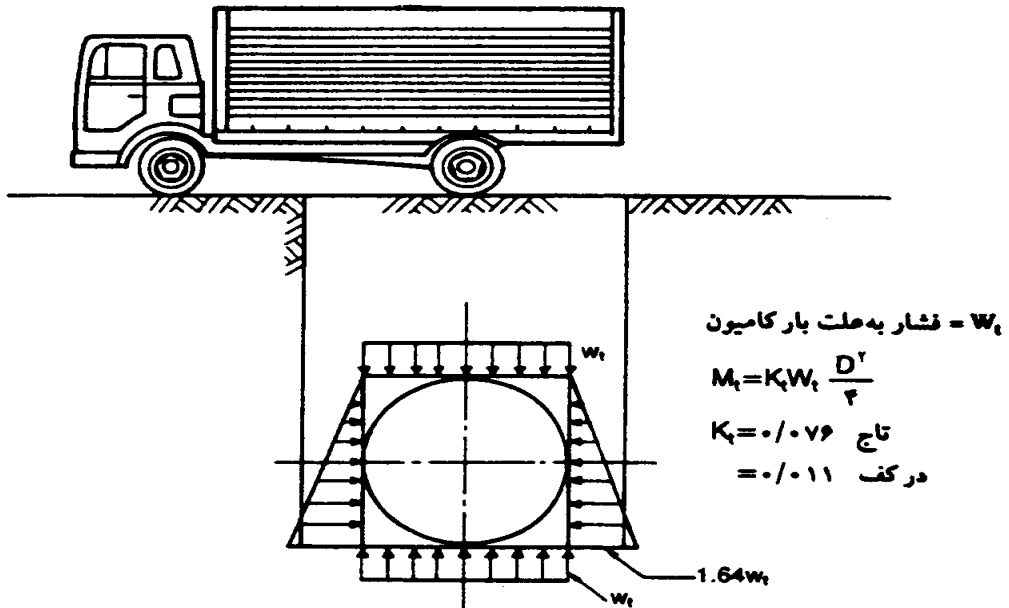
شکل ۳-۵ دنباله



مقادیر  $K_1$

زاویه تکیه گامی $20^\circ$	۶۰	۹۰	۱۲۰
در تاج لوله	۰/۱۳۲	۰/۱۲۰	۰/۱۰۸
در کف لوله	۰/۲۲۳	۰/۱۶۰	۰/۱۲۲

ج: دستورالعمل ژاپن



ج: دستورالعمل ژاپن

شکل ۳-۵ دنباله

## ۵-۵ طراحی مجاری بتن مسلح

### ۵-۵-۱ کلیات

در ارائه مطالب این قسمت فرض بر این است که استفاده کننده با طراحی سازه‌های بتن مسلح آشنایی کامل دارد. مطالب ارائه شده در این قسمت دستورالعمل ویژه سازه‌های مجاری آب بر است. تمام دستورالعمل‌های آئین‌نامه بتن ایران برای طراحی سازه‌های مجاری آب بر معتبر هستند مگر اینکه شرایط خاص مطرح باشد.

### ۵-۵-۲ ضرایب بار

طبق آئین‌نامه بتن ایران بار زنده  $1/5$  و ضریب بار مرده  $1/25$  است. در جدول ۵-۲ تفکیک بارهای وارد بر مجاری زیرزمینی برحسب بار زنده و مرده ارائه شده است.

جدول ۵-۲ تفکیک بارهای وارد بر مجاری بتنی زیرزمینی

بارهایی که ضریب بار زنده بر آنها اعمال می‌شود	بارهایی که ضریب بار مرده بر آنها اعمال می‌شود
۱- فشار قائم به علت وزن خاک و بار زنده	۱- وزن مجرا
۲- فشار داخلی در حالت استاتیک	۲- فشار جانبی خاک در حالت محرک
۳- فشار جانبی خاک در حالت سکون	۳- فشار آب زیرزمینی
	۴- فشار داخلی در حالت ضربه

### ۵-۵-۳ شرایط محیطی

مجاری آب بر زیرزمینی در داخل خاک قرار دارند و از آنها برای مقاصد مختلف استفاده می‌شود، به این ترتیب می‌توانند تحت شرایط مختلف از نظر خوردندگی قرار داشته باشند. در این دستورالعمل برای طراحی مجاری بتن مسلح، سه نوع شرایط محیطی در نظر گرفته می‌شود. این شرایط محیطی عبارت‌اند از:

شرایط محیطی A: شرایط محیطی با خوردندگی شدید یا لوله‌های تحت فشار با فشار داخلی بزرگتر از

۲۵ متر ارتفاع آب

شرایط محیطی B: شرایط محیطی با خوردندگی متوسط یا لوله‌های تحت فشار با فشار داخلی کوچکتر یا

مساوی ۲۵ متر ارتفاع آب

شرایط محیطی C: شرایط محیطی معمولی

شرایط محیطی C، همان شرایط معمولی هوای آزاد با رطوبت نسبی متوسط است. شرایطی که اجزای سازه در تماس دائم با آب قرار داشته باشند، شرایط محیطی B است. شرایط بسیار خورنده مانند مجاری انتقال فاضلاب و یا اجزایی که تحت شرایط متناوب، تر و خشک شدن و یا حملات شیمیایی مضر قرار دارند، شرایط محیطی A به حساب می‌آیند.

۴-۵-۵ حداکثر عرض ترک برای شرایط محیطی مختلف

در جدول ۳-۵ حداکثر عرض ترک برای شرایط محیطی گوناگون ارائه شده است:

جدول ۳-۵ حداکثر عرض ترک برای شرایط محیطی گوناگون

شرایط محیطی	حداکثر عرض ترک (میلیمتر)
A	۰/۱۵
B	۰/۲۵
C	۰/۳۵

۵-۵-۵ حداقل پوشش بتن روی میلگردها

حداقل پوشش بتن روی میلگردها برای شرایط محیطی مختلف در جدول ۴-۵ ارائه شده است:

جدول ۴-۵ حداقل پوشش بتنی روی میلگردها برای شرایط محیطی مختلف

شرایط محیطی	حداقل پوشش بتن (میلیمتر)
A	۴۰
B	۳۰
C	۲۵

۶-۵-۵ حداکثر نسبت آب به سیمان برای ساخت بتن در شرایط محیطی مختلف

نیاز به بتن متراکم در محیطهای خورنده ایجاب می نماید که نسبت آب به سیمان بتن مصرفی از مقادیر مندرج در جدول ۵-۵ تجاوز ننماید.

جدول ۵-۵ حداکثر نسبت وزنی آب به سیمان بتن برای شرایط محیطی مختلف

شرایط محیطی	حداکثر نسبت وزنی آب به سیمان
A	۰/۴
B	۰/۵
C	۰/۵۵

### ۷-۵-۵ طراحی در حالت حدی نهایی

طبق آئین نامه بتن ایران، طراحی اعضای بتن مسلح در حالت حدی نهایی انجام و سپس برای شرایط بهره برداری، بخصوص برای عرض ترک، کنترل می شود.

طراحی برای برش

طراحی برای برش طبق مفاد بخشهای ۱۲-۱ تا ۱۲-۷ آئین نامه بتن ایران انجام می شود.

طراحی برای کشش خالص

سطح مقطع فولاد کششی از رابطه زیر به دست می آید.

$$A_s = \frac{T_u}{\phi_s F_y} \quad (3-5)$$

$A_s$  به دست آمده می تواند در یک یا دو لایه در مقطع قرار داده شود. در لوله های بتن مسلح با هسته فولادی، سطح مقطع مورد نیاز به وسیله ترکیبی از استوانه فولادی و آرماتورهای حلقوی تأمین می شود. سطح مقطع آرماتورهای حلقوی نباید از ۴۰ درصد سطح مقطع کل آرماتورهای کمتر باشد.

طراحی برای خمش خالص

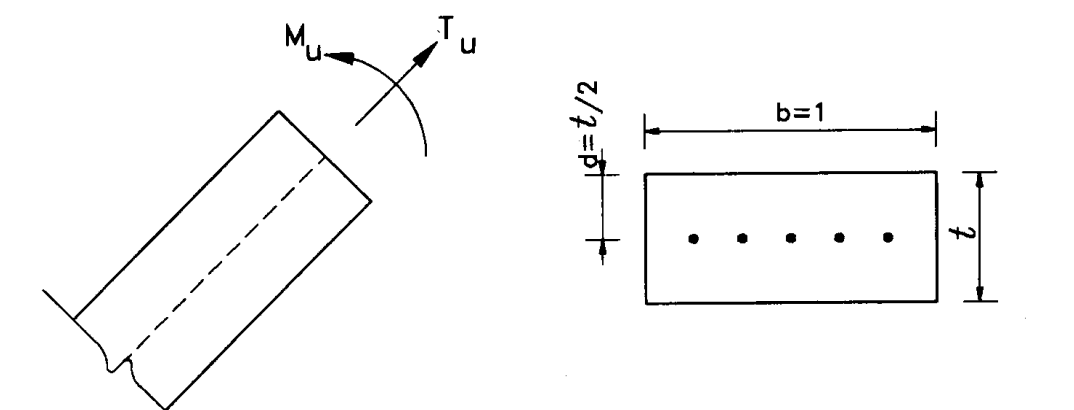
در این حالت سطح مقطع فولادهای کششی از رابطه زیر به دست می آید:

$$A_s = \frac{M_u}{\phi_s F_y (Jd)} \quad (4-5)$$

طراحی برای اثر توأم کشش محوری و لنگر خمشی

الف - در صورتی که یک لایه میلگرد در وسط مقطع تعبیه شده باشد.

در شکل ۴-۵ مقطعی به عرض واحد تحت تأثیر لنگر خمشی ضریبدار  $M_u$  و نیروی کششی ضریبدار  $T_u$  با یک لایه میلگرد میانی نشان داده شده است:



شکل ۵-۴

در این حالت سطح مقطع فولاد کششی را می‌توان از رابطه تقریبی زیر تعیین نمود:

$$A_s = \frac{T_u}{\phi_s F_y} + \frac{M_u}{\phi_s F_y (Jd)} \quad (5-5)$$

در برون محورهای بزرگ ( $e = M_u / T_u$ ) که لنگر خمشی بر نیروی کششی غلبه دارد، تنش فشاری باید در وجه فشاری مقطع به کمک یک روش منطقی کنترل گردد.

ب - در صورتی که دو لایه میلگرد در مقطع تعبیه شده باشد:

حالت ۱- برون محوری کوچک

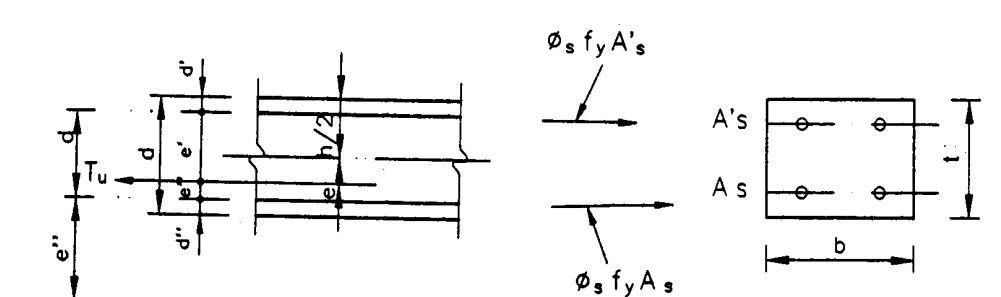
$$e \leq h/2 - d''$$

سطح مقطع فولادها برای واحد عرض، طبق روابط زیر محاسبه می‌شوند:

$$A_s = \frac{T_u e'}{\phi_s F_y (d - d')} \quad (\text{فولادهای نزدیک به نیرو}) \quad (6-5)$$

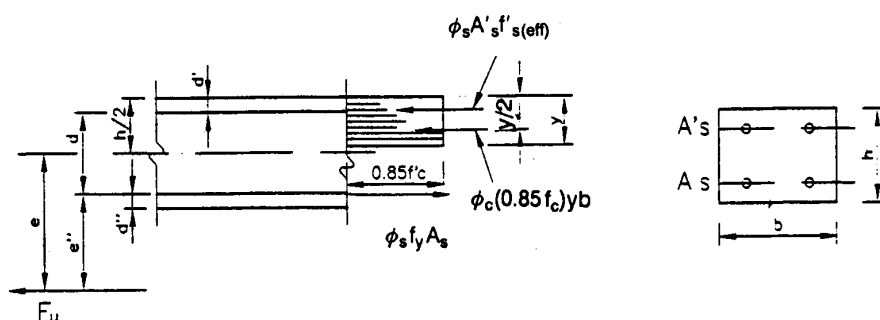
$$A'_s = \frac{T_u e''}{\phi_s F_y (d - d')} \quad (\text{فولادهای دور از نیرو}) \quad (7-5)$$

هر دو فولاد  $A'_s, A_s$  تحت کشش هستند.



شکل ۵-۵ الف

حالت ۲- برون محوری بزرگ "  $e > h/2 - d''$



شکل ۵-۵ ب

گام ۱- مقدار حدی  $\gamma_e$  برحسب نوع فولاد و نوع بتن از جدول زیر محاسبه می گردد.

جدول ۵-۶ مقادیر حدی  $\gamma_t/d$

مقاومت مشخصه بتن $f_c$ (N/mm <sup>2</sup> )	تنش جاری شدن فولاد N/mm				
	۲۴۰	۲۸۰	۳۰۰	۳۵۰	۴۲۰
۳۰	۰/۴۲۵	۰/۴۳۶	۰/۴۲۷	۰/۴۰۵	۰/۳۷۸
۳۵	۰/۴۲۶	۰/۴۱۱	۰/۴۰۲	۰/۳۸۱	۰/۳۵۵
۴۲	۰/۴۰۰	۰/۳۸۶	۰/۳۷۸	۰/۳۵۷	۰/۳۳۳

گام ۲- با فرض احتیاج به فولاد فشاری تنش مؤثر فشاری،  $(f_s)_{eff}$  از رابطه زیر محاسبه می گردد:

$$(f'_s)_{eff} = \rho_s \left[ \frac{y_1 - \beta d'}{y_1} \right] - 0.185 f_c \quad (۸-۵)$$

که نباید مقدار آن از  $0.185 f_e$  بزرگتر شود.



اگر رابطه فوق برای  $f'_s$  مقدار منفی به دست آید، باید چنین نتیجه گرفت که فولاد فشاری در جایی قرار دارد که وجودش بی تأثیر است. در چنین حالتی اگر مقطع با فولاد کششی تنها جوابگو نباشد، یا باید  $d$  افزایش یابد و یا  $A'_s$  به جایی منتقل گردد که مؤثر باشد.

اگر مقدار  $F'_s$  به دست آمده از رابطه مثبت باشد، در این صورت سطح مقطع فولاد فشاری از رابطه زیر محاسبه می‌گردد:

$$A'_s = \frac{T_u(e'') - 0.85 \phi_c f_c b y_1 (d - 0.5 y_1)}{\phi_s (f'_s)_{\text{eff}} (d - d')} \quad (9-5)$$

(رابطه فوق از نوشتن تعادل لنگرها نسبت به فولاد کششی به دست می‌آید)

گام ۳ - اگر مقدار  $A'_s$  به دست آمده از رابطه فوق مثبت باشد، در این صورت مقطع به فولاد فشاری احتیاج دارد و فولاد کششی نیز از رابطه زیر به دست می‌آید:

$$A_s = \frac{T_u + 0.85 \phi_c f_c b y_1 + A'_s (\phi_s f'_s)_{\text{eff}}}{\phi_s F_y} \quad (10-5)$$

(رابطه فوق از نوشتن تعادل نیروها در امتداد  $x$  به دست می‌آید.)

گام ۴- اگر در رابطه فوق برای  $A'_s$  مقدار منفی به دست آید، در این صورت به فولاد فشاری احتیاج نیست. در این حالت صرفنظر از اینکه طراح بخواهد به طور اختیاری فولادی در سمت فشاری تعبیه کند یا نه، مقطع بدون در نظر گرفتن هر گونه فولاد فشاری، با فولاد کششی تنها، طراحی می‌شود. در این حالت، سطح مقطع فولاد کششی تنها برابر است با:

$$A_s = \frac{T_u + 0.85 \phi_c f_c b y}{\phi_s F_y} \quad (11-5)$$

که در آن

$$y \approx d - \sqrt{d^2 - \frac{2 T_u e''}{0.85 \phi_c f_c b}} \quad (12-5)$$

در صورت عدم استفاده از روش دقیق، می‌توان از روش تقریبی زیر که جوابهای قابل قبولی نتیجه می‌دهد، استفاده نمود. در این روش سطح مقطع فولاد کششی برای لنگر خمشی از رابطه ۵-۴ و سطح مقطع فولاد کششی برای نیروی محوری کششی از رابطه ۵-۳ محاسبه می‌شود. سطح مقطع فولاد به دست آمده برای نیروی کششی نصف شده و در یک طرف با فولاد خمشی جمع و در طرف دیگر به صورت تنها قرار داده می‌شود. حداقل میلگرد کششی  $bd$  ۰/۰۲ است.

اثر مشترک نیروی محوری فشاری و لنگر خمشی

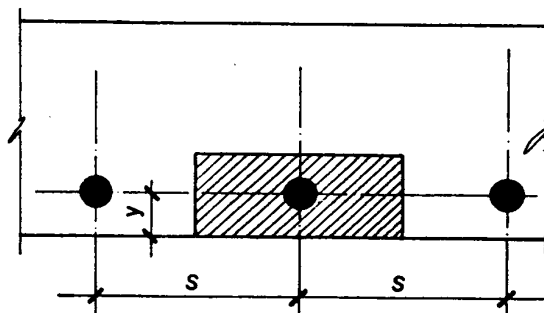
برای این حالت می توان از نمودارهای اندرکنش نیروی محوری و لنگر خمشی که در بتن مسلح معمولی به کار گرفته می شود، استفاده کرد. در صورتی که مقدار نیروی محوری فشاری ضریبدار کوچکتر از  $0.1f_c' A_g$  گردد، در جهت اطمینان می توان از اثر آن صرف نظر کرد. در این عبارت  $A_g$  مساحت کل مقطع است.

#### ۸-۵-۵ کنترل عرض ترک و تنش کششی در بتن

در طراحی به روش مقاومت نهایی، پس از تعیین سطح مقطع و فواصل میلگردها، باید عرض ترک تحت بارهای بهره برداری کنترل گردد. میزان عرض ترک بستگی به تنش فولاد، فواصل و قطر میلگردهای مصرفی دارد. طبق آئین نامه بتن ایران در اعضای کششی، خمشی، و کششی - خمشی، مقدار عرض ترک از رابطه زیر محاسبه می شود:

$$W = 13 \times 10^{-6} f_s \sqrt{r y} s \quad (13-5)$$

مقدار  $W$  محاسبه شده از رابطه ۱۳-۵ باید از مقادیر توصیه شده در جدول ۳-۵ کمتر باشد.



شکل ۶-۵

در مجاری تحت کشش حلقوی، باید تنش کششی بتن طبق رابطه زیر کنترل گردد:

$$f_{ct} = \frac{T}{1000 t} \leq 0.45 \sqrt{f_c} \quad (14-5)$$

در این رابطه حداقل  $t$  مساوی  $\frac{D}{12}$  میلیمتر توصیه می شود که  $D$  قطر اسمی لوله می باشد.

#### ۹-۵-۵ درزها

مجاری آب بر زیرزمینی پیش ساخته معمولاً به علت محدودیتهای ساخت و حمل و نقل در طولهای محدودی ساخته شده و در محل با اتصالات خاصی به صورت یکسره در می آیند. جزئیات این اتصالات در مباحث بعد مورد بررسی کامل قرار خواهد گرفت. اما در مجاری زیرزمینی ساخته شده با بتن درجا برحسب شرایط اجرایی و یا کنترل تغییرات درجه حرارت، ممکن است درزهای زیر مورد استفاده قرار گیرد:

۱- درزهای اجرایی

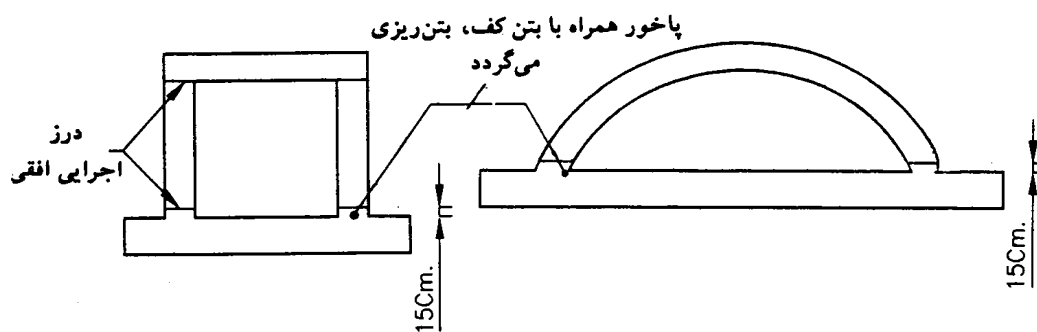
۲- درزهای انقباضی

۳- درزهای انبساطی

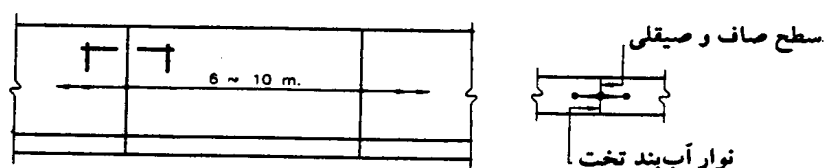
درزهای اجرایی، درزهایی هستند که وجودشان برحسب مقتضیات اجرایی تعیین می‌گردد. در درزهای اجرایی فقط بتن قطع شده و میلگردها ادامه می‌یابند. برای حفظ پیوستگی کامل، سطح بتن قدیم در محل درز طوری زبر می‌گردد که بتن قدیم چسبندگی خوبی با بتن جدید داشته باشد. درزهای اجرایی معمولاً به درزهای افقی و قائم تقسیم می‌شوند (شکل ۵-۷). مطابق شکل، تعبیه درزهای افقی در پایین و بالای دیوار مجاری جعبه‌ای و پای مجاری قوسی معمول است.

در درزهای اجرایی افقی سعی در ایجاد چسبندگی کافی بین بتن قدیم و جدید بوده و در آن از نوار آییند استفاده نمی‌شود.

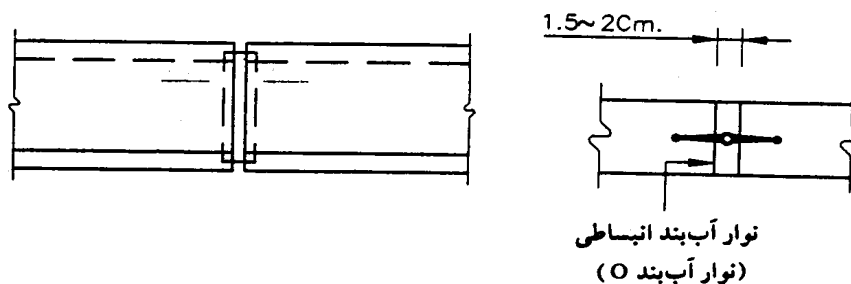
درزهای اجرایی قائم برحسب شرایط اجرایی بتن و قالب، معمولاً در فواصل ۶ تا ۱۰ متری در امتداد مسیر تعبیه می‌گردند (شکل ۵-۷ ب). در این درزها نیز فقط بتن قطع شده و میلگردها ادامه پیدا می‌کنند. درزهای اجرایی قائم می‌توانند دارای نقش کنترل تغییر طولهای حرارتی باشند و در اغلب موارد نقش درز انقباضی نیز به آنها داده می‌شود. در درز انقباضی میلگردها ممتد هستند، لیکن با قالب‌بندی درز سعی می‌شود که سطح صافی برای درز به وجود آید تا چسبندگی ضعیفی بین بتن قدیم و جدید برقرار گردد. در این حالت درز می‌تواند مقداری از حرکات و تغییر طولهای حرارتی را تأمین نماید. در این درزها، استفاده از نوار آییند ضروری است و فواصل درزها معمولاً بین ۶ تا ۱۰ متر انتخاب می‌شود.



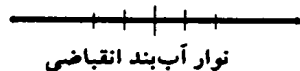
درز اجرایی افقی در آبروهای قوسی      درز اجرایی افقی در آبروهای جمع‌بای  
(الف) درز اجرایی افقی



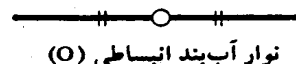
(ب) درز اجرایی قائم و یا درز انقباضی طولی



(پ) درز انبساطی



نوار آب‌بند انقباضی



نوار آب‌بند انبساطی (O)

(ت) نوارهای آب‌بند

شکل ۵-۷ انواع درزها در مجاری آب‌بر زیرزمینی

درز انبساطی درزی قائم عمود بر محور طولی مجاری زیرزمینی است، که در آن بتن و میلگرد هر دو قطع می‌شوند و بین بتن قدیم و جدید فاصله‌ای در حدود  $1/5$  تا  $2$  سانتیمتر ایجاد می‌شود، با توجه به تغییرات حرارتی کم در مجاری زیرزمینی، عده‌ای از طراحان وجود درزهای انقباضی را کافی دانسته و تعبیه درزهای انبساطی را لازم نمی‌دانند. این مسأله بخصوص در مجاری زیرزمینی تحت فشار که در آن نگرانی پارگی نوار آب‌بند در محل درز انبساط وجود دارد، اهمیت بیشتری پیدا می‌کند.

در صورت استفاده، فواصل درزهای انبساطی بین ۳۰ تا ۴۰ متر توصیه می‌شود. تعبیه درزهای انبساطی بر رفتار طولی مجاری زیرزمینی تأثیر سازه‌ای دارد و از خمش طولی آنها جلوگیری می‌نماید.

### ۵-۱۰ میلگردهای حرارتی

میلگردهای طولی مجاری زیرزمینی بتنی معمولاً نقش سازه‌ای ندارد و مقادیر آنها بر مبنای احتیاجات کنترل عرض ترک به علت تغییر طولهای حرارتی انتخاب می‌گردد. مقدار میلگردهای طولی تابعی از نوع و فواصل درزها و نوع میلگرد مصرفی است. در جدول ۷-۵ مقادیر حداقل توصیه شده برای میلگردهای طولی ارائه شده است.

### ۵-۶ روابطی برای تحلیل مجاری زیرزمینی تحت اثر بارهای خارجی

درجه نامعینی سازه مجاری زیرزمینی به صورت قاب یا حلقه بسته، حداقل سه است. اگر آبروهای جعبه‌ای که تحلیل آنها به کمک توزیع لنگر امکانپذیر است، مستثنی شوند، تحلیل مقاطعی به صورت دایره بیضی و یا نعل اسبی با استفاده از اصول کلاسیک تحلیل سازه‌ها، کار پر زحمتی است. در گذشته که دستیابی به برنامه‌های تحلیل کامپیوتری سازه‌ها به سهولت امروز نبود، غالباً مراجع ذی‌صلاح جداول، منحنیها و روابطی برای تحلیل مجاری زیرزمینی و تعیین نیروهای داخلی آنها ارائه می‌نمودند که سهولت و سرعت قابل توجهی در تحلیل به وجود می‌آوردند. امروزه با توجه به سهولت دسترسی به برنامه‌های کامپیوتری تحلیل سازه‌ها، از اهمیت وجودی چنین جداولی کاسته شده است، لیکن هنوز هم این جداول و نمودارها می‌توانند برای تعیین اعداد و ارقام اولیه و کنترل نتایج حاصل از تحلیل اولیه مورد استفاده قرار گیرند. در ادامه تعدادی از روابط و جداول مفید موجود برای مجاری جعبه‌ای دایروی ارائه می‌گردد.

جدول ۷-۵ حداقل درصد فولاد حرارتی

شرح	نوع فولاد		
	$F_y=240\text{N/mm}^2$ ساده	$F_y=300\text{N/mm}^2$ آجدار	$F_y=400\text{N/mm}^2$ آجدار
در هر ۷/۵ متر یک درز انقباضی	٪۰/۴۵	٪۰/۴۰	٪۰/۳۰
در هر ۷/۵ متر یک درز انبساط	٪۰/۳۷۵	٪۰/۳۰	٪۰/۲

توجه: در صورتی که ضخامت جدار مجرای زیرزمینی از ۵۰ سانتی متر تجاوز نماید، از هر سمت وجوه داخلی و خارجی، ضخامتی مساوی ۲۵ سانتی متر به عنوان ضخامت مؤثر برای محاسبه میلگردهای حداقل در نظر گرفته می شود.

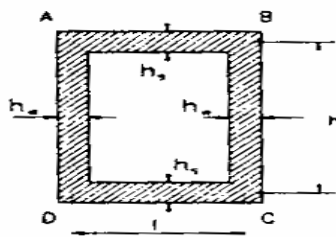
### ۶-۵-۱ روابطی برای تحلیل مجاری زیرزمینی جعبه ای

در جدول ۵-۸ روابطی برای تحلیل مجاری جعبه ای مربع مستطیل تحت اثر بارهای مختلف ارائه شده است. با توجه به اینکه تحلیل مقاطع جعبه ای تحت اثر بارهای متقارن به وسیله روش توزیع لنگر به سادگی امکان پذیر است، رغبت کمتری به استفاده از این نوع جداول وجود دارد و غالباً تحلیل مستقیم آنها سهلتر است.

### ۶-۵-۲ تحلیل مقاطع دایره

شکل ۵-۸ نشان دهنده توزیع واقعی فشار خاک و واکنش کف لوله است که طی تجربیات آزمایشگاهی مارستون در دانشگاه آیوا به دست آمده است.

جدول ۵-۸ ضوابطی برای تحلیل مجاری جعبه ای



$$K = \frac{h}{l} \left( \frac{h_s}{h_m} \right)^2$$

$$K_1 = K + 1$$

$$K_2 = K + 2$$

$$K_3 = K + 3$$

$$K_4 = 4K + 9$$

$$K_5 = 2K + 3$$

$$K_6 = K + 6$$

$$K_7 = 2K + 7$$

$$K_8 = 3K + 8$$

توضیحات:

۱- نیروهای خارجی برای واحد عرض

هستند. داریم:

$$MA=MB \text{ و } MC=MD$$

۲- فشارها بر واحد سطح اند.

۳- F و G نیروهای کل بر واحد طول آبرو هستند.

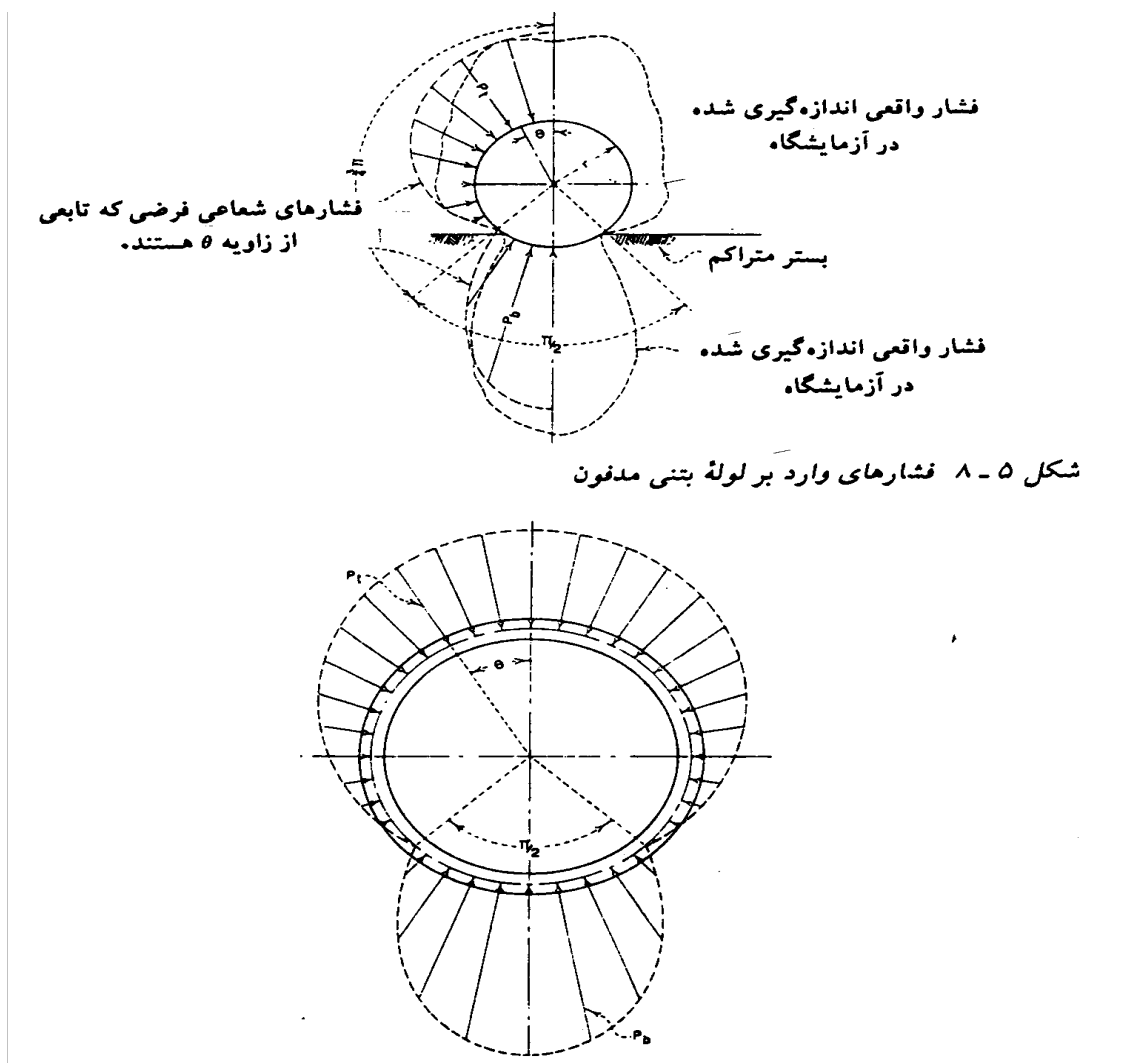
۴- h و I بین مراکز دیوار و دال اندازه گیری می شوند.

$$q_1 = \text{فشار منتقله به زمین}$$

حالات بارگذاری	
مجرای جمع‌بای روی خاک با قابلیت فشردگی زیاد	مجرای جمع‌بای روی خاک با قابلیت فشردگی کم
<p>بار متمرکز در سقف</p> <p><math>q_1 = \frac{F}{1-h}</math></p> $M_A = -\frac{FK_4}{24KK_3}$ $M_E = \frac{K_6}{K_4} M_A$	$M_A = -\frac{F1}{4K_2}$ $M_E = -\frac{M_A}{2}$
<p>بار یکنواخت در سقف</p> <p><math>q_1 = q</math></p> $M_A = -\frac{q1^2}{12K_1}$ $M_E = -\frac{M_A}{2}$	$M_A = -\frac{q1^2}{6K_2}$ $M_E = -\frac{M_A}{2}$
<p>وزن دیوار</p> <p><math>q_1 = \frac{2G}{1-h}</math></p> $M_A = +\frac{q_1^2 K}{12KK_3}$ $M_E = -\frac{K_6}{K} M_A$	$M_A = M_E = 0$
<p>فشار خاک</p> $M_A = -\frac{q_o h^2 KK_4}{60KK_3}$ $M_E = \frac{K_6}{K_7} M_A$	$M_A = -\frac{q_o h^2 K}{30K_2}$ $M_E = \frac{K_6}{2K} M_A$
<p>فشار خاک سربار</p> $M_A = -\frac{q_o h^2 K}{12K_2}$ $M_E = \frac{K_6}{K} M_A$	$M_A = -\frac{q_o h^2 K}{12K_2}$ $M_E = \frac{K_6}{K} M_A$
<p>فشار داخلی هیدرواستاتیک</p> <p><math>q_1 = q_2 = q_o</math></p> $M_A = +\frac{q_o h^2 KK_4}{60KK_3}$ $M_E = \frac{K_6}{K_7} M_A$	$M_A = +\frac{q_o h^2 K}{30K_2}$ $M_E = \frac{K_6}{2K} M_A$
<p>فشار داخلی یکنواخت</p> <p><math>q_1 = q_2 = q_o</math></p> $M_A = +\frac{q_o (h^2 KK_4 + 1^2 K_4)}{12KK_3}$ $M_E = +\frac{q_o K (h^2 K_3 - 1^2)}{12KK_3}$	$M_A = +\frac{q_o (h^2 K + 21^2)}{12K_2}$ $M_E = +\frac{q_o (h^2 K_3 - 1^2)}{12K_2}$

فشارهای واقعی اندازه‌گیری شده را می‌توان مطابق شکل ۵-۹ برای مقاصد تحلیل به صورت ایده‌آل در آورد که در آن هم فشار فوقانی و هم واکنش تحتانی تابعی از زاویه مرکزی  $\theta$  هستند. در شکل نشان داده شده زاویه

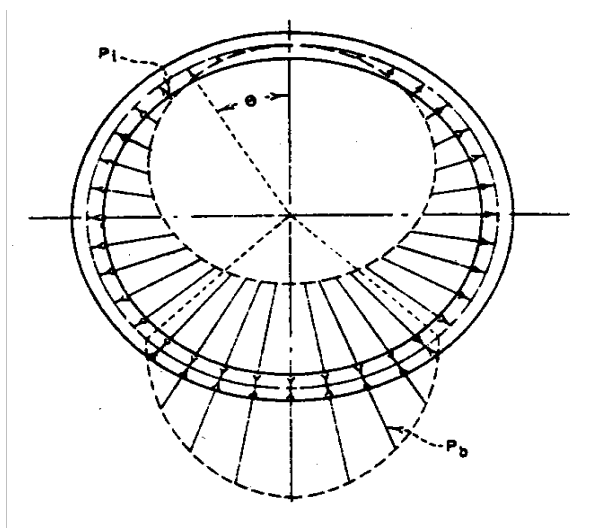
مرکزی واکنش کف مساوی  $\frac{\pi}{2}$  انتخاب شده است.



شکل ۵-۹ توزیع فشار ایده آل در اطراف لوله با زاویه مرکزی واکنش کف مساوی  $\frac{\pi}{2}$

علاوه بر بار ناشی از خاک فوقانی و واکنش کف، فشار دیگری که دارای تغییرات شعاعی در داخل لوله است، فشار ناشی از آب تحت فشار درون لوله است. برای ایجاد سهولت در طراحی، فشار هیدروستاتیک به دو قسمت تقسیم می شود. (الف) فشاری که باعث فشار داخلی یکنواخت در داخل لوله می شود و ارتفاع (بار) مربوط به آن از خط گرادیان هیدرولیکی تا تاج داخلی لوله است. (ب) باقیمانده فشار که ارتفاع (بار) مربوط به آن از تاج تا کف داخلی لوله اندازه گیری می شود. در شکل ۵-۱۰، توزیع فشار داخلی ناشی از فشار قسمت ب نشان داده شده است.



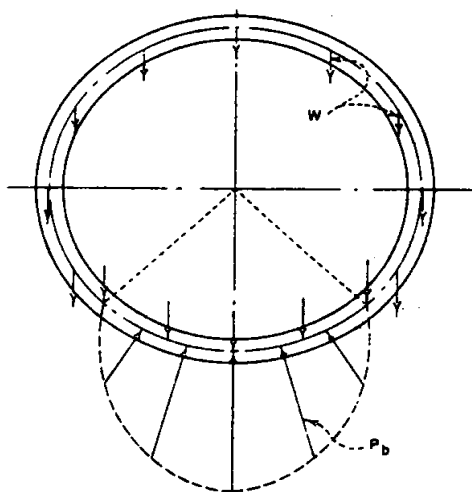


شکل ۱۰-۵ توزیع فرضی برای فشار قسمت دوم ناشی از آب

قسمت اول فشار که توزیع آن در محیط، یکنواخت فرض می‌شود، فقط ایجاد کشش حلقوی می‌نماید که مقدار آن  $T = \gamma Hr$  است که در آن کشش حلقوی،  $\gamma$  وزن مخصوص آب  $H$  ارتفاع آب از گرادیان هیدرولیکی تا تاج داخلی لوله و  $r$  شعاع میان‌تار لوله است.

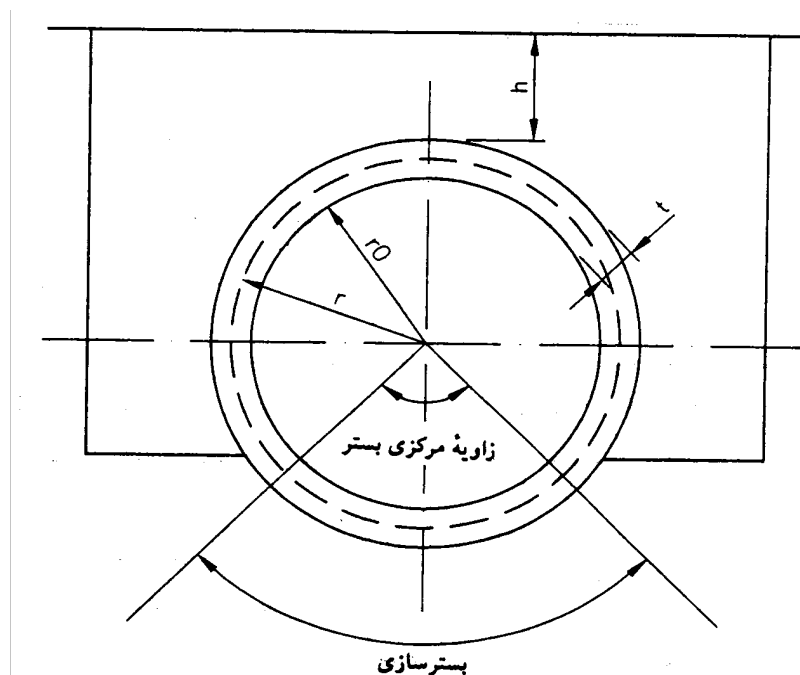
فشار قسمت ب همانند فشار خاک، در مقطع جدار ایجاد نیروی محوری، نیروی برشی و لنگر خمشی می‌نماید.

نیروی سومی که بر لوله وارد می‌شود، نیروی ناشی از وزن لوله و فشار کف است که نمودار آنها در شکل ۱۱-۵ نشان داده شده است.



شکل ۱۱-۵ نیروی وزن لوله و واکنش کف ناشی از آن

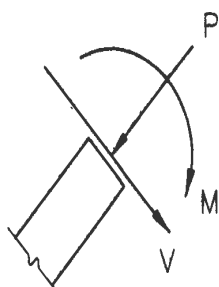
شکل ۱۲-۵ نشان‌دهنده قسمتی از پارامترهای مورد استفاده در روابط یاد شده در این قسمت است.



شکل ۱۲-۵

نتایج تحلیل برای زاویه تکیه‌گاهی  $\frac{\pi}{2}$

نتایج تحلیل برای زاویه تکیه‌گاهی  $\frac{\pi}{3}$  (۹۰ درجه) در جدول ۹-۵ درج و نتایج به صورت نمودارهایی در شکل ۱۴-۵ نشان داده شده است. در این روابط لنگر خمشی وقتی مثبت است که در تار خارجی ایجاد کشش نماید. نیروی محوری نیز وقتی مثبت است که فشاری باشد. در نمودار شکل ۱۵-۵، مقادیر نیروهای داخلی برای زوایای  $\pi, \frac{2}{3}\pi, \frac{\pi}{2}, \frac{\pi}{4}$  ارائه شده است.



شکل ۱۳-۵ نیروهای داخلی در جهت مثبت نشان داده شده‌اند

توجه: کشش حلقوی ناشی از فشار داخلی آب (قسمت الف) باید به طور جداگانه حساب شده و به نیروی  $M, V, P$  اضافه شود.

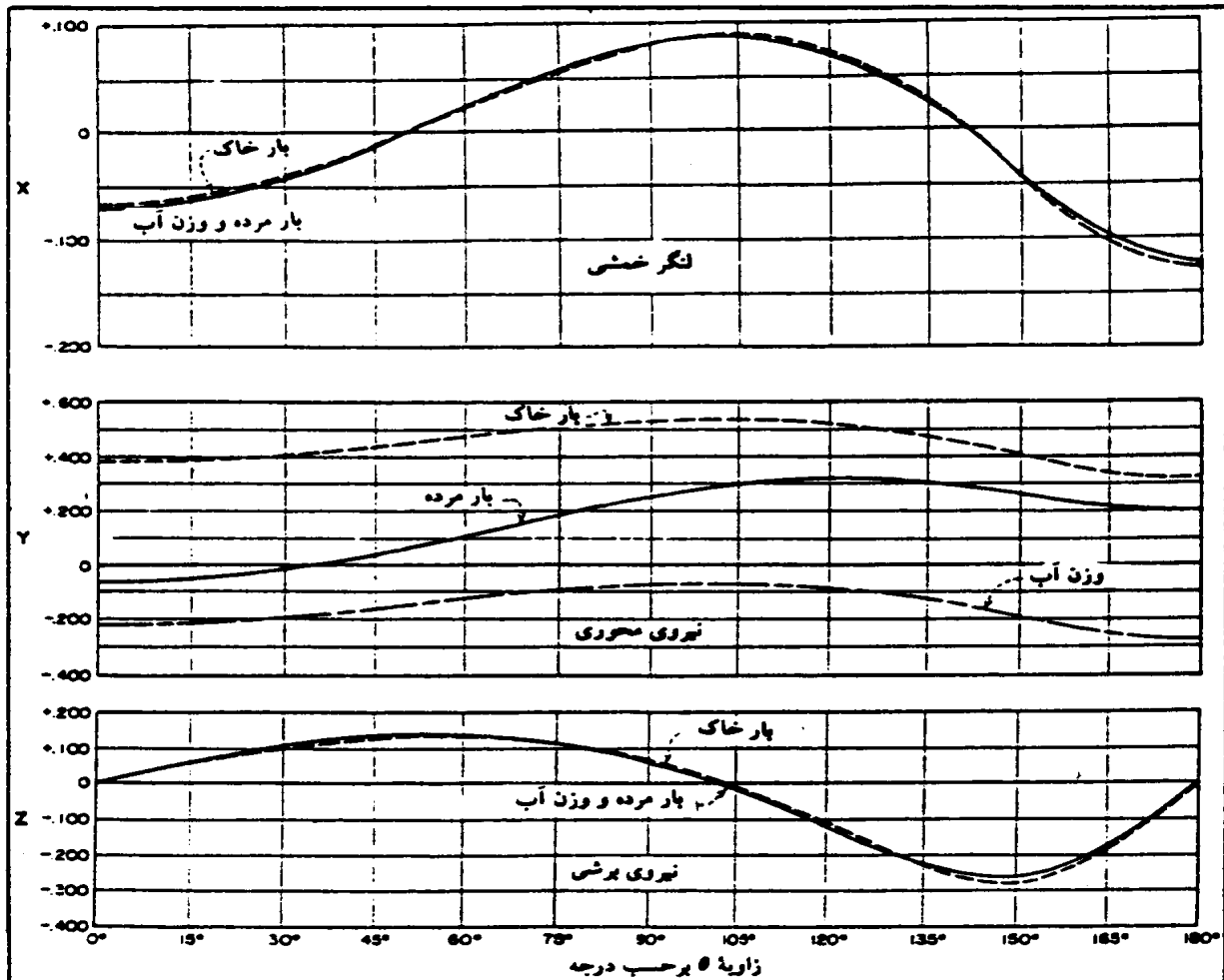
جدول ۹-۵ نتایج تحلیل برای زاویه بستر  $\frac{\pi}{۲}$  (۹۰ درجه)

الف: بار خاک	$۰ \leq \theta \leq \frac{۳}{۴}\pi$ وقتی
$M_{\theta} = Ar(۱/۰۶۱ \cos \frac{۲}{۳}\theta - ۰/۶۷۸ \cos \theta - ۰/۴۵۰)$	(۱۴-۵)
$P_{\theta} = A(۱/۰۶۱ \cos \frac{۲}{۳}\theta - ۰/۶۷۸ \cos \theta)$	(۱۵-۵)
$V_{\theta} = A(۰/۶۷۸ \sin \theta - ۰/۷۰۷ \sin \frac{۲}{۳}\theta)$	(۱۶-۵)
$V_{\theta} = \frac{1}{r} \frac{dM_{\theta}}{d\theta}$ توجه:	
ب: بار آب	$\frac{۳}{۴}\pi \leq \theta \leq \pi$ وقتی
$M_{\theta} = Ar(-۰/۳۵۴ \cos ۲\theta - ۰/۶۷۸ \cos \theta - ۰/۴۵۰)$	(۱۷-۵)
$P_{\theta} = A(-۰/۳۵۴ \cos ۲\theta - ۰/۶۷۸ \cos \theta)$	(۱۸-۵)
$V_{\theta} = A(۰/۷۰۷ \sin ۲\theta + ۰/۶۷۸ \sin \theta)$	(۱۹-۵)
ب: بار آب	$۰ \leq \theta \leq \frac{۳}{۴}\pi$ وقتی
$M_{\theta} = Wr(۰/۰۹۹ \cos \theta + ۰/۱۵۹ \theta \sin \theta - ۰/۱۶۹)$	(۲۰-۵)
$P_{\theta} = W(۰/۰۹۹ \cos \theta + ۰/۱۵۹ \theta \sin \theta - ۰/۳۱۹)$	(۲۱-۵)
$V_{\theta} = W(۰/۰۶۱ \sin \theta + ۰/۱۵۹ \theta \cos \theta)$	(۲۲-۵)
ب: بار مرده	$\frac{۳}{۴}\pi \leq \theta \leq \pi$ وقتی
$M_{\theta} = Wr(۰/۱۵۹ \sin \theta - ۰/۵۰۰ \sin \theta - ۰/۴۰۱ \cos \theta - ۰/۳۵۴ \cos ۲\theta - ۰/۱۶۹)$	(۲۳-۵)
$M_{\theta} = Wr(۰/۱۵۹ \sin \theta - ۰/۵۰۰ \sin \theta - ۰/۴۰۱ \cos \theta - ۰/۳۵۴ \cos ۲\theta - ۰/۳۱۹)$	(۲۴-۵)
$V_{\theta} = W(۰/۵۶۱ \sin \theta + ۰/۱۵۹ \theta \cos \theta - ۰/۵۰۰ \cos \theta + ۰/۷۰۷ \sin ۲\theta)$	(۲۵-۵)
ب: بار مرده	$۰ \leq \theta \leq \frac{۳}{۴}\pi$ وقتی
$M_{\theta} = Dr(۰/۱۵۹ \theta \sin \theta + ۰/۰۹۹ \cos \theta - ۰/۱۶۹)$	(۲۶-۵)
$P_{\theta} = D(۰/۱۵۹ \theta \sin \theta - ۰/۰۶۱ \cos \theta)$	(۲۷-۵)
$V_{\theta} = D(۰/۱۵۹ \theta \sin \theta - ۰/۰۶۱ \cos \theta)$	(۲۸-۵)
ب: بار مرده	$\frac{۳}{۴}\pi \leq \theta \leq \pi$ وقتی
$M_{\theta} = Dr(۰/۱۵۹ \theta \sin \theta - ۰/۵ \sin \theta - ۰/۴۰۱ \cos \theta - ۰/۳۵۴ \cos ۲\theta - ۰/۱۶۹)$	(۲۹-۵)
$P_{\theta} = Dr(۰/۱۵۹ \theta \sin \theta - ۰/۵۶۱ \cos \theta - ۰/۵ \sin \theta - ۰/۳۵۴ \cos ۲\theta)$	(۳۰-۵)
$۲V_{\theta} = D(۰/۱۵۹ \theta \cos \theta - ۰/۵ \cos \theta + ۰/۵۶۱ \sin \theta + ۰/۷۰ \sin ۲\theta)$	(۳۱-۵)

۷-۵ طراحی لوله های پیش تنیده

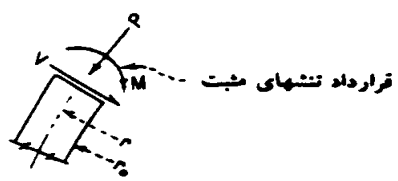
استاندارد (AWWAC ۳۰۱-۸۴) در پیوست B رابطه زیر را برای طراحی لوله های پیش تنیده پیشنهاد می کند:

$$\frac{pR}{A_t} = f_{cr} + 0.6\sqrt{f_c} \pm \frac{M}{S} \pm \frac{F}{A_t} \quad (10-5)$$



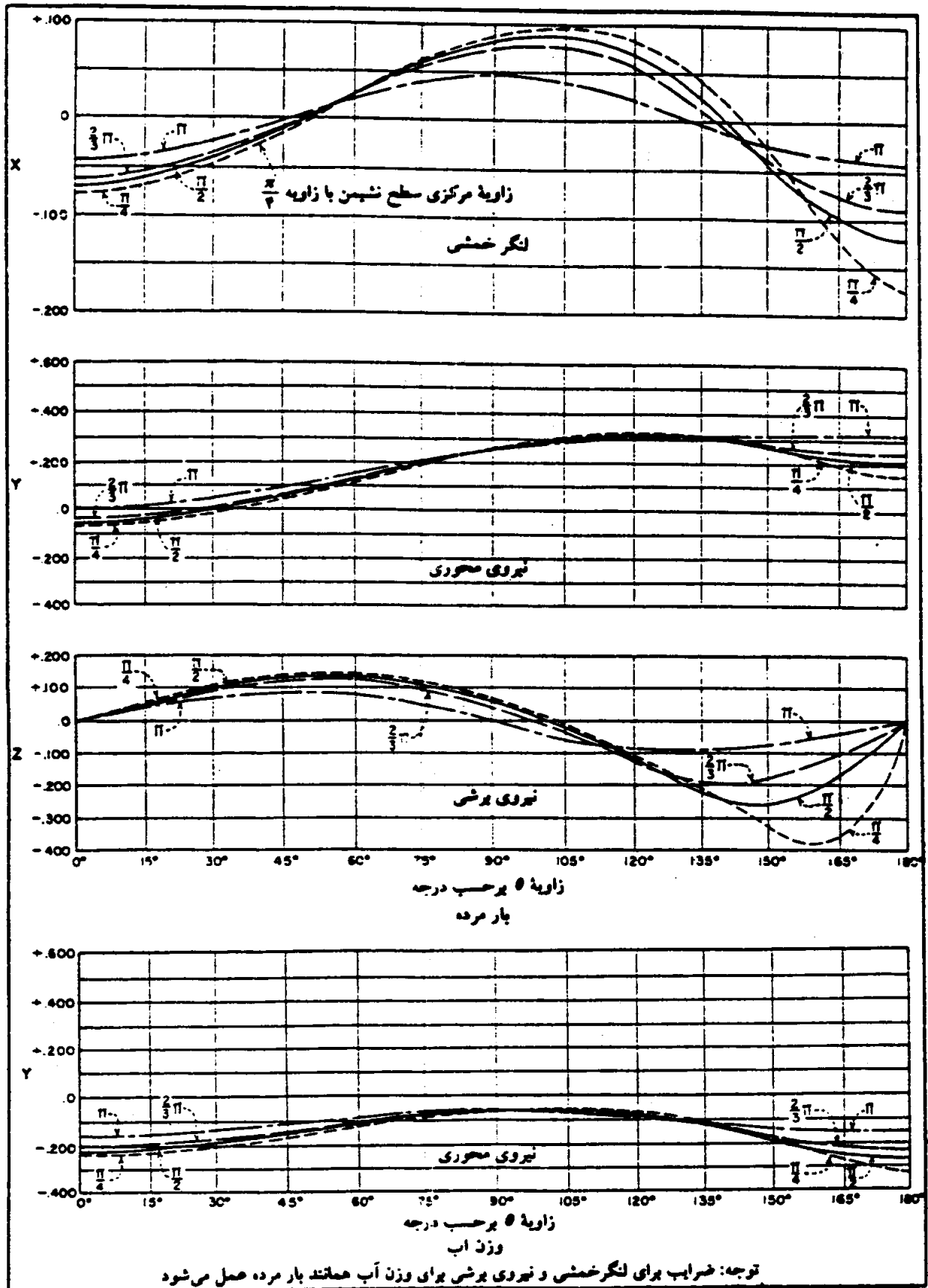
		$0^\circ$	$105^\circ$	$150^\circ$	$180^\circ$
لنگر	بار مرده	-070	+088		-122
	بار خاک	-067	+089		-126
نیروی محوری	بار مرده	-061	+297		+207
	بار خاک	+383	+539		+324
نیروی برشی	بار مرده	0	-017	-259	0
	بار خاک	0	-010	-273	0
نیروی برشی	وزن آب	0	-017	-259	0
	وزن آب	0	-017	-259	0

$M = XKr$   
 $P = YK$   
 $V = ZK$   
 برای بار مرده  $K=D=300\pi r^2$   
 وزن کل خاک روی لوله  $K=A$  برای بار خاک  
 برای وزن آب  $K=W=62.4\pi r^2$

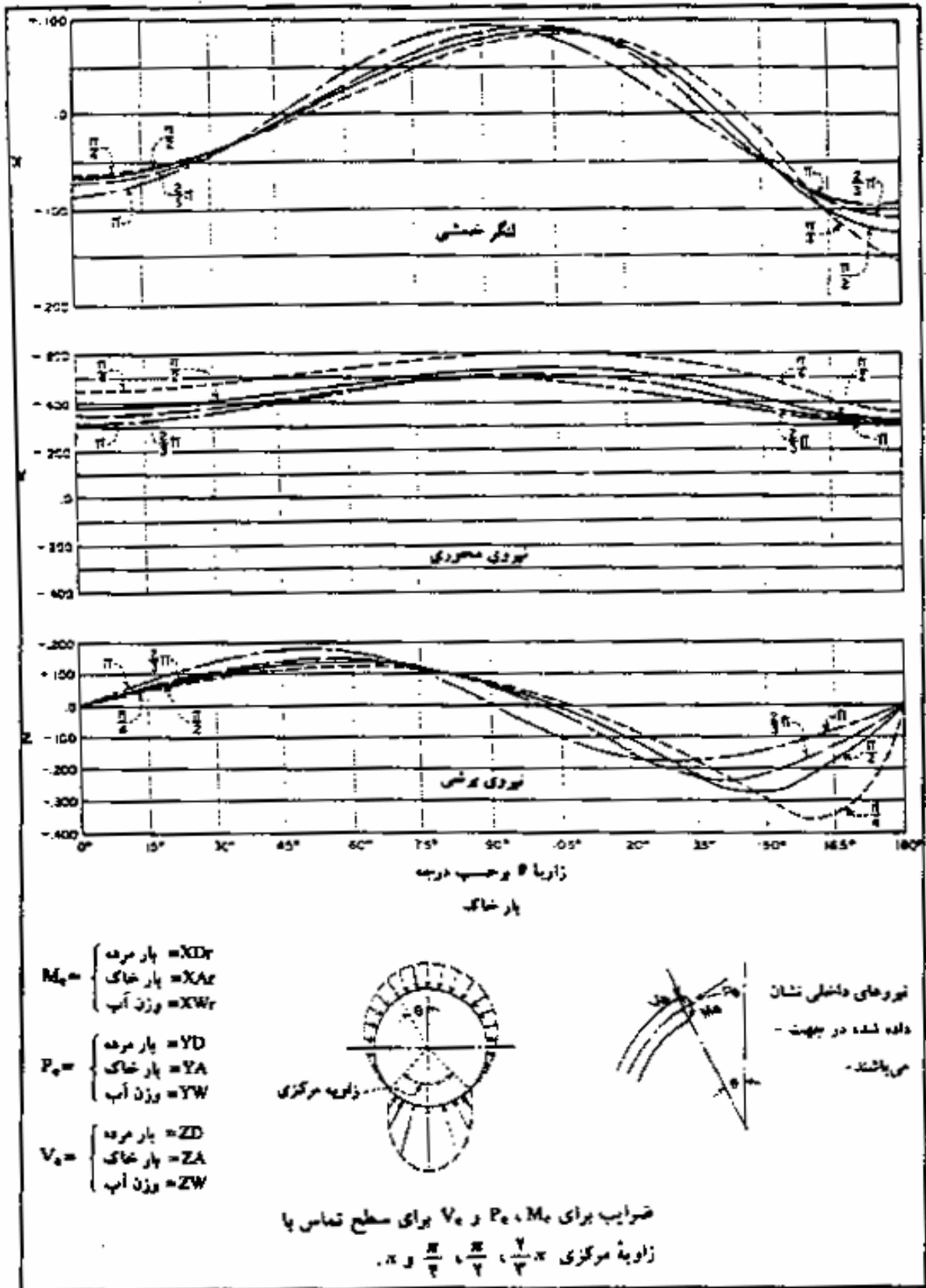


ضرایب برای  $M_e$ ،  $P_e$  و  $V_e$  برای سطح تماس با زاویه مرکزی  $\frac{\pi}{4}$

شکل ۵-۱۴ نمودارهای تعیین نیروی داخلی برای زاویه تکیه گاهی  $\frac{\pi}{4}$  (۹۰ درجه)



شکل ۵-۱۵ نمودارهای تعیین نیروی داخلی برای زوایای تکیه‌گاهی  $\frac{\pi}{4}$ ،  $\frac{\pi}{2}$ ،  $\frac{3\pi}{4}$  و  $\pi$



شکل ۵-۱۵ دنباله

## فصل ۶ نیروهای رانش و روشهای مقابله با آن

A = سطح مقطع بزرگ

a = سطح مقطع کوچک

B = عرض بلوک

$C_e$  = ضریب فشار مقاوم خاک

$C'_e = \tan^{-1} \left( 45^\circ - \frac{\theta}{2} \right)$  = ضریب فشار جانبی محرک خاک

E = نیروی مقاوم خاک در پیشانی بلوک

F = نیروی مقاوم به علت فشار جانبی خاک

$F_b$  = حداکثر نیروی مقاوم خاک در واحد طول مجرا

$F_s$  - مقاومت اصطکاکی در واحد طول مجرا

FS = ضریب اطمینان

P = فشار داخلی یا نیروی رانش

$P_1$  = مولفه افقی رانش

$P_2$  = مولفه قائم رانش

W = وزن کل در پائین بلوک

$W_1$  = وزن خاک روی بلوک

$W_2$  = وزن لوله و آب در محدوده بلوک

$W_3$  = وزن بلوک بتنی

$W_e$  = وزن خاک روی مجرا

$W_p$  = وزن مجرا

$W_w$  = وزن آب درون مجرا

$\phi$  = زاویه اصطکاک داخلی خاک

$\gamma$  = وزن مخصوص خاک

l = طول تصویر شده بلوک

$\mu$  = ضریب اصطکاک بین مجرا و خاک که عددی بین ۰/۲ تا ۰/۵ فرض می شود. مقدار  $\mu$  را می توان مساوی

$\tan(f_\phi)$  در نظر گرفت که  $f_\phi$  ضریب اصطکاک خاک و مجراست.

$\mu(W - P_2)$  = نیروی مقاوم به علت اصطکاک کف بلوک

$\theta$  = زاویه بین دو امتداد مجرا

$$\sigma = \text{تنش فشاری خاک}$$

$$\sigma_a = \text{تنش فشاری مجاز خاک}$$

### ۱-۶ نیروهای نامتعادل

در مجاری تحت فشار، در نقاطی مانند زانوها، سهراهیها، و یا تبدیلیها که در آنها امتداد یا سطح مقطع جریان تغییر می کند و یا در انتهای کور خطوط لوله، نیروهای نامتعادل به وجود می آید. اگر با این نیروهای نامتعادل مقابله نشود، باعث گسیختگی اتصال می گردد. (شکل ۶-۱).

نیروهای رانش بنا به علل زیر به وجود می آیند:

۱- نیروهای استاتیکی به علت فشار داخلی خط لوله

۲- نیروهای دینامیکی به علت تغییر مقدار حرکت جریان

با توجه به محدوده سرعتهای جریان در خطوط لوله، نیروهای دینامیکی (به استثنای ضربه قوچ) در مقایسه با نیروهای استاتیکی کوچک و قابل چشمپوشی هستند. برای مثال، نیروهای دینامیکی ناشی از جریانی با سرعت ۲/۴ متر بر ثانیه، کمتر از نیروهای استاتیکی به ازای ۰/۷ متر ارتفاع آب است.

### ۲-۶ مقاومت در مقابل نیروهای رانش

اگر اتصالی تحت رانشهای نامتعادل قرار گیرد، دو مقاومت ذاتی از خود نشان می دهد:

۱- نیروی اصطکاک ناشی از مقاومت سطح تماس خاک و جدار لوله در محل اتصال

۲- نیروی مقاوم خاک در تماس با پیشانی اتصال

اگر دو عامل فوق برای مقاومت در مقابل نیروهای رانش کافی نباشند، از عوامل زیر می توان برای ازدیاد نیروهای مقاوم استفاده نمود:

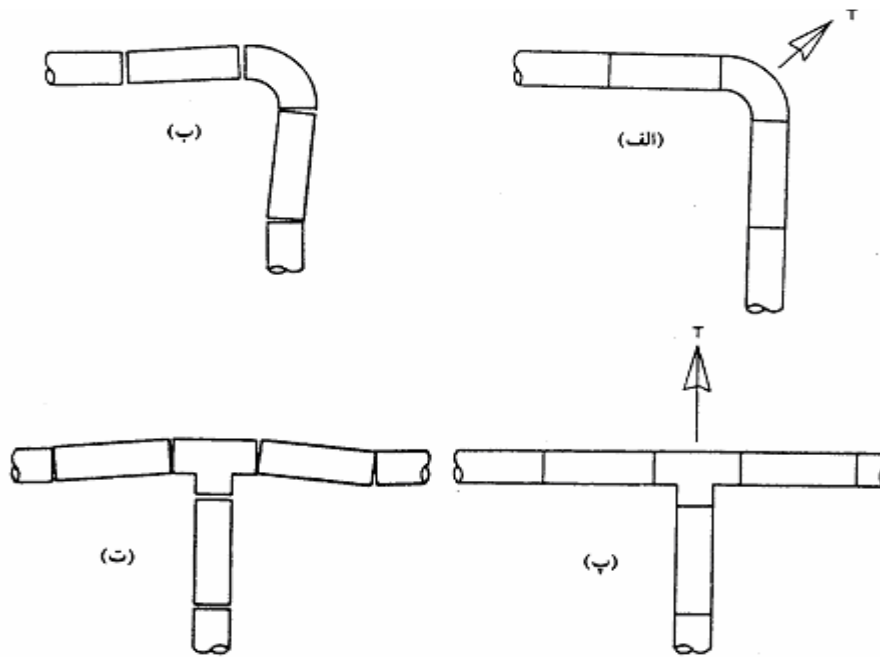
۱- یکپارچه کردن طولی از خط لوله به اتصال، به منظور مشارکت نیروی اصطکاک آن در نیروی مقاوم

۲- مهار کردن محل اتصال که وزن و سطح پیشانی در تماس با خاک را افزایش می دهد و باعث افزایش نیروی اصطکاک و نیروی مقاوم خاک خواهد شد. این مهارها، بلوکهای مهاری نامیده می شوند.

### ۳-۶ بلوکهای مهاری

بلوکهای مهاری را می توان به دو دسته بلوکهای مهاری در خمهای افقی و بلوکهای مهاری در خمهای قائم تقسیم کرد:





شکل ۱-۶ رانشهای نامتعادل و جابه‌جایی لوله‌ها به واسطه این نیروها

(الف) و (ب): جهت نیروی رانش در محل زانویی و سه‌راهی؛ (ب) و (ت): جابه‌جایی قطعات خطوط لوله در صورتی که با نیروهای رانش مقابله نشود.

### ۱-۳-۶ بولکهای مهاری در خمهای افقی

در شکل ۲-۶ انواع خمها و اتصالات موجود در صفحه افق و نیروی رانش نامتعادل مربوط نشان داده شده است. روابط ارائه شده فقط تأثیر نیروهای استاتیکی را منظور می‌کند و نیروهای دینامیکی را شامل نمی‌شود.

در محل خم:

$$P = 2 \times p \times A \times \sin \frac{\theta}{2} \quad (1-6)$$

در محل انشعاب T:

$$p = P \times a \quad (2-6)$$

در محل تبدیل:

$$p = P \times (A - a) \quad (3-6)$$

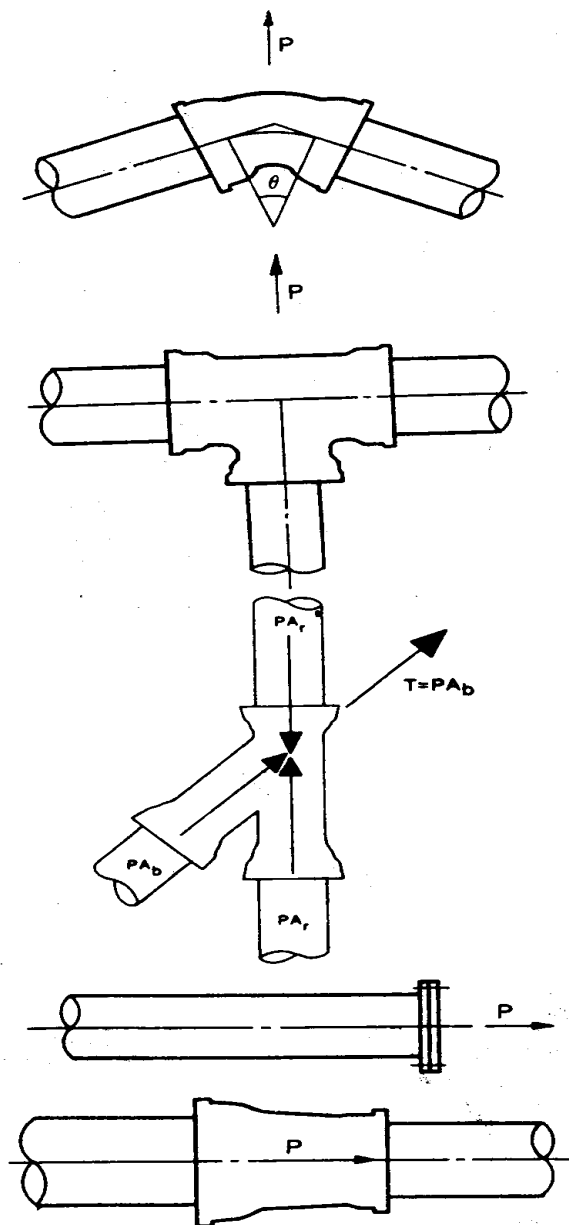
در انتهای کور:

$$p = P \times A \quad (4-6)$$

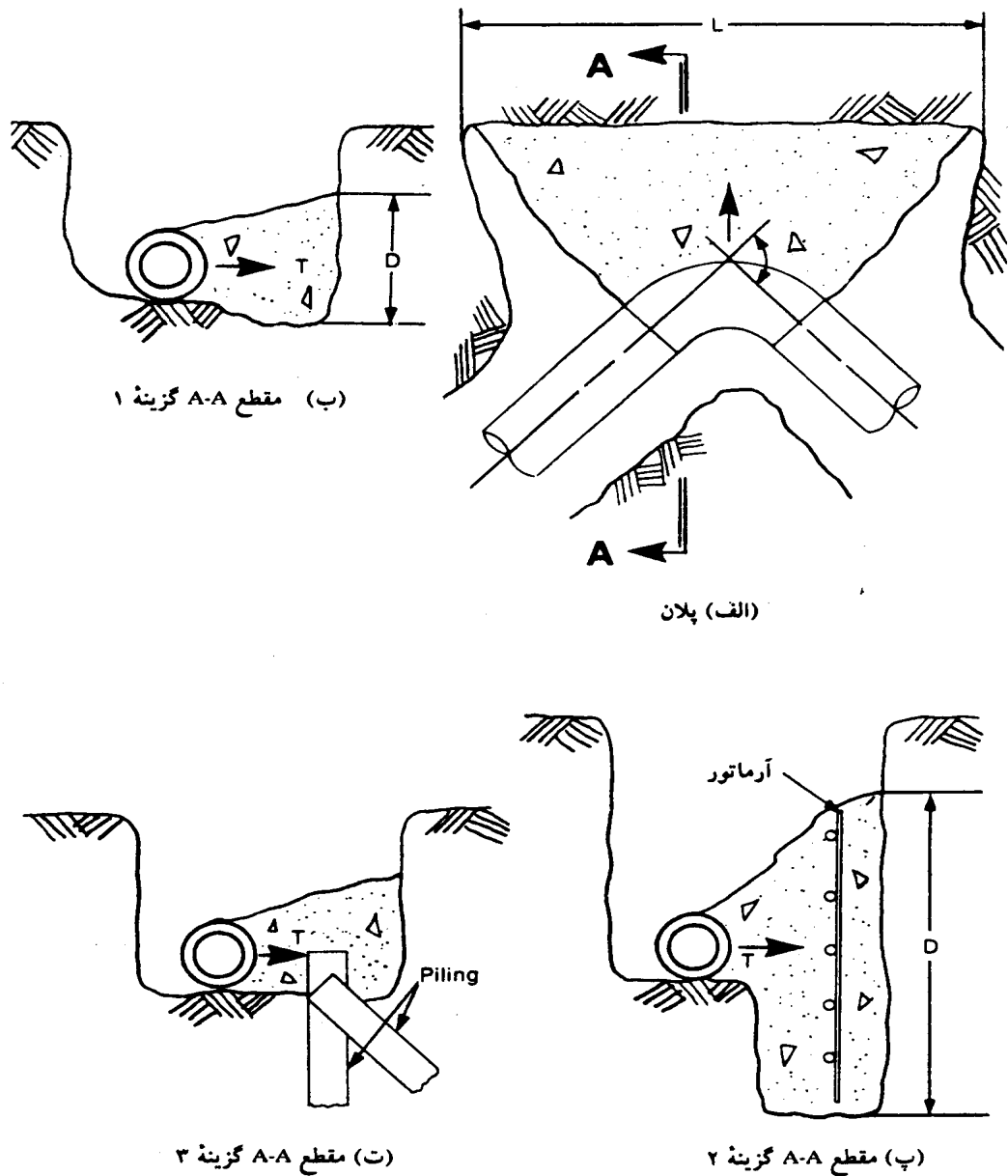
در سه‌راهی‌ها:

$$p = PA_b \quad (5-6)$$

در شکل ۳-۶ انواع بلوکهای مهاری برای مقابله با نیروهای نامتعادل رانشی نشان داده شده است. در این شکل شمای ظاهری بلوک ارائه شده است، در عمل ممکن است بتن ریزی در اطراف لوله به طور کامل انجام شود. در شکل ۴ استفاده از شمع کوبی در زمینهای خیلی سست نشان داده شده است.



شکل ۳-۶ نیروهای رانش نامتعادل در خمهای افقی



شکل ۳-۶ بلوکهای مهار برای مقابله با رانش نامتعادل

مقاومت بلوک مهار شامل: مقاومت اصطکاکی و مقاومت ناشی از نیروی مقاوم خاک مقابل پیشانی بلوک است. مجموع این دو نیرو با ضریب اطمینان کافی باید بزرگتر از نیروی رانش نامتعادل در محل بلوک باشد. ابعاد بلوک مهار نیز بر پایه تأمین شرایط فوق به دست می‌آید. بعد از تعیین ابعاد بلوک مهار، به عنوان شرط آخر، تنش تماس آن با خاک باید کنترل گردد تا از مقدار مجاز تجاوز ننماید. اگر این شرط تأمین نگردد، باید ابعاد سطح تماس بلوک با زمین افزایش داده شود تا تنش تماسی کاهش یابد. در شکل ۴-۶ روش محاسبه بلوک مهار در خم افقی نشان داده شده است.

محاسبه بلوک مهاري در خم افقي نشان داده شده ات:

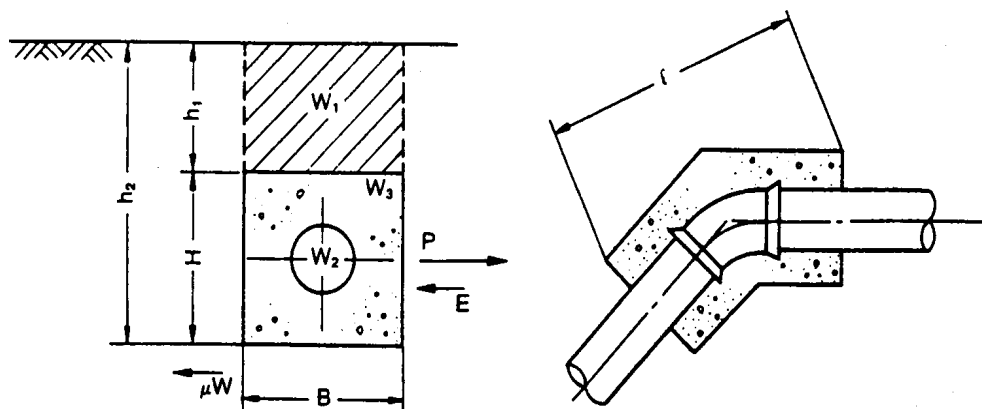
$$E = \frac{1}{\gamma} C_e \times \gamma \times (h_2 - h_1) \times l \quad (6-6)$$

$$C_e = \tan^2 \left( 45^\circ + \frac{\phi}{\gamma} \right) \quad (7-6)$$

برای خم افقي باید نامعادله زیر صادق باشد:

$$P < \mu \times W + E, FS = 1/5 \quad (8-6)$$

اگر بلوک مهاري در زیر سطح آب زیرزميني احداث گردد، باید نیروی غوطه‌وری منظور گردد.



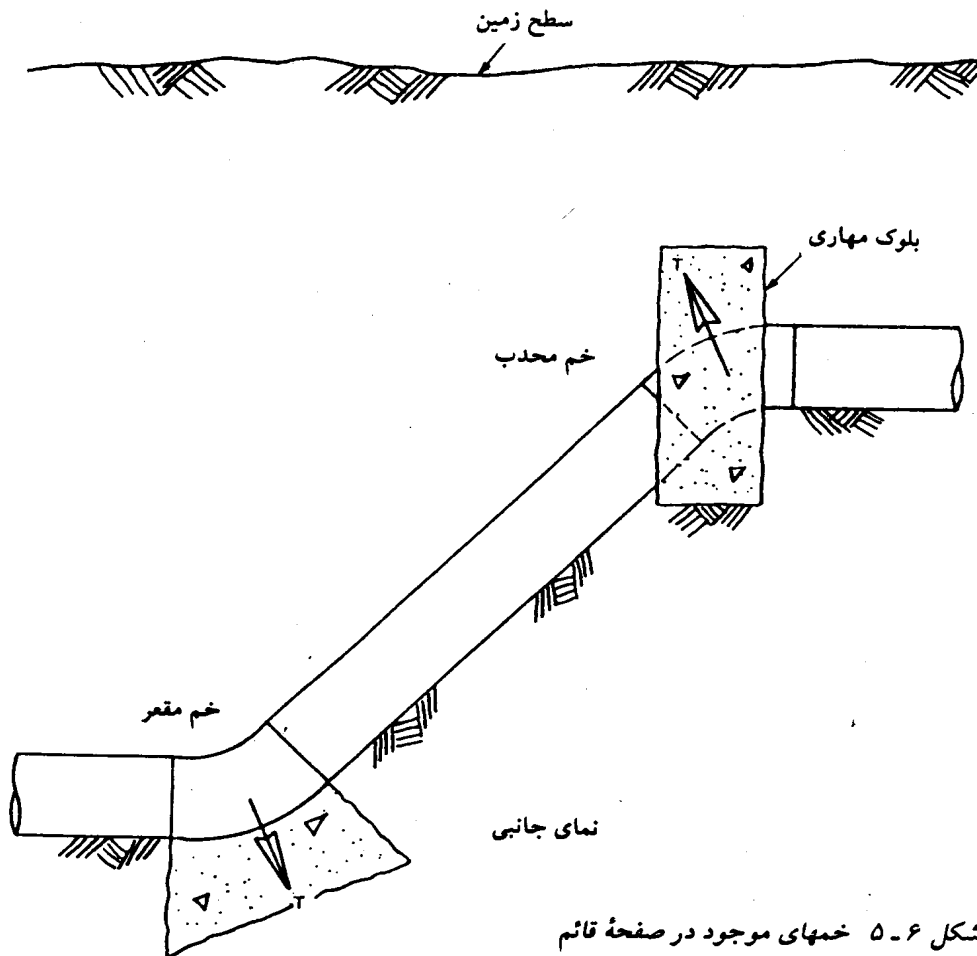
شکل ۶-۴ بلوک مهاري در خم افقي

### ۶-۳-۲ بلوکهای مهاري در خمهای قائم

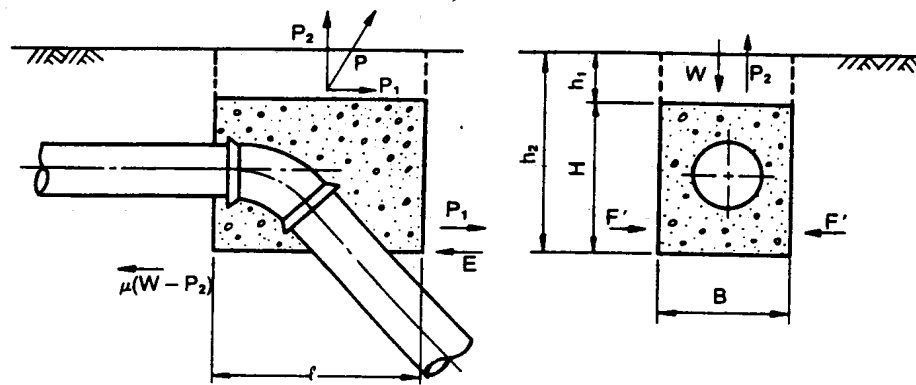
لوله ممکن است در صفحه قائم تغییر امتداد بدهد و ایجاد نیروی رانش نامتعادل کند. در شکل ۶-۵ وضعیت مجرا در خمهای قائم نشان داده شده است. همان‌طور که در این شکل مشاهده می‌شود، در صفحه قائم دو نوع خم مقعر و محدب وجود دارد. در خم مقعر رانش به سمت خاک است در صورتی که در خم محدب نیروی رانش تمایل به بلند کردن لوله دارد. در ادامه بحث روش محاسبه هر دو نوع خم مورد توجه قرار می‌گیرد.

### طراحی خم قائم محدب

در شکل ۶-۶ اصول طراحی خم قائم محدب نشان داده شده است.



شکل ۵-۶ خمهای موجود در صفحه قائم



شکل ۶-۶ اصول طراحی خم قائم محذب

الف: کنترل پایداری در مقابل نیروهای افقی:

$$P_1 = P \times \sin \frac{\theta}{\gamma} < \mu(W - P_r) + E \quad (9-6)$$

ب: کنترل پایداری در مقابل نیروهای قائم:

$$P_r = P \times \cos \frac{\theta}{\gamma} < W + F \quad (10-6)$$

$$F = \tau F' = \frac{1}{\gamma} C'_e \times \gamma \times (h_2^2 - h_1^2) \times \tau \times (B+1) \times \mu \quad (11-6)$$

توجه: چنانچه بلوک مهاري زیر آب زیرزمینی قرار گیرد، باید اثر غوطه‌وری در طرح ملحوظ شود (در این حالت از وزن مخصوص غوطه‌ور خاک و زاویه اصطکاک مؤثر استفاده می‌گردد).

### طراحی خم قائم مقعر

در شکل ۷-۶ اصول طراحی خم قائم مقعر نشان داده شده است.

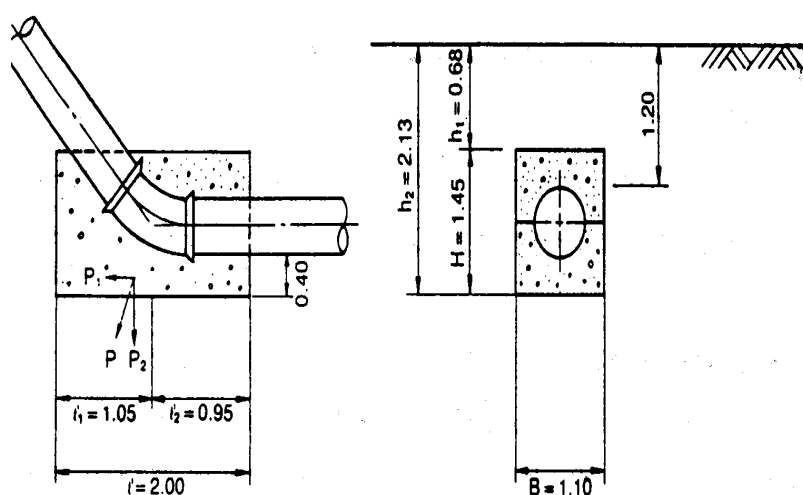
الف: کنترل پایداری در مقابل نیروهای افقی

$$P_{\gamma} = P \times \sin \frac{\theta}{\gamma} < \mu \times (W + P_{\gamma}) + E \quad (12-6)$$

ب: کنترل پایداری در مقابل نیروهای قائم

$$P_{\gamma} = P \times \cos \frac{\theta}{\gamma} \quad (13-6)$$

$$\sigma = \frac{W + P_{\gamma}}{B.l} < \sigma_a \quad (14-6)$$



شکل ۷-۶ اصول طراحی خم قائم مقعر

وقتی ظرفیت باربری مجاز زمین جوابگوی تنش فوق نباشد، باید ابعاد بلوک افزایش داده شود و اگر افزایش

ابعاد نیز جوابگو نباشد، باید زیر بلوک شمع کوبی شود.

توجه: چنانچه بلوک مهاري در زیر آب زیرزمینی قرار گیرد، باید اثر غوطه‌وری ملحوظ گردد (در این حالت از

وزن مخصوص غوطه‌ور خاک و زاویه اصطکاک داخلی مؤثر استفاده شود).

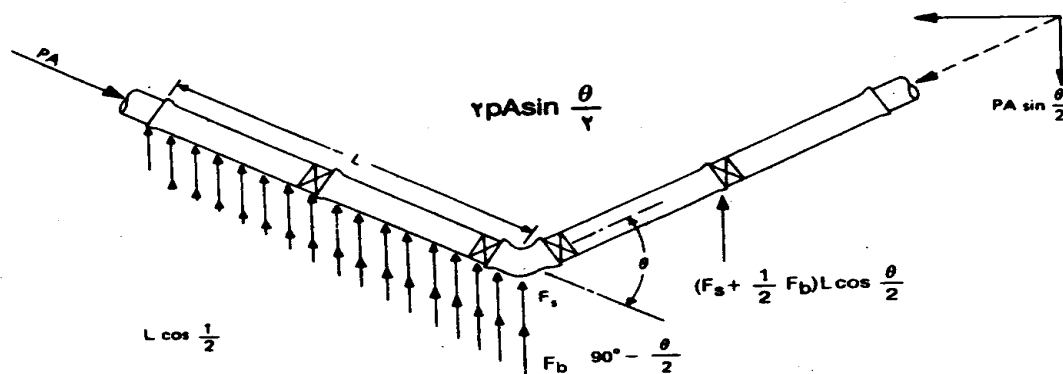
### ۶-۴ مهار لوله‌ها در شیب

لوله‌ای که در شیب واقع شود، تحت اثر نیروی  $W \sin \theta$  (وزن جسم و  $\theta$  زاویه شیب) در امتداد شیب قرار می‌گیرد و اگر این نیرو بر نیروی اصطکاک لوله و سطح تماس غلبه نماید، امکان لغزش و ناپایداری لوله در شیب وجود دارد که برای جلوگیری از این پدیده، باید نسبت به تعبیه بلوک مهاری در شیب اقدام شود. تجربیات عملی نشان می‌دهد که در خط لوله روی زمین، برای شیبی کوچکتر یا مساوی ۲۰ درصد (۱۱/۳ درجه) و در لوله مدفون، برای شیبی کوچکتر یا مساوی ۲۵ درصد (۱۴ درجه)، نیروی اصطکاک کافی است و به استفاده از بلوک جهت مهار لوله در شیب نیاز نیست. برای شیبهای بزرگتر، باید بلوک مهاری طراحی گردد.

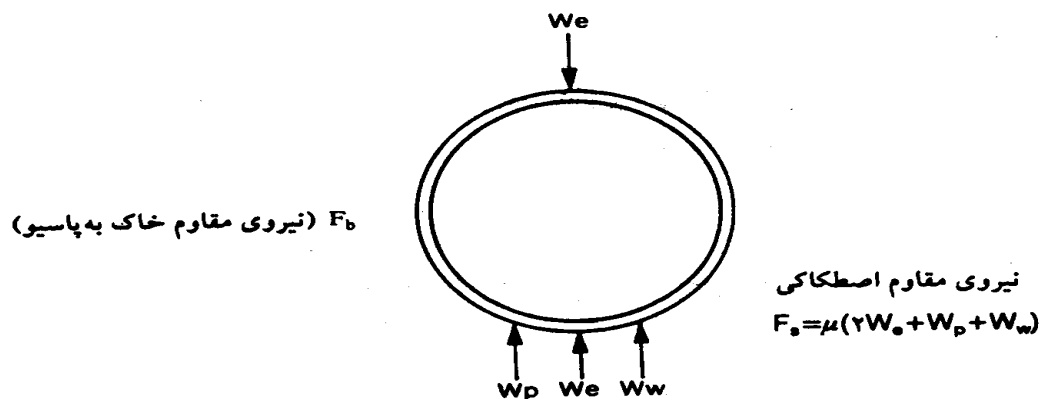
### ۶-۵ مهار لوله به کمک نیروی اصطکاک و اتصالات یکپارچه

اگر اتصالات لوله در امتداد طولی قابلیت جذب نیرو داشته باشند، (بهترین نمونه اتصالات جوشی‌اند که در امتداد طولی کامل خاصیت جذب نیرو را دارند)، می‌توان برای مقابله با نیروی رانش نامتعادل، از مقاومت طولی لوله و اصطکاک بین لوله و زمین سود جست.

در چنین حالتی نیروی رانش نامتعادل موجود در محل خم، از طریق اتصال وارد لوله شده و در طولی به کمک نیروی اصطکاک به زمین منتقل می‌شود. برای تعیین طول لازم برای انتقال نیرو، با توجه به شکل ۶-۸ نیروی رانش موجود در محل خم، در طولی مساوی  $L$  در دو طرف خم مهار می‌گردد.



الف: توزیع یکنواخت  $F_s$  توزیع مثالی  $F_b$



ب: نیروهای قائم موجود در سطح تماس لوله با خاک

شکل ۶-۸ مهار رانش نامتعادل به کمک نیروی اصطکاک

تعداد نیروها در امتداد  $y$  نتیجه می دهد:

$$\gamma PA \sin \frac{\theta}{\gamma} = \gamma (F_s L \cos \frac{\theta}{\gamma} + \frac{1}{\gamma} F_b L \cos \frac{\theta}{\gamma})$$

جمله طرف چپ نیروی نامتعادل در محل خم و جمله اول از سمت راست مقاومت اصطکاکی لوله و جمله دوم نیروی مقاوم خاک جلوی لوله است. توزیع  $F_s$  در طول  $L$  یکنواخت و توزیع  $F_b$  به صورت مثلثی فرض شده است. با ساده کردن رابطه حاصل می شود:

$$L = \frac{pA \tan(\frac{\theta}{\gamma})}{F_s + \frac{1}{\gamma} F_b} \quad (15-6)$$

برای محاسبه  $F_s$  از رابطه زیر استفاده می شود:

$$F_s = \mu(\gamma W_e + W_p + W_w) \quad (16-6)$$

برای نیروی مقاوم  $F_b$  نیز می توان با توجه به روابط مکانیک خاک مقداری منطقی منظور نمود، لیکن در اغلب موارد از آن صرف نظر می شود. با این مفروضات رابطه ۶-۱۵ به صورت زیر در می آید:

$$L = \frac{pA \tan(\frac{\theta}{\gamma})}{\mu(\gamma W_e + W_p + W_w)} \quad (17-6)$$

۶-۶ مقادیر نمونه برای بعضی پارامترهای لازم در این فصل در این قسمت مقادیر نمونه برای بعضی پارامترهای موجود در روابط این فصل ارائه می شود:

جدول ۶-۱ ضریب اصطکاک بین مجرا و خاک

(لوله های فولادی، چدنی و بتنی با سطح صاف)

نوع خاک	ضریب اصطکاک
شن	۰/۶۰
رس	۰/۲۰-۰/۵۰
ماسه خشک	۰/۵۰
ماسه مرطوب	۰/۳۳

۶-۷ تأثیر نیروهای اینرسی ناشی از زلزله در طراحی بلوکهای مهاری

الف: لوله های مدفون

در آئین نامه ها دستورالعمل خاصی برای اعمال نیروی زلزله بر لوله های مدفون در خاک وجود ندارد. این مسئله می تواند ناشی از دو علت باشد: ۱- عدم دانش کافی ۲- عدم وجود شواهدی بر وقوع خسارت بر لوله ها هنگام زلزله.



جدول ۶-۲ وزن مخصوص و زاویه اصطکاک داخلی انواع خاک ( $\text{KN/m}^3$ )

نوع خاک	شرایط	وزن مخصوص	زاویه اصطکاک داخلی
خاک معمولی	خشک	۱۴	۴۰-۳۵
	مرطوب	۱۶	۴۵
	اشباع	۱۸	۳۰-۲۵
ماسه	خشک	۱۶	۳۵-۳۰
	مرطوب	۱۸	۴۰
ماسه در مخلوط با رس	اشباع	۲۰	۲۵-۲۰
	خشک	۱۵	۴۵-۴۰
	مرطوب	۱۹	۲۵-۲۰
رس	خشک	۱۶	۴۵-۴۰
	مرطوب	۲۰	۲۵-۲۰
	اشباع	-	۲۰-۱۴
شن	خشک	۱۸	۴۰-۳۵
	مرطوب	۱۹	۴۰-۲۷
	اشباع	-	۳۰-۲۵
لای	-	۱۷	۲۰-۱۰

جدول ۶-۳ ظرفیت باری مجاز انواع خاک

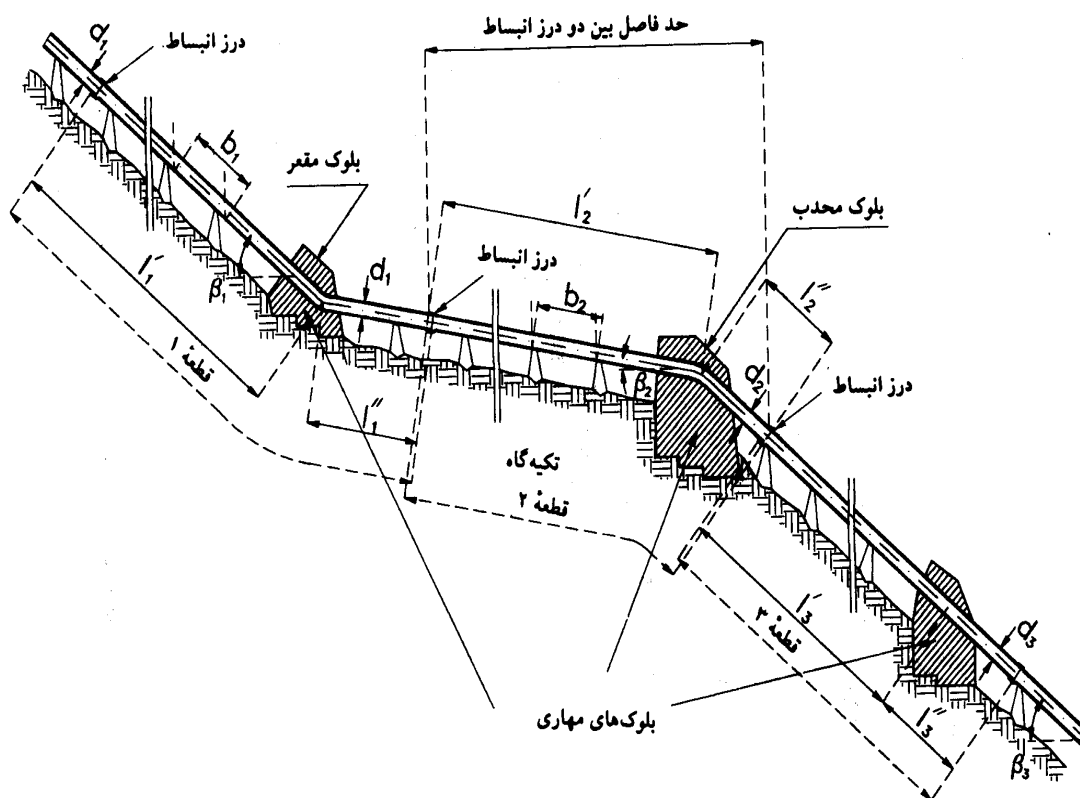
نوع خاک	ظرفیت باری مجاز
رس	۲۰۰-۵۰
خاک مخلوط با ماسه	۴۰۰-۳۰۰
ماسه مرطوب	۳۰۰-۱۰
ماسه خشک	۵۰۰-۳۰۰

در شرایط حاضر تحقیقات قابل توجهی بر روی تأثیر زلزله در شریانهای حیاتی در مراکز تحقیقاتی جریان دارد، لیکن نتایج هنوز به صورت دستورالعملهای طراحی منسجم نشده‌اند. از طرفی تجربیات حاصل از زلزله‌های گذشته نشان نمی‌دهد که این گونه سازه‌ها به علت زلزله تحت خسارتهای خاصی قرار گرفته باشند، مگر اینکه مسیر مجرا توسط گسل فعال قطع شده باشد که در این حالت وقوع خسارت حتمی است. در چنین مواردی استفاده از اتصالات با انعطاف‌پذیری زیاد می‌تواند بین تغییر شکل مجرا و حرکات احتمالی گسل سازگاری لازم را به وجود آورد.

ب: لوله‌های غیر مدفون

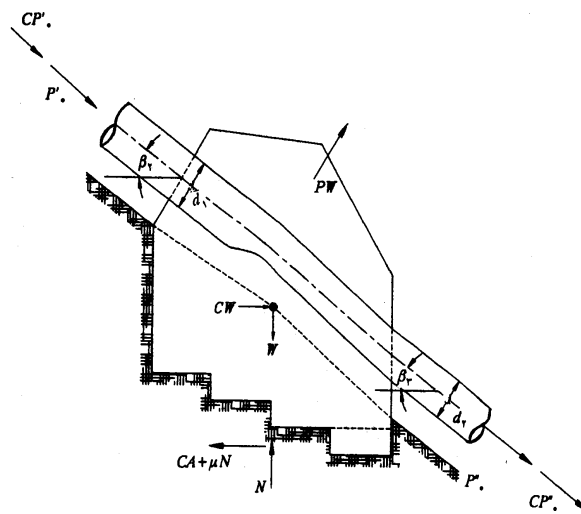
لوله‌های غیر مدفون معمولاً بر تکیه‌گاهها مستقر می‌شوند. در این حالت بدون شک در طراحی تکیه‌گاهها (که شامل بلوکهای مهاریه نیز می‌شوند) باید نیروی اینرسی ناشی از وزن لوله و وزن بلوک در نظر گرفته شود. در شکل ۹-۶ بلوک مهاریه یک پن‌استاک (مجراهای با قطر و فشار زیاد که برای تغذیه نیروگاه‌های آبی مورد استفاده قرار می‌گیرند) تحت تأثیر نیروهای طرح نشان داده شده است. ضریب زلزله C طبق آئین‌نامه ۲۸۰۰ ایران به صورت زیر در می‌آید:

$$C = \frac{ABI}{R} \left. \begin{array}{l} \frac{B}{R} = 0.5 \\ \rightarrow C = 0.5AI \\ I = 1.1/2 \\ A = 0.25, 0.25, 0.35 \end{array} \right\}$$



شکل ۹-۶ نیروهای مؤثر بر بلوک مهاریه در لوله غیر مدفون

نمای یک خاک لوله در بیرون از خاک



- = A سطح تماس بلوک
- = C چسبندگی بلوک با سنگ
- =  $\mu$  ضریب اصطکاک بین بلوک و زمین
- =  $P_0$  مؤلفه وزن لوله در امتداد لوله
- لوله حدفاصل بین دو درز انبساط
- =  $P_w$  نیروی رانش نامتعادل
- = W وزن بلوک به علاوه مؤلفه قائم وزن لوله و آب سهم بلوک
- = CW نیروی اینرسی زلزله به علت نیروی W
- =  $CP_0$  نیروی اینرسی زلزله به علت وزن لوله

توجه: تکیه‌گاه‌ها فقط مؤلفه وزن لوله را جذب می‌کنند و مؤلفه در امتداد شیب لوله در حد فاصل دو درز انبساط به بلوک داده می‌شود.

شکل ۹-۶ (ادامه)



## مأخذ:

- 1- M. G. SPANGLER, R.L. HANDLY  
"Soil Engineering" 4th Edition, Harper and Row.
- 2- AWWA MANUAL M11 3rd Edition  
"Steel Pipe, a Guide for Design and Installation".
- 3- AWWA MANUAL M9  
"Concrete Pressure Pipe".
- 4- KUBOTA STEEL COMPANY  
"Ductile Iron Pipeline Design Manual".
- 5- B.S. BULSON  
"Buried Structures-Static and Dynamic Strength" C & H".
- 6- N.W.B. CLARKE  
"Bridge Design Specification Manual".
- 7- STATE OF CALIFORNIA DEPARTMENT OF TRANSPORTATION.  
"Bridge Design Specification Manual".
- 8- UNITED STATES BUREAU of RECLAMATION  
"Design of Small Dams".
- 9- UNITED STATES BUREAU of RECLAMATION  
"Design of Small Canal Structures".
- 10- GAYLORD & GAYLORD  
"Structural Engineering Handbook (Chapter 25)".
- 11- FINTEL  
"Concrete Designers Handbook (Chapter 19)".
- 12- WINTERKORN  
"Foundation Engineering Handbook (Chapter 23)".

Islamic Republic of Iran  
Plan and Budget Organization - Ministry of Energy

# **Structural design criteria for underground water conduits**

No: 185

Office of the Deputy for Technical Affairs  
Bureau of Technical Affairs and Standards

1378/2000

## این نشریه

با عنوان ضوابط طراحی سازه‌های مجاری آبریز زیرزمینی بتنی، بخش نخست از استاندارد طراحی سازه‌های و ساخت مجاری آبریز زیرزمینی است که کاربرد آن برای انتقال آب، شبکه توزیع آب، شبکه جمع‌آوری فاضلاب، شبکه‌های زهکشی، آبروها، مجاری تخلیه تحتانی سد‌ها و نظایر آن می‌باشد.

در این مجموعه که در ۶ فصل تهیه شده عناوینی از قبیل تاریخچه، طبقه‌بندی مجاری از نظر هندسی، ساخت و مصالح، بارهای وارده، روش‌های تجربی طراحی تحت بارهای خارجی، طراحی تحت فشار داخلی، طراحی با استفاده از روش‌های تحلیلی و بالآخره مجاری تحت تأثیر نیروهای هیدرودینامیکی مورد بحث قرار گرفته است.

مرکز مدارک اقتصادی - اجتماعی و انتشارات

ISBN 964-425-155-5



9 789644 251559